

МІНІСТЕРСТВО ОСВІТИ І НАУКИ УКРАЇНИ  
НАЦІОНАЛЬНИЙ АВІАЦІЙНИЙ УНІВЕРСИТЕТ  
ФАКУЛЬТЕТ АРХІТЕКТУРИ, БУДІВництва та дизайну  
КАФЕДРА КОМП'ЮТЕРНИХ ТЕХНОЛОГІЙ БУДІВництва та  
РЕКОНСТРУКЦІЇ АЕРОПОРТІВ

ДОПУСТИТИ ДО ЗАХИСТУ

Завідувач випускової кафедри

Олена О.І. Лапенко

“14” 12 2021 р.

## ДИПЛОМНА РОБОТА

(ПОЯСНЮВАЛЬНА ЗАПИСКА)

ВИПУСКНИКА ОСВІТНЬОГО СТУПЕНЯ МАГІСТР

ЗА СПЕЦІАЛЬНІСТЮ 192 «БУДІВництво та цивільна інженерія»

ОСВІТНЬО-ПРОФЕСІЙНА ПРОГРАМА

«АВТОМОБІЛЬНІ ДОРОГИ І АЕРОДРОМИ»

**Тема:** «Капітальний ремонт автомобільної дороги загального користування місцевого значення «С050724 Криворіжжя - /на Костянтинівку/ на ділянці км 31+900 - км 36+600 із впровадженням заходів покращення умов безпеки руху автомобілів у зимовий період»

**Виконавець:** Ляшенко Павло Ігорович

(студент, група, прізвище, ім'я, по батькові)

**Керівник:** Степанчук Олександр Васильович

(науковий ступінь, вчене звання, прізвище, ім'я, по батькові)

Консультант розділу «Охорона праці»:

В.П. Федина  
(підпис)

В.П. Федина  
(ПІБ)

Консультант розділу

«Охорона навколишнього середовища»:

А.Є. Гай  
(підпис)

А.Є. Гай  
(ПІБ)

Нормоконтролер:

інженер  
(підпис)

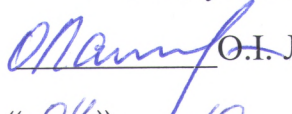
Родченко О.В.  
(ПІБ)

Київ 2021

НАЦІОНАЛЬНИЙ АВІАЦІЙНИЙ УНІВЕРСИТЕТ  
Факультет архітектури, будівництва та дизайну  
Кафедра комп'ютерних технологій будівництва та реконструкції аеропортів  
Спеціальність: 192 «Будівництво та цивільна інженерія»  
Освітньо-професійна програма: «Автомобільні дороги і аеродроми»

ЗАТВЕРДЖУЮ

Завідувач кафедри

 О.І. Лапенко  
« 04 » 10 2021 р

**ЗАВДАННЯ**  
**на виконання дипломної роботи**

Ляшенко Павло Ігорович  
(П.І.Б. випускника)

1. Тема роботи: «Капітальний ремонт автомобільної дороги загального користування місцевого значення «С050724 Криворіжжя - /на Костянтинівку/ на ділянці км 31+900 - км 36+600 із впровадженням заходів покращення умов безпеки руху автомобілів у зимовий період» затверджена наказом ректора

від « 04 » жовтня 2021р. № 21224/ст .

2. Термін виконання роботи: з «04» жовтня 2021р. по 27. 12.2021 2021р.

3. Вихідні дані роботи Ділянка автомобільної дороги державного значення Криворіжжя-Костянтинівка на ділянці км 31+900 - км 36+600» Категорія дороги III (по 1 смуги в кожному напрямку). Інтенсивність руху – 1114 авт/добу, частка вантажних автомобілів в структурі транспортного потоку – 40%.

4. Зміст пояснлювальної записки:

Зміст пояснлювальної записки:

Вступ, наукова частина, практична частина роботи: характеристика району будівництва, план дороги, поздовжній та поперечний профіль, дорожній одяг, система водовідведення, організація та безпека дорожнього руху, технологія

будівельного виробництва, охорона навколишнього середовища, висновки, список використаних джерел, додатки.

5. Перелік обов'язкового ілюстративного матеріалу: таблиці, рисунки, діаграми, графіки.

Наукова частина (2 аркуші формату А-1). Практична частина: план дороги, повздовжній профіль, поперечні профілі, конструкції дорожнього одягу, система водовідведення, організація та безпека дорожнього руху, технологія будівельного виробництва, календарний план робіт

#### 6. Календарний план-графік

№ з/п	Завдання	Термін виконання	Підпис керівника
1.	Вступ	04.10.21	
2.	Наукова частина	06.10.21	
3.	План дороги	04.11.21	
4.	Повздовжній профіль та поперечні профілі	09.11.21	
5.	Конструкції дорожнього одягу	20.11.21	
6.	Система водовідведення	23.11.21	
7.	Організація та безпека дорожнього руху	27.11.21	
8.	Технологія будівельного виробництва	30.11.21	
9.	Охорона навколишнього середовища	09.12.21	
10.	Виконання графічної частини дипломної роботи	04.10.21-10.12.21	
11.	Оформлення пояснівальної записки і графічної частини дипломного проекту.	04.10.21-10.12.21	
12.	Отримання рецензії, відгуку керівника.	10.12.21-23.12.21	

7. Консультація з окремих розділів:

Назва розділу	Консультант (посада, П.І.Б.)	Дата, підпис	
		Завдання видав	Завдання прийняв
Наукова частина	Проф. Степанчук О. В.	04.10	05.10
План дороги	Проф. Степанчук О. В.	06.10	03.11
Повздовжній профіль та поперечні профілі	Проф. Степанчук О. В.	04.11	08.11
Конструкції дорожнього одягу	Проф. Степанчук О. В.	09.11	19.11
Система водовідведення	Проф. Степанчук О. В.	20.11	23.11
Організація та безпека дорожнього руху	Проф. Степанчук О. В.	23.11	26.11
Технологія будівельного виробництва	Проф. Степанчук О. В.	27.11	30.11
Охорона навколишнього середовища	к.т.н., доцент Гай А.Є.	03.11.2021	16.12.2021
Охорона праці	к.т.н., доцент Федина В.П.	27.11.2021 В.П.Рудиня	22.11.2021 В.П.Рудиня

8. Дата видачі завдання: «04» жовтня 2021 р.

Керівник дипломної роботи:

Степанчук О.В.

(підпись)

Завдання прийняв до виконання: Ляшенко П.І.

(підпись)

## **ЗМІСТ**

### **Зміст**

#### **Вступ**

#### **Реферат**

### **I Розділ. Наукова частина**

1. Аналіз Безпеки руху на дорогах.

1.1 Безпека експлуатації автомобільного транспорту у зимовий період

1.2 Захист автомобільних доріг від снігових заметів

1.3 Боротьба із зимовою слизькістю.

1.4 Способи боротьби із зимовою слизькістю

2. Загальні положення про тертя гуми

2.1 Тертя гуми

2.2 Будова та властивості льоду

2.3 Механізм тертя при ковзанні гуми по льоду

3. Розробка математичного опису характеристик зчеплення шин з льодом і процесу теплопередачі в контакті шини з покриттям з льоду

3.1 Розробка математичного опису параметрів зчеплення шин з льодом

3.1.1 Порядок розробки математичного опису

3.1.2 Опис характеристики бокового відведення

3.2 Розробка математичного опису процесу теплопередачі в контакті шини з покриттям із льоду

3.2.1 Розрахункова модель

3.2.2 Границі умови

### **II Розділ. Практична частина**

1. Загальні положення

2. Кліматичні умови

3. Техніко-економічна частина

4. Поздовжній профіль
  - 4.1 Побудова червоного профілю та розрахунок вертикальних кривих
5. Земляне полотно
6. Обґрунтування загального мінімального модуля пружності конструкції дорожнього одягу
7. Водовідведення
8. Організація дорожнього руху
  - 8.1 Пропозиції щодо застосування ТЗОДР
  - 8.2 Відомість влаштування дорожніх знаків
  - 8.3 Зведена таблиця дорожньої розмітки
  - 8.4 Таблиця напрямних пристрої та огорожень
9. Технологія
  - 9.1 Розрахунок тривалості будівництва
  - 9.2 Організаційно-технологічна схема виконання робіт
    - 9.2.1 Підготовчі роботи
    - 9.2.2 Основні будівельні роботи
  - 9.3 Обґрунтування методів виконання робіт та технічних рішень
    - 9.3.1 Земляне полотно
    - 9.3.2 Влаштування шару основи з щебенево-піщаної суміші С-7 оброблена цементом до марки М-20
    - 9.3.3 Влаштування нижнього шару асфальтобетонного покриття
    - 9.3.4 Влаштування верхнього шару асфальтобетонного покриття
10. Організація будівництва
  - 10.1 Визначення потреби в будівельно-монтажних кадрах
  - 10.2 Визначення потреби в тимчасових будівлях та спорудах
  - 10.3 Обґрунтування обсягів потреби в тимчасовому електропостачанні
  - 10.4 Обґрунтування обсягів потреби в тимчасовому водопостачанні
11. Охорона навколошнього середовища

## 11.1 Загальна характеристика об'єкту

11.1.1 Дані про розміри будівельних майданчиків, площі зайнятих земельних

угідь

11.1.2 Дані про використовувані ресурси

11.1.3 Опис технологічних процесів планованої діяльності

11.1.4 Проектні дані про розрахункові обсяги відходів

11.1.5 Можливі аварійні ситуації

11.1.6 Наявність позитивних аспектів від реалізації будівництва об'єкту

11.2 Оцінка впливу при експлуатації об'єкта на навколишнє природне середовище

11.2.1 Повітряне середовище

11.2.2 Шумовий вплив

11.2.3 Рослинний і тваринний світ та об'єкти природно-заповідного фонду

12. Охорона праці

## **Висновки**

## **Список використаної літератури**

## **ВСТУП**

Автомобільна дорога Криворіжжя-Костянтинівка на ділянці км 31+900 - км 36+600 віднесена до доріг загального користування місцевого значення в Донецькій області. Вказана дорога є важливою магістраллю у системі дорожньої мережі заходу та півночі Донецької області, слугує для транспортного сполучення промислових та адміністративних центрів.

Початок проектної ділянки дороги ПК 31+900 відповідає км 36+600 експлуатаційного кілометражу автомобільної дороги загального користування місцевого значення Криворіжжя-Костянтинівка на ділянці км, кінець траси ПК 366+00 відповідає км 36+600 експлуатаційного кілометражу вказаної дороги. Будівельна довжина проектної ділянки становить 4700 м.

Проектні рішення з капітального ремонту цієї ділянки дороги передбачають заходи, виконання яких дозволить підвищити пропускну спроможність дороги, рівень безпеки та комфортності руху, покращити транспортно-експлуатаційний стан проїзної частини існуючого дорожнього одягу, забезпечити необхідне зчеплення шин автомобілів з поверхнею проїзної частини, покращити облаштування автомобільної дороги технічними засобами організації дорожнього руху.

Реалізація проекту також значно покращить екологічну ситуацію прилеглих районів, що значно зменшить негативний вплив автомобільної дороги на навколишнє середовище:

- збільшення швидкості руху, забезпечення рівномірності руху, що зменшить кількість шкідливих викидів автотранспорту в довкілля;
- укріплення узбіч дозволить ліквідувати пилоутворення, покращить водовідвід, зменшить ерозію ґрунту і забрудненість водоймищ та ґрунтових вод.

## **РЕФЕРАТ**

**Дипломна робота складається з:** 99 стор., 18 табл., 17 рис., джерел 70

**Об'єкт дослідження –** зчеплення шин з поверхнею льоду.

**Мета роботи –** Підвищення безпеки автомобілів в умовах експлуатації, ефективності дорожньо-транспортної експертизи пригод і вдосконалення сертифікаційних випробувань шин легкових автомобілів на основі врахування закономірностей їх зчеплення з льодом.

**Галузь застосування –** розроблені технічні документи, проведені розрахунки та дослідження будуть використані проектними та будівельними організаціями.

**Соціальна ефективність від впровадження розробки:**

- підвищити комфорт проїзду автомобільного транспорту;
- покращення комунікації між населеними пунктами;
- збільшити безпеку руху та експлуатації шляхопроводу;
- економічності при будівництві відповідної прогонової будови;
- покращити екологічний стан прилеглих територій.

**Ключові слова –** Автомобільна дорога, Організація дорожнього руху, Капітальний ремонт.

## **I РОЗДІЛ**

## **ПРАКТИЧНА ЧАСТИНА**

## 1. Аналіз Безпеки руху на дорогах.

### 1.1 Безпека експлуатації автомобільного транспорту у зимовий період

Забезпечення безпеки дорожнього руху, а особливо в зимню пору року, є однією з найбільших проблем при експлуатації автомобілів. За даними статистики [1] кожного року в Україна реєструється понад 150 тисяч дорожньо-транспортних пригод.



Рис. 1.1 Статистика смертності в ДТП

Одним з найважливіших параметрів для забезпечення дорожнього руху є зчіпна якість дорожнього покриття. У «Рекомендаціях щодо забезпечення безпеки дорожнього руху на автомобільних дорогах» [2] зазначено, що зчіпні якості дорожнього покриття значною мірою визначають довжину гальмівного шляху автомобіля, мають великий вплив на його стійкість і керованість, тому є найважливішим параметром, що впливає на безпеку руху. Як показують численні дослідження, через зниження зчеплення ступінь ризику потрапити в ДТП на

покритому снігом або льодом дорожньому покритті відповідно в 1,5 та 4,5 разів вище, ніж на чистому сухому покритті.

У Псібнику по боротьбі з зимовою слизкістю на автомобільних дорогах» [3] всі снігово-крижані відкладення можна розподілити на три види за візуальними розбіжностями: сніговий накат, пухкий сніг та склоподібний лід.

- Пухким снігом на дорожньому покритті називаються відкладення у вигляді рівного шару.. Щільність свіжого снігу може змінюватися від 0,06 до 0,20 г/см<sup>3</sup> [4]. Снігові відкладення можна розділити на декілька типів залежно від вологості. Він може бути сухим, вологим та мокрим. Коефіцієнт зчеплення знижується на 0,2 при наявності шару пухкого снігу на дорозі;

- Сніжним накатом називається шар снігу, який ущільнений колесами автомобілів, які проїхали. Товщина накату може варіюватися в кількох міліметрів до кількох десятків. При цьому щільність може коливатися від 0,3 до 0,6 г/см<sup>3</sup>. [4] При сіговому накаті коефіцієнт щеплення шин з поверхнею дороги знижується до 0,1-0,25;

- Склоподібним льодом називається найнебезпечніший вид льодово-снігових відкладень, який характеризується гладкою склоподібною плівкою, товщина якої може сягати 3 мм, а інколи лід може являти собою матову кірку товщиною 10 і більше міліметрів. Відкладення склоподібного льоду мають густину від 0,7 до 0,9 г/см<sup>3</sup>, а коефіцієнт зчеплення становить від 0,08 до 0,15 [4]. Склоподібний лід утворюється при відємних температурах внаслідок випадання опадів на покриття, що не встигло прогрітись після відлиги. Проте є ще один вид льду, який являє собою білу матову кірку, такий лід утворюється під час туману з вітром та нульової температури, його щільність коливається від 0,5 до 0,7 г/см<sup>3</sup> [4].

Із поганим зчепленням шин із зледенілим дорожнім покриттям можна боротись двома шляхами. Перш за все при утриманні доріг застосовують хімічні, комбіновані, фрикційні та фізико-хімічні способи боротьби із слизькістю. Першочергова задача зимового утримання автомобільних доріг полягає у

проведенні усіх можливих заходів для запобігання автомобільно-дорожніх пригод. Зона досягається способом прибирання льодово-снігових відкладень з дорожнього покриття, для того щоб підвищити коефіцієнт зчеплення шин з дорожнім покриттям.

При хімічних способах боротьби з обледенінням використовуються хімічні матеріали, які при контакті із снігово-крижаними відкладеннями перетворюють їх на такі розчини, які не замерзають при мінусових температурах.

Фрикційні засоби боротьби використовуються на дорожніх покриттях у регіонах, де мінусові температури тримаються тривалий час.

При комбінованих способах боротьби використовуються як хімічні засоби, так і фрикційні для високоефективної боротьби із снігово-крижаними відкладеннями.

При фізико-хімічних засобах боротьби власфальто-бетонне покриття вводиться протиожеледна суміш, за допомогою данного наповнювача на поверхні дорожнього покриття утворюється гідрофобний шар, який допомагає у певних випадках запобігати утворенню снігово-крижаних відкладень, а у деяких знижує їх адгезію.

Також для запобігання дорожньо-транспортним пригодам у зимову пору року власники автомобілів використовують шиповану резину, яка допомагає іноді навіть удвічі підвищити коефіцієнт зчеплення при русі по сніговому накату чи сухому льоду.[68]

Проте при русі чистими від снігу та льоду ділянками шиповані шини значно поступаються у зчлененні нешипованим, за рахунок зменшення контактної площини через виступаючі шипи.

Ймовірність виникнення аварійних ситуацій значно зростає при русі на автомобілі з шипованими шинами дорогою з ділянками як сухого так і зледенілого покриття. Також зростає й вплив на дорожнє покриття в описаних вище обставинах. Шипи на шинах пошкоджують частинки дорожнього покриття, що

значно пришвидшує зношуваність покриття, а також підвищує рівень забруднення придорожніх територій. Враховуючи перелічені фактори у більшості європейських країн частково обмежено або й заборонено пересування на автомобілях з шинами з пованою резиною.

Для забезпечення керованої стійкості автомобілі, а також скорочення гальмівного шляху автомобілями використовується система активної безпеки.

Найбільш відомими та використовуваними системами активної безпеки є:

- антиблокувальна система;
- антипробуксовочна система;
- Система розподілу гальмівних зусиль;
- Система екстреного гальмування;
- Електронне блокування диференціала;
- Система курсової стійкості.

При використанні антиблокувальної системи колеса автомобіля не блокуються при гальмуванні, що допомагає запобігти втраті керованості автомобільного транспорту при екстренному гальмуванні. Система допомагає скоротити гальмівний шлях, щоб водій міг зберегти контроль над автомобілем і маневреність автомобіля була збережена при гальмуванні.

Сумісно з антиблокувальною системою автомобілем використовується антибуксовальна. Вона допомагає уникнути втраті зчеплення провідних коліс з дорожнім покриттям. За допомогою датчиків система розпізнає буксування провідних коліс і автоматично скидає тягу двигуна, тобто знажується частота обертання двигуна. В деяких випадках система може пригальмовувати ведучі колеса. Тобто система допомагає забезпечити максимально можливий розгін автомобіля в заданих умовах дорожнього покриття.

Також на автомобілях встановлюється система розподілу гальмівних зусиль. Її відмінність від антиблокувальної системи полягає у тому, що вона постійно допомагає водієві керувати автомобілем, а не лише у екстрених випадках. Так як

кофіцієнт зчеплення шин з дорогою відрізняється на різних ділянках, а гальмівне зусилля однакове, то система автоматично розпізнає положення кожного колеса окремо, за рахунок чого і регулює гальмівне зусилля. З допомогою системи контролюється траєкторія руху автомобіля, що допомагає знизити ймовірність виникнення ДТП.

Для ефективного гальмування в екстрених ситуаціях на автомобілях встановлена система екстреного гальмування. При недостатньому зусиллі прикладеному до педалі гальма у разі екстренного гальмування, система автоматично сама підвищує тиск у гальмівній магістралі. Робота системи допомагає запобігти пробуксовуванню одного або двох коліс. Робота системи полягає у аналізі швидкості обертання коліс. Під час руху автомобіля система постійно аналізує дані з датчиків АБС і при появи буксування хоча б одного з провідних коліс диференціал автоматично блокується, передаючи крутильний момент на колеса, які мають достатній коефіцієнт зчеплення.

Однією з найефективніших систем безпеки автомобілів вважається система курсової стійкості. В екстрених ситуаціях, коли при загрозі втраті керованності автомобіля система автоматично стабілізує рух автомобіля пригальмовуючи окремі колеса та регулюючи частоту обертання двигуна.

Незважаючи на високу ефективність перерахованих систем, їх робота не зможе забезпечити вищий коефіцієнт зчеплення шин з дорожнім покриттям, ніж реалізований. Тобто, у будь-якому разі шини є найважливішим елементом у будь-якій системі безпеки. Удосконалити зчеплення шин з дорожнім покриттям можна лише шляхом вдосконалення складу шин, покращення рецептури матеріалів, які використовуються для виготовлення шин. Для того, щоб порівняти ефективність запроваджених конструкторських рішень у виготовленні шин, використовується обладнання з високою стабільністю покриття та температурою. Необхідно також високотехнологічне обладнання для визначення зчіпних показників, адже показники провідних компаній можуть суттєво не відрізнятись.

Як було описано вище, найнебезпечнішим єх скоподібний лід, тому необхідно розглянути механізм тертя при ковзанні шин по льоду а також їх зчіпні характеристики для випробування.

### **1.2 Захист автомобільних доріг від снігових заметів**

Захист дороги від снігу суттєво спрощує прибирання доріг від снігових відкладень, адже він попереджає відкладення снігу на проїзні частині. Опади, температура повітря, сонячна радіація та швидкість вітру визначають основні властивості снігового покриву, такі як структура, текстура та інші фізико-механічні властивості снігового покриву. Територію України можна розділити на чотири регіони залежно від властивостей снігового покриву[4].

Найскладнішим режимом вважаються північний схід та схід України (Харківська, Луганська та Донецька області). Далі йде складний режим, до якого відносяться південний та центральний степові регіони (Запорізька, південь Дніпропетровської, південь Кіровоградської, Херсонська, Миколаївська, північ Одеської областей). До третього – звичайно режиму належать усі інші регіони України окрім гірських, які виділені до окремого четвертого особливого гірського режиму.

Для визначення сніжно-хуртовинного режиму необхідно розрахувати обєми снігоприносу, які визначаються відповідно до заданої імовірності перевищення, середньорічну кількість хуртовин, характер та закономірність снігопереносу.

### **1.3 Боротьба із зимовою слизькістю**

В Таблиці 1.1 [4] приведені приклади найпоширеніших видів зимової слизкості, яка утворюється при дії опадів та перемінних позначках температур.

**Таблиця 1.1 - Види зимової слизькості**

№ п/п	Вид зимової слизькості, у тому числі	Агрегатний стан опадів	Процес утворення	Черговість обробки покриття ПОМ
1	2	3	4	5
1*	Ожеледиця (склоподібний)	рідкий	замерзання дощу, води або мряки	профілактична основна
2*	Зернистий наліт	пароподіб- ний	намерзання туману на охолодженому	профілактична основна
3*	Зерниста паморозь	пароподіб- ний	замерзання переохолодженого	профілактична основна
4	Пухкий сніг	твердий	випадання снігу, сніжні замети під час	профілактична основна
5	Сніжний накат	твердий	ущільнення пухкого снігу	основна
6	Сніжно- льодяний накат	твердий	Замерзання перезволожено го	основна

\* три перших види зимової слизькості далі за текстом об'єднані під однією назвою -

Коли температура повітря коливається від +3°C до -5°C, а вологість повітря сягає 90%, то утворюється ожеледиця, але лише за умови відсутності реагентів на дорожньому покритті.

Під часу снігопаду та хуртовини на покритті утворюється пухкий сніг, який при нульвих температурах найбільш ущільнюється.

Сніг може перетворитись на снігово-льодовий накат, якщо протиожеледні матеріали будуть несвоєчасно розсипані.

Необхідно спостерігати за погодними умовами перед та під час утворення снігово-льодового покриття для того, щоб організувати та скоординувати роботи з метою запобігання та боротьби іх утворенню.

Кількість матеріалів, норми розподілу та терміни виконання робіт повинні розраховуватись з урахуванням кількості ожеледі на покритті.

Терміни на виконання робіт по ліквідації слизкості наведені в Таблиці 1.2 згідно з додатком Б ДСТУ 3587 [5]

**Таблиця 1.2** - Терміни ліквідації зимової слизькості автомобільної загального користування погонною довжиною 100 км [5]

Середньорічна добова інтенсивність руху, авт/л	Термін ліквідації зимової слизькості автомобільної дороги
1-1000	15, не більше
1001-3000	10, не більше
3001-7000	7, не більше
Більше 7000	4, не більше

При визначенні фактичних строків на виконання робіт по усуненню слизкості необхідно приймати до уваги технічні параметри ділянок, що обслуговуються, їх протяжності, техніки, що використовується, а також заданий рівень забезпечення безпеки руху та погодно-кліматичних умов.

У Таблиці 1.3 наведено строки для виконання робіт по усуненню слизькості на автомобільних дорогах та узбіччях.

**Таблиця 1.3** - Строки усунення зимової слизькості автомобільних доріг

1	2	3	4	5	6	
III	6	9	8	15	4,0	7,0
IV	9	12	12	18	8,0	11,0
V	12	16	16	22	12,0	17,0

Усунення слизькості починається як тільки дорожньо-експлуатаційна організація отримує повідомлення про ділянку дороги, де було виявлено проблему і триває до повного її усунення.

## **1.4 Способи боротьби із зимовою слизькістю**

Для боротьби із зимовою слизькістю застосовують механічний, фрикційний, фізико-хімічний, хімічний та хіміко-фрикційний способи.

- При механічному способі боротьби, лід просто сколюється з дорожнього покриття та видаляється за межі проїзної смуги та її узбіч.

- При фрикційному способі боротьби за допомогою розсипаних по дорозі фрикційних матеріалів підвищується коефіцієнт зчеплення шин з дорогою, але слизькість не ліквідовується. Норма розсипу фрикційних матеріалів на прямих ділянках доріг з повздовжнім уклоном до 20 %о становить від 0,1 до 0,2 м<sup>3</sup> на 1000 м<sup>2</sup>. На аварійно небезпечних ділянках розсипають від 0,3 до 0,4 м<sup>3</sup> на 1000 м<sup>2</sup> (може застосовуватися тільки на дорогах IV та V категорій) [6]. Перед нанесенням матеріалів на дорожню поверхню рекомендовано нагріти їх до 80-100°C для підвищення ефективності.

- При використанні фізико-хімічного способу боротьби з обледенінням покриття попередньо обробляються хімічними реагентами, які надають покриттю гідрофобних властивостей. Для гідрофобізації використовують кремнійорганічні рідини: ГКЖ- 12, ГКЖ-20, фенілетасілоксан та інші. Норма розподілу рідини ГКЖ-12 та ГКЖ-20 дванадцятпівдсоткової концентрації - 0,3 л/м<sup>2</sup> [6] за два тижні з початку осіннього дощового періоду. В першу добу після обробки поверхні покриття кремнійорганічні рідинами коефіцієнт зчеплення колеса з покриттям знову знижується і необхідно обмежувати швидкість руху до 35 км/год.

- Хімічний спосіб боротьби з обледенінням представляє собою розподілення чистих ПОМ, яким властиво розтоплювати лід. Тверді матеріали а також їх розчини використовуються для попереждення ожеледиці на дорожніх покриттях. При цьому для підвищення протиожеледного ефекту ПОМ у кристалічному зигляді безпосередньо на диску піскорозподільника зволожуються розчином хлоридів двадцятпітрьох - двадцятніп'яті півдсоткової концентрації в кількості 10-30% від маси сухої солі.

- Для хіміко-фрикційного способу кристалічні ПОМ змішуються з інертними. Зони змішуються у таких пропорціях, щоб розподілення ПОМ було таким же, як і при хімічному способі. Перевага хіміко-фрикційного способу полягає у тому, що гуміш краще закріплюється на поверхні дорожнього покриття, а також допомагає підвищити шорсткість поферхні.

Хлористий кальцій, сіль сільвінітових відвалів, а також пористий технічний натрій використовуються як хімічні добавки.

## **2 . Загальні положення про тертя гуми**

Зовнішнє тертя виникає, коли один предмет переміщається поверхнею іншого, зикликаючи механічний опір. Природа зовнішнього тертя проявляється у двох напрямках, долаються сили молекулярної взаємодії між поверхнями, а також це механічний опір, пов'язаний з деформацією шарів поверхонь.

На поверхні тіла є атоми і молекули, контакт яких і призводить до молекулярної взаємодії. При взаємодії атоми і молеколи звязуються один з одним. Ці звязки, які утворились називають адгезією. Тобто адгезія – це звязок, які утворились між атомами та молекулами внаслідок міжмолекулярної взаємодії між ними.

Залежно від сил які взаємодіють між атомами, молекулами або групами контактуючих сил змінюється сила адгезії. Чим більше поверхнева енергія на тілах, тим вищими стають адгезійні властивості поверхні. Адгезійний шов [7] утворюється, якщо на контактуючих поверхнях є надлишкова енергія, тобто поверхневий натяг, як зображене на Рисунку 2.1 [7]

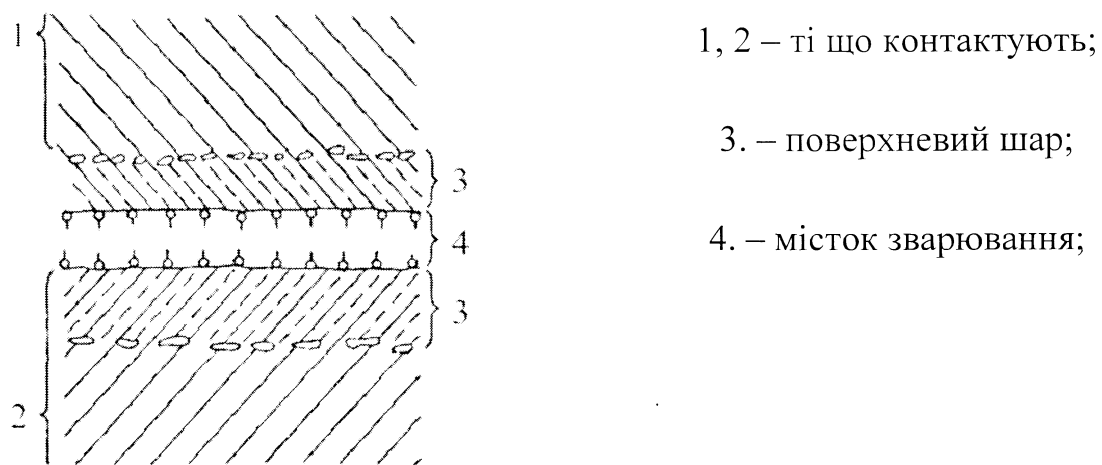


Рис. 2.1- Схема контакту двох твердих тіл

У процесі зовнішнього тертя досить тонкі поверхневі шари дотичних тіл зеформуються, при цьому містки зварювання, які утворили – розриваються, або починається процес руйнування у випадках, коли міцність шва нижча міцності нижнього шару. У формуванні міцних зв'язків може брати участь одна й та ж область поверхні і при цьому вона лишається неушкодженою. Та у будь-якому разі, зрештою поверхневі шари руйнуються, при цьому відбувається не тільки руйнування, але й рекомбінація зв'язків. Рухливість поверхневого шару значно впливає на механізм руйнування адгезійного шва. Мехагічний обрив зв'язків відбувається тоді, коли шар втрачає свою рухливість.

Між молекулярною взаємодією еластомерів та твердих тіл спостерігаються значні відмінності. Так як гума – це полімер, то вона перебуває у високоеластичному стані. Природа молекулярної взаємодії визначається рухливістю полімерних ланцюгів

Молекулярна взаємодія еластомерів із твердим тілом відрізняється від взаємодії твердих тіл. Гума є полімером, що знаходиться у високоеластичному стані. В цьому випадку рухливість полімерних ланцюгів велика і це визначає загальні закономірності та природу молекулярної взаємодії. Згідно з припущенням Адольфа Шаламаха механізм тертя еластичних матеріалів схожий до вязкого тертя

є молекулярно-активаційним. [8] Вчений Бартнєв взяв за основу для своєї молекулярно-кінетичної теорії припущення Шаламаха. Теорія говорить, що ланцюги на поверхні твердого тіла здійснюють безладні теплові коливання [9], як показано на Малунку 2.2 [9]

Положення молекулярних ланцюгів можна розділити на два типи:

- 1) молекулярний ланцюг має контакт із твердою поверхнею;
- 2) молекулярний ланцюг не має контакту з твердою поверхнею. Також відомо, що молекулярні ланцюги можуть змінювати положення з першого типу на другий навпаки.

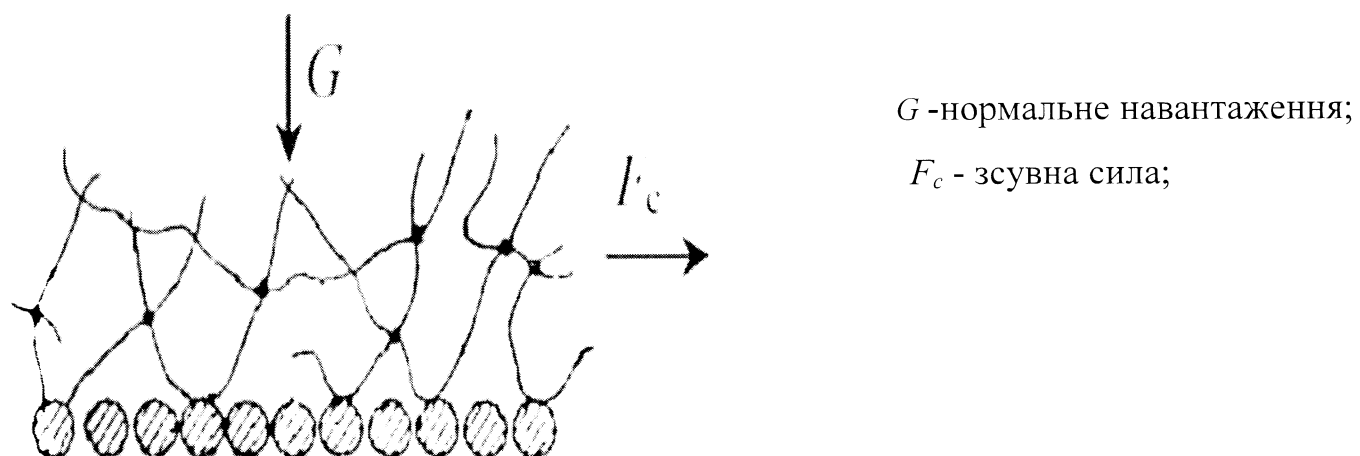


Рис. 2.2 Схема молекулярного контакту полімеру з твердим тілом

Також існує механічна теорія тертя, яка іншими словами, проте також передає зміст поняття молекулярної взаємодії.

В іншій формі, але з подібним змістом, пояснення молекулярної взаємодії дає механічна теорія тертя. Буркін запропонував теорію механіки тертя, згідно з якою поверхня полімеру може бути представлена великою кількістю мікрокопічних шорсткостей при kontaktі з твердим тілом. Розмір кожного грубого виступу становить близько 10-6 мм, і він утворює з'єднання з поверхнею аналога (Рисунок 2.3) [10]. З'єднання може бути розірвано за допомогою прикладеної тангенціальної сили  $F_{max}$ . Коли полімер рухається, виступи мікрошорсткості, які утримують клей, деформуються. Після роз'єднання з'єднання елемент намагається відновити

тірвісну форму, а частина енергії повертається полімеру. При ковзанні елемента процес утворення з'єднання і руйнування повторюється.

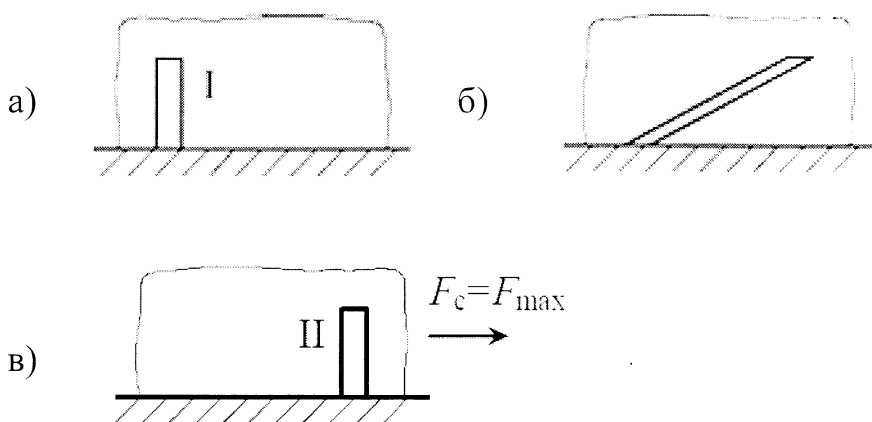


Рис. 2.3 Схема руйнування фрикційного зв'язку

а-утворення контакту; б-деформація контакту; пошкодження в контакті

I - Початкове положення мікроелементів в організмі;

II - Положення мікроелементів в організмі після розриву клею

Якщо між поверхнями двох предметів є плівки або забруднення, ці плівки прилипнуть, а самі об'єкти будуть захищені від адгезії. У цьому випадку плівка виступає в ролі мастила. Тертя об лід виникає, коли між поверхнями тертя є водяна плівка. Зниження температури поступово збільшує в'язкість водяної плівки, збільшуючи тим самим напругу зсуву.

### 2.3 Будова та властивості льоду

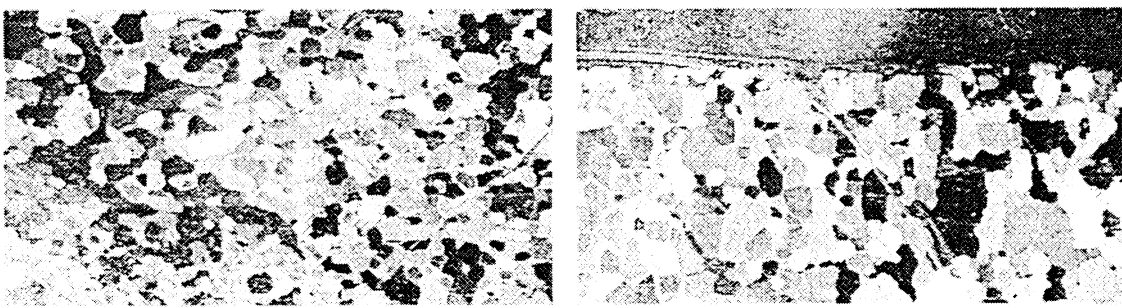
Лід - це тверда вода - мінерал. Лід може існувати в трьох аморфних варіантах і 15 кристалічних формах. У природних умовах лід в основному представлений однок Малтальною формою, з гексагональною кристалічною системою, щільністю 931 кг/м<sup>3</sup> (Іh лід). У льоду Іh кожна молекула H<sub>2</sub>O оточена чотирма найближчими до неї молекулами. Чотири молекули рівновіддалені від нього, що дорівнюють 2,76 Å, і розташовані на вершині правильного тетраедра. Структура льоду порожниста, що зменшує його щільність.

При температурах навіть нижче температури плавлення кристалічна структура льоду покривається тонким шаром води. Плівка забезпечує перехід від жорсткої

структурі кристалічного льоду до води. Він має товщину в кілька сотень молекул [11]. Флетчер [11] підтвердив теоретичними дослідженнями, що плівка рідини при 0°C має товщину понад п'ятдесят молекул. При зниженні температури плівка стоншується і зникає при мінус 12°C. У роботі [11] наведено експериментальне підтвердження існування водяної плівки між гумовою півсфeroю та поверхнею льоду, по якій вона ковзає.

Оскільки об'єм льоду більше, ніж об'єм води, з якої він утворився, застосування низького тиску до кристалів льоду приведе до їх танення. Після декомпресії водяна плівка миттєво набухає і замерзає. Однак Боуден і Хьюз за допомогою простого розрахунку питомого тиску сноуборду показали, що прикладеного тиску недостатньо, щоб значно розтопити лід [12]. Тому ковзання по льоду відбувається по водяній плівці, що утворюється під дією тиску та тертя, причому домінуючим є фрикційне танення [13]. Експерименти показали, що тертя об лід збільшується зі зниженням температури навколошнього середовища, що добре пояснюється зменшенням танення льоду при більш низьких температурах.

Необхідно правильно розрізняти рідинні шари, на ті які знаходяться між окремими елементами кристалів льоду та ті які знаходяться на його поверхні. При таненні льоду на поверхні, між кристалами відбувається зворотній процес замерзання. Як наслідок, процес танення і замерзання протікають паралельно. Під час внутрішнього замерзання протікає фаза навантаження льодового покриву, а під час зовнішнього замерзання лід розвантажується. [4] У дослідженнях на полігоні Шібетсу, що в Хоккайдо [15], було отримано лід, який значною мірою схожий до того, який формується на дорожньому покритті в реальних умовах. (Малунок 2.4)



а) Горизонтальний зріз

б) Вертикальний зріз

Мал. 2.4 Форми кристалів льоду, отримані на полігоні Shibetsu в Hokkaido

#### 2.4 Механізм тертя при ковзанні гуми по льоду

Виконано велику кількість робіт з дослідження та формалізації механізму тертя гуми по льоду [18, 20, 24, 25, 26, 27, 30, 31, 36 та ін.]. Поступово сформувалася єдина думка про механізм утворення сили тертя при ковзанні гуми по льоду. Найбільш повно механізм тертя відображені у роботах {18, 25}. На мал. 2.5 показаний елемент протектора пневматичної шини, що ковзає зі швидкістю  $V$  по гладкому льоду з присутнім льодово-водним шаром.

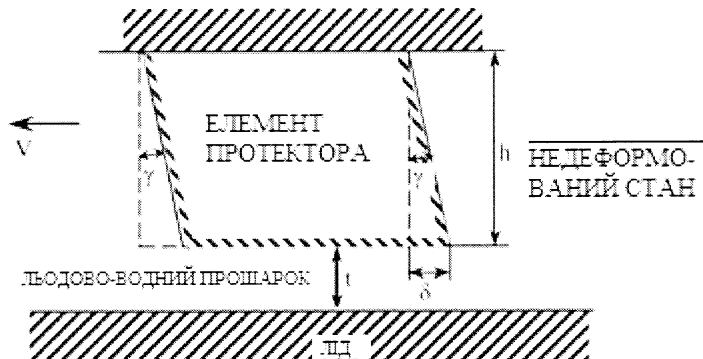


Рис. 2.5 – Елементарний адгезійний механізм тертя гуми по льоду

За постійних умов ковзання деформація елемента залишається постійною. Під дією сили тертя відбувається лінійна  $\delta$  і кутова  $\theta$  деформації елемента. У льодово-водному шарі створюються напруги зсуву  $\tau$ :

$$\tau = \frac{\mu V}{t} \quad (2.1)$$

де  $\mu$  - абсолютна в'язкість і  $t$  товщина шару.

Те ж саме напруга зсуву  $\tau$  пов'язують з властивостями матеріалу елемента наступним чином:

$$\tau = G^* \gamma \quad (2.2)$$

де  $G^*$  є комплексним модулем зсуву гуми.

Враховуючи, що  $\gamma = \delta / h$ , із рівнянь (2.1) та (2.2), одержують:

$$\delta = \left( \frac{h}{t} \right) \left( \frac{\mu V}{G^*} \right) \quad (2.4)$$

де  $h$  - висота елемента протектора, показана малюнку.

Рівняння (2.3) пов'язує стаціонарне деформаційне відхилення  $\delta$  зі швидкістю ковзання, властивостями матеріалу та в'язкістю льодово-в одного шару. Через складну будову льоду і широку варіацію властивостей поверхневої плівки можна очікувати, що величина і сильно залежатиме від товщини льодоводного шару  $t$ . Тому неможливо прийняти значення деформації  $\delta$  і  $\gamma$  постійним під час будь-якого руху елемента протектора.

Існує більш універсальна динамічна модель, що описує ковзання елемента протектора по льоду з урахуванням маси елемента, яка бере участь у рівнянні динаміки руху. Модель описує динамічну поведінку системи з розподіленою масою, еквівалентної сконцентрованої маси однієї третьої частини елемента  $M/3$ , де  $M$ -повна маса елемента протектора.

На рис. 2.6 відображено динамічну модель руху елемента протектора. Крижана поверхня рухається зі швидкістю  $V$  у напрямку, протилежному фактичному движенню елемента, обмеженому пружиною та демпфером.

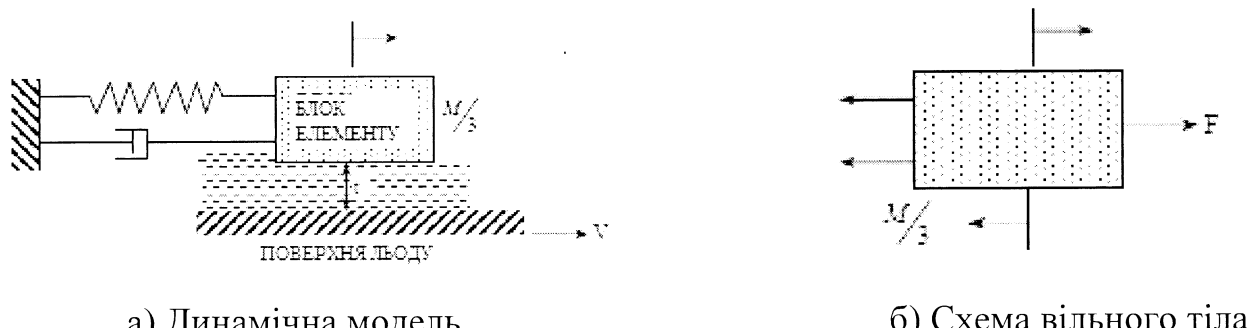


Рис. 2.6 - Динамічна модель (а) та схема вільного тіла (б) для тертя  
елемента протектора по льоду

Сила  $F$ , створена льодово-водною кулею, прикладена до нижньої поверхні елемента протектора, що сприяє утворенню вимушених загасаючих колінь елемента на пружині. Демпфування задають коефіцієнтами згасання  $k$  і  $c$ , які вважають функціями різних параметрів системи. Для схеми вільного тіла, зображеного на рис. 2.6 (б) справедливе диференціальне рівняння:

$$\frac{M}{3}\delta + c\delta + k\delta = F \quad (2.4)$$

$$M = p h L B; \quad (2.5)$$

$$F = \frac{\mu LB}{t} [V - \delta]; \quad (2.6)$$

$$c = \frac{\eta LB}{h}; \quad (2.7)$$

$$k = \frac{G' LB}{h} \quad (2.8)$$

де  $L$  і  $B$  - довжина та ширина елемента;  $p$  - густина гуми;  $\eta$  - еквівалентна динамічна в'язкість гуми;  $G'$  - пружний компонент комплексного модуля зсуву  $G^*$ ;  $h, t$  - величини, показані на рис. 2.5.

Напруги зсуву виражають формулою:

$$\tau = [G' + jG''] \gamma = G' \gamma + \eta \gamma, \quad (2.9)$$

де  $\eta$  еквівалентний  $G'' h / \delta$  (див. рівняння (2.7)) і  $G''$  - модуль втрат для гуми.

З рівнянь (2.4) ... 2.8) отримано наступне диференціальне рівняння руху блоку:

$$\delta + 3 \left[ \frac{\eta t + \mu h}{ph^2 t} \right] \delta + \left[ \frac{3G'}{ph^2} \right] \delta = \frac{3\mu V}{pht}. \quad (2.10)$$

Таким чином, демпфування створюється в'язкістю льодово-водного шару та внутрішніми втратами обсягом гуми. Еквівалентний коефіцієнт демпфування для цієї комбінації виражається сумою:

$$C_{EQUIV} = c + c_{viscous} = \frac{\eta LB}{h} + \frac{\mu LB}{t} \quad (2.11)$$

Необхідно відзначити, що швидкість  $d\delta$  завжди менша за швидкість  $V$  у рівнянні (2.6). Сила тертя  $F$  збільшується зі збільшенням швидкості, а позитивний коефіцієнт демпфування в рівнянні (2.11) гарантує, що вібрація швидко загасає.

Якщо зі збільшенням швидкості тертя знижується, замість рівняння (2.6) використовують інше рівняння:

$$F = K - q_A W [V - \delta], \quad (2.12)$$

де  $K$  – деяка константа;  $W$  - прикладене до елемента нормальнє навантаження і  $q_A$  - середній нахил кривої в «експлуатаційній точці» (мал. 1.7).

Диференціальне рівняння руху для блоку набуває вигляду:

$$\ddot{\delta} - 3 \left[ \frac{q_A ph - \eta}{ph^2} \right] \dot{\delta} + \left[ \frac{3G}{ph^2} \right] \delta = \frac{K}{LB} - q_A V p, \quad (2.13)$$

де  $p = W/LB$  - середній нормальній тиск елемента, створюване прикладеним навантаженням.

При постійній швидкості ковзання  $V$  права частина рівняння (1.13) також набуває постійного значення, як і за рівнянням (1.10). Помічено, що за умови забезпечення умови:

$$q_A > \frac{\eta}{ph} \quad (2.14)$$

демпфування в рівнянні (2.13) стає негативним, поздовжні коливання гумового блоку збільшуються, а не згасають. Цей стан ідентифікований як фрикційні автоколивання або стрибкоподібне ковзання, і рівняння 21.14) визначає мінімальну величину негативного нахилу залежності на рис. 2.7, яка необхідна їх збудження.



Рис. 2.7 - Залежність сили тертя від швидкості ковзання по льоду

Структура поверхні взаємодіючих тіл істотно впливає на механізм тертя. Макроскопічний вид поверхні розділу протектор - лід показаний на рис. 2.8.

Якість поверхні на спеціально підготовленому лабораторному льоду може бути настільки високою, що шорсткість має порядок 10-5 см і менше [18]. Шорсткість поверхні протекторної гуми зимових шин набагато більша. Типова її величина 2,540-3 см, що приблизно в сорок разів більше за товщину льодово-водного шару.

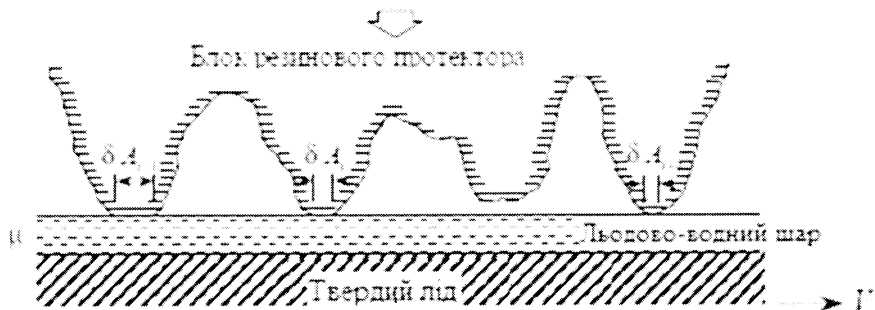


Рис. 1.8 - Макроскопічний вид поверхні розділу протектор – лід

Оскільки всі нерівності виступають із пружної поверхні, фрикційний механізм значною мірою є адгезійним. Вклад від гістерези незначний. Це враховується рівнянням, що відображає встановлену силу тертя [17]:

$$F = As = A \left[ \frac{\mu V}{t} \right] \quad (2.15)$$

де  $s$  - ефективний опір зрізу льодово-водного шару;

$$A = \sum_{i=1}^n \delta A_i - \text{площа числа } n \text{ контакуючих виступів } A_i$$

При деякому значенні швидкості ковзання та різних комбінаціях  $A$  і  $s$  утворюється пік в'язкопружного тертя. Експериментальні залежності сили тертя від швидкості ковзання показано на рис. 2.9 для зразків гум на основі натурального (NR) та бутадієн-стирольного (SBR) каучуків.

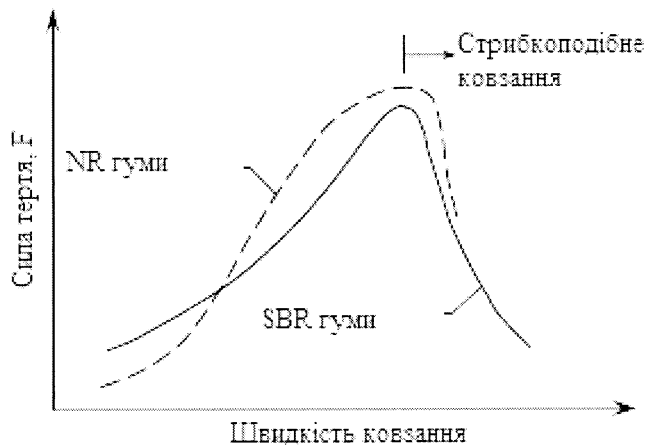


Рис. 2.9 - Залежність сили тертя від швидкості ковзання гуми по льоду

Позитивний нахил залежності сили тертя відповідає рівнянню (2.6), негативний нахил – рівнянню (2.12). Вплив шорсткості поверхні враховується рівнянням (2.15). Стрибкоподібне ковзання виникає в області негативного нахилу залежності відповідно до теорії, викладеної вище.

### **3. Розробка математичного опису характеристик зчеплення шин з льодом і процесу теплопередачі в контакті шини з покриттям з льоду**

#### **3.1 Розробка математичного опису параметрів зчеплення шин з льодом**

У цьому розділі буде розглянуто розробку математичного опису зчіпних характеристик шин:  $\phi_u = f(\delta)$  і  $\phi_x = f(Sx)$ . Математична модель застосовується для математичних моделей автомобілів, що можна було розрахувати їх рух по дорогах які вкриті льодом

### 3.1.1 Порядок розробки математичного опису

Для розробки опису необхідні експериментальні характеристики, які представлені у Таблиці 3.1 [24]. Нижче представлено порядок розробки математичного опису.

- Аналіз типових показників. Отриманні результаті досліджень характеристик шин доводять, що при зміні факторів, впливаючих на характеристики шин, приводять до характеристик однієї форми. Усі характеристики уподоблюються, тож представимо їх у вигляді залежності, де коефіцієнт  $\xi$  бічної або поздовжньої сили від кута уводу або поздовжнього прослизання, де коефіцієнт  $\xi$  змінюється в діапазоні від 0 до 1 [24].

При зміні факторів, що впливають, характеристики  $x_u(d)$  чесно змінюються. Назвемо типовими характеристиками залежності  $X_u(d)$  і  $X_x(S_x)$ , що виражають з найменшою похибкою всі експериментальні  $x_x(S_x)$ , отримані в досліджуваному просторі факторів.

- Вибір функції для типової характеристики. Необхідно використовувати спеціальні функції для типової характеристики шин. До спеціальної функції пред'являється одна основна вимога. Функція повинна якісно відображати всі особливості типової характеристики.

Кількість змінних у функції та її складність вцілому не мають значення.

- Розрахунок типових показників коефіцієнтів функції. Характерна для шин функція зазвичай нелінійна. Для її обчислення застосовуються чисельні методи, адже як правило не існує аналітичних формул для обчислення. Для своєї роботи я обрав найпоширеніший метод для обчислення – метод покоординатного спуску.

Формула типової характеристики містить кілька коефіцієнтів, що з формою залежностей  $X_u(d)$  і  $X_x(S_x)$ . При розрахунку коефіцієнтів утворюються хибні рішення, відповідні локальним мінімумам цільової функції. Число помилкових рішень швидко збільшується зі збільшенням числа коефіцієнтів і процедура їх

обчислення стає складною. Окремий міжнародний симпозіум було присвячено обчисленню коефіцієнтів для математичних моделей шин.

Значення коефіцієнтів обчислюємо за результатами обробки експериментальних даних [25], далі вважаємо їх постійними. Назовемо умовно коефіцієнти функції типової характеристики "постійними" коефіцієнтами

Лінійна корекція типової характеристики.

Нехай нам відомі значення оціночних параметрів гуми  $\Phi_{y\max}$ ,  $\Phi_{y12}$ ,  $\delta_{kp}$  або  $\Phi_{x\max}$ ,  $\Phi_{x0}$ ,  $S_{xkp}$ .

Розбиваємо характеристики на дві ділянки: перша ділянка

друга ділянка  $\delta > \delta_{kp}$  або  $S_x > S_{xkp}$ .

Сформулюємо лінійну корекцію першої ділянки.

Вводимо зміщення максимуму типової характеристики критичного кута уводу  $\delta_T$  або  $S_{x1}$ : [25]

$$\delta_T = \delta \frac{\delta_{kpT}}{\delta_{kp}}; S_{xT} = S_x \frac{S_{xkpT}}{S_{xkp}}, \quad (3.1) \quad (3.2)$$

де  $\delta_T$  або  $S_{xT}$  - кут відведення або поздовжнє прослизання для зчіпної характеристики

$\delta_{kpT}$ ,  $S_{xkpT}$  - значення параметрів для типової характеристики;

$\delta_{kp}$ ,  $S_{xkp}$  - значення параметрів для зчіпної характеристики.

Підставляючи  $\delta = \delta_{kp}$  або  $S_x = S_{xkp}$  у формули функції типової характеристики, ми отримаємо  $\delta_T = \delta_{kpT}$  або  $S_{xT} = S_{xkpT}$ . Це відповідає горизонтальному зміщенню максимуму характеристики (Рисунок 3.1).

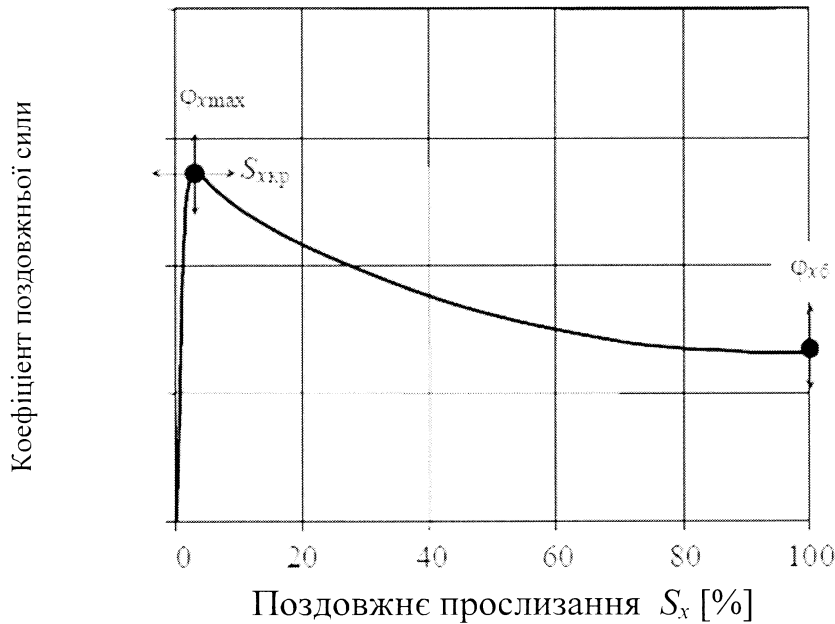


Рисунок 3.1 - Масштабування типової характеристики поздовжнього прослизання

Вводимо масштабну корекцію типової характеристики за коефіцієнтом

$$\phi_y(\delta) = \bar{\xi}_y(\delta_T) \frac{\Phi_{y\max}}{\Phi_{y\max T}}; \quad \phi_x(S_x) = \bar{\xi}_x(S_{xT}) \frac{\Phi_{x\max}}{\Phi_{x\max T}}. \quad (3.3); (3.4)$$

де  $\phi_y(\delta)$ ,  $\phi_x(S_x)$ - зчіпні характеристики шини;

$\delta_T$ ,  $S_{xT}$  - скориговані за формулою (3.1) кут відведення та поздовжнє прослизання;

$\Phi_{y\max}$ ,  $\Phi_{x\max}$  - значення параметрів для зчіпної характеристики;

$\Phi_{y\max T}$ ,  $\Phi_{x\max T}$  - значення параметрів для типової характеристики.

Залежності  $\Phi_{y\max}/\Phi_{y\max T}$  і  $\Phi_{x\max}/\Phi_{x\max T}$  являють собою масштабні коефіцієнти.

Корекція задає вертикальне зміщення першої ділянки характеристики (див. мал. 3.1) Сформулюємо лінійну корекцію другої ділянки. Враховуємо зміщення

максимуму типової характеристики по критичному куту відведення  $\delta_T$  або прослизання  $S_{xT}$ :

$$\varphi_y(\delta) = \bar{\xi}_y(\delta_T) \left[ \frac{\varphi_{y\max}}{\varphi_{y\max T}} - \left( \frac{\varphi_{y\max}}{\varphi_{y\max T}} - \frac{\varphi_{y12}}{\varphi_{y12T}} \right) \frac{\delta - \delta_{kp}}{12 - \delta_{kp}} \right]; \quad (3.5)$$

$$\varphi_x(S_x) = \bar{\xi}_x(S_{xT}) \left[ \frac{\varphi_{x\max}}{\varphi_{x\max T}} - \left( \frac{\varphi_{x\max}}{\varphi_{x\max T}} - \frac{\varphi_{x0}}{\varphi_{x0T}} \right) \frac{S_x - S_{xp}}{100 - S_{xp}} \right]. \quad (3.6)$$

де  $\delta_{\max}$  - максимальне значення кута відведення для зчіпної характеристики. Кут  $\delta_{\max}$  часто обмежують величиною  $12^\circ$ .

$S_{\max}$  - максимальне значення поздовжнього проковзування для зчіпної характеристики. Прослизання  $S_{x\max}$  обмежено величиною 100%.

Вводимо масштабну корекцію типової характеристики коефіцієнтів зчеплення: де індекс 12 відповідає куту уводу  $12^\circ$ . Корекція задає лінійне вертикальне усунення другої ділянки характеристики (див. рис. 3.1) [26]

$$\delta_T = (\delta - \delta_{kp}) \frac{\delta_{\max} - \delta_{kpT}}{\delta_{\max} - \delta_{kp}} + \delta_{kpT}; \quad (3.7)$$

$$S_{xT} = (S_x - S_{xp}) \frac{S_{\max} - S_{xpT}}{S_{\max} - S_{xp}} + S_{xpT}. \quad (3.8)$$

### 3) Розрахунок оціночних властивостей шини.

Для побудови зчіпних характеристик шини потрібно мати значення оціночних параметрів шини  $\varphi_{y\max}$ ,  $\varphi_{y12}$ ,  $\delta_{kp}$ ,  $\varphi_{x\max}$ ,  $\varphi_{x0}$  і  $S_{xp}$ . [26] Процедура обчислення цих значень залежить від якості вихідної інформації. У роботі значення параметрів обчислюються таким чином. Спочатку початковий і кінцевий ділянки характеристики багаторазово згладжуються прямою лінією по п'яти точках. Потім вся характеристика багаторазово згладжується поліномом третього ступеня по семи точках. Значення  $\varphi_{y\max}$  і  $\varphi_{x\max}$  знаходяться як максимальні

значення, значення  $\phi_{y12}$  і  $\phi_{xb}$  і розраховуються як середні за кількома останніми точками.

### 3.1.2 Опис характеристики бокового відведення

#### 1) Побудова типової властивості шини.

Для побудови типової характеристики  $\bar{\xi}_y(\delta_T)$  використовуємо нормовані характеристики шести шин різних моделей, отримані під час пошукового експерименту. Випробовувалися зимові шини розмірами 183/70 R14, 193/63 R13 та всесезонні шини розміром 183/70 R16. Враховувався вплив факторів: нормальногонавантаження рв тиску повітря в шині  $V_k$  поступальної швидкості колеса  $t_L$  температури льоду  $h_L$  товщини льоду та  $\delta$  швидкості повороту колеса

Розмахи варіювання факторів мали такі значення:

- нормальненавантаження на колесо  $P_z$  [кН]
- поступальна швидкість колеса [км/год] 23...73;
- температура льоду  $t_L$  [ $^{\circ}$ C] -2,3...-7,3;
- товщина льоду  $h_L$  [мм] 0,8. 1,6;
- швидкість повороту колеса  $\delta$  [ $^{\circ}$ /с] 1,3. 3,3.

На Рисунку 3.2 [27] представлено тридцять експериментальних нормованих характеристик бокового відведення, отриманих за методикою, викладеною у п. 3.3.

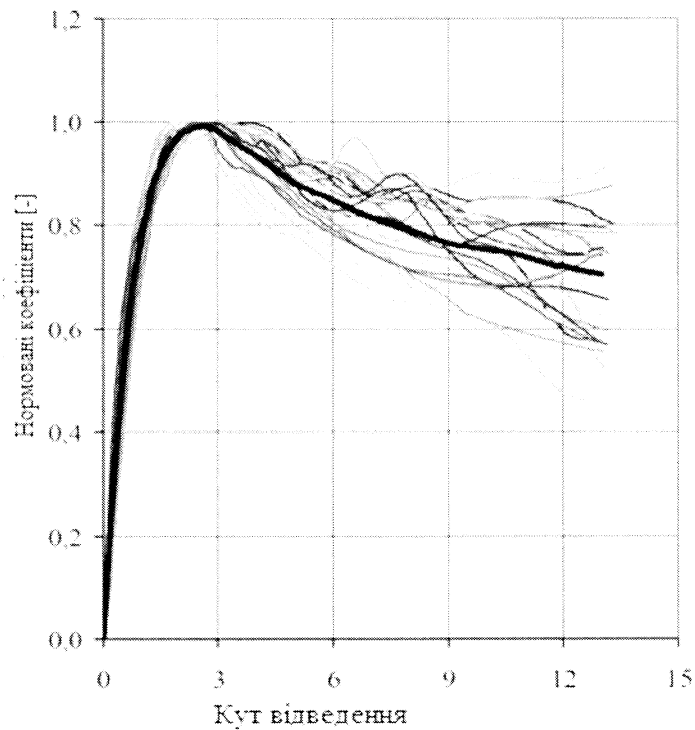


Рисунок 3.2 - усереднення нормованих характеристик бічного відведення

Потовщенна крива відповідає середнім арифметичним значенням всіх параметрів. Функція, що апроксимує цю криву, і є типовою характеристикою бокового відведення. Особливістю характеристики є суттєве зниження зчеплення після досягнення критичного кута відведення.

2) Вибір функції для типової характеристики [27].

$$\xi_y(\delta_T) = D \sin \left[ C \arctan \left\{ (1 - E) \delta_T + (E / B) \arctan (B \delta_T) \right\} \right],$$

де  $B, C, D, E$  - «постійні» коефіцієнти

Як приклад на рис. 3.3 [27] показано два рішення, що утворюються під час розрахунку коефіцієнтів функції. Крива 1 відбуває правильне рішення, а крива 2 - хибне рішення.

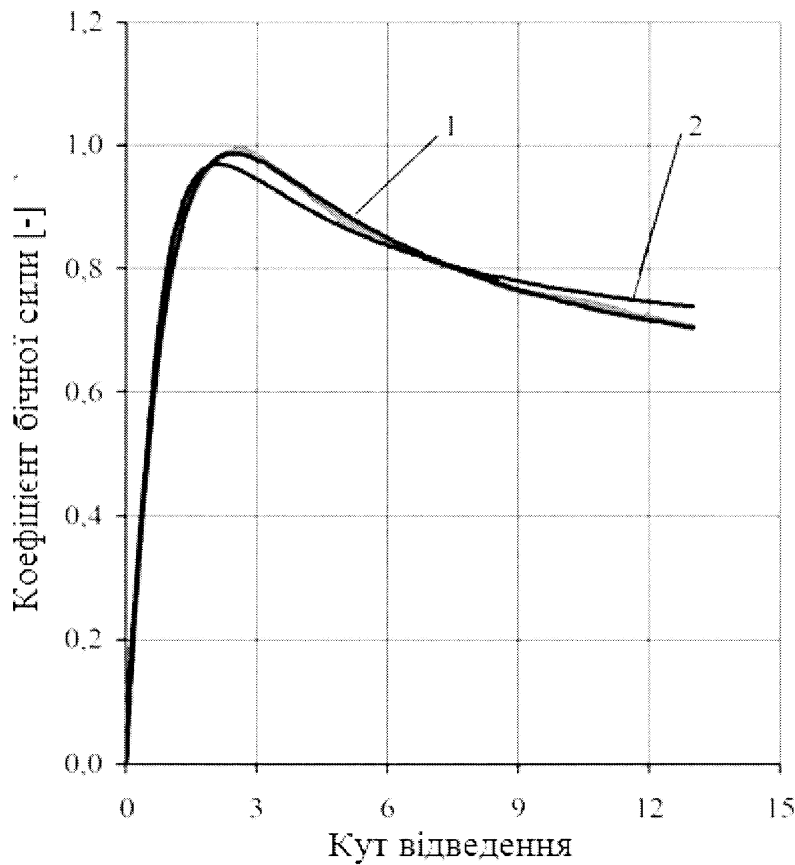


Рис. 3.3 - Апроксимація усередненої характеристики бічного відведення функцією з роботи:

1 – правильне рішення; 2 - хибне рішення.

3) Розрахунок коефіцієнтів функції типової показники.

Методом покоординатного спуску [28] розраховані такі значення коефіцієнтів:

$$B = -11,07; C = 1,63434; D = 0,98389; E = 0,44367.$$

4) Лінійна корекція типової характеристики.

Для корекції використані формули (3.1)...(3.8).

3) Розрахунок оціночних властивостей шини.

Для розрахунку параметрів складено програму в математичному пакеті Maple

### 3.2 Розробка математичного опису процесу теплопередачі в контакті шини з покриттям із льоду

Відомо, що при русі колеса з відведенням або при гальмуванні в контакті шини з покриттям виділяється значна кількість енергії, що призводить до зростання

температур поверхонь, що контактиують. Тому були виконані пробні випробування шин на стенді на покритті з льоду різної товщини та встановлено наступне: при випробуваннях шини температура льоду збільшується зі збільшенням його товщини.

Однак експериментальні дослідження дозволили лише орієнтовно оцінити вплив на температуру покриття з льоду різних факторів. Більш надійні дані можна отримати лише розрахунковим шляхом.

Нижче температура покриття розраховується методом кінцевих елементів за відомими в літературі тепловими характеристиками льоду та металевого барабана.

### 3.2.1 Розрахункова модель

Покриття з льоду представляємо у вигляді тонкого кільця значної ширини та великої довжини кола (Рисунок 3.4).

Внутрішнім шаром покриття стикається з барабаном. По зовнішньому шару покриття котиться шина. У контакті шини із покриттям виділяється теплова енергія тертя. Одна частина енергії тертя передається покриттю, інша частина – шині. Від зовнішнього шару покриття теплота передається охолодному повітря, від внутрішнього - барабану.

Зв'язок між тимчасовими та просторовими змінами температури в будь-якій точці середовища виражається відомими рівняннями тепlopроводу Фур'є-Кірхгофа [29]. В їх основу покладено закон збереження енергії:

$$\frac{\partial t}{\partial \tau} = \frac{\lambda}{c_p p} \left( \frac{\partial^2 t}{\partial x^2} + \frac{\partial^2 t}{\partial y^2} + \frac{\partial^2 t}{\partial z^2} \right),$$

де  $t$  – температура точки;  $x, y, z$  – координати точки;  $\tau$  – час;  $\lambda$  – коефіцієнт тепlopровідності речовини,  $c_p$  - теплоємність речовини при постійному тиску,  $p$  – щільність речовини.

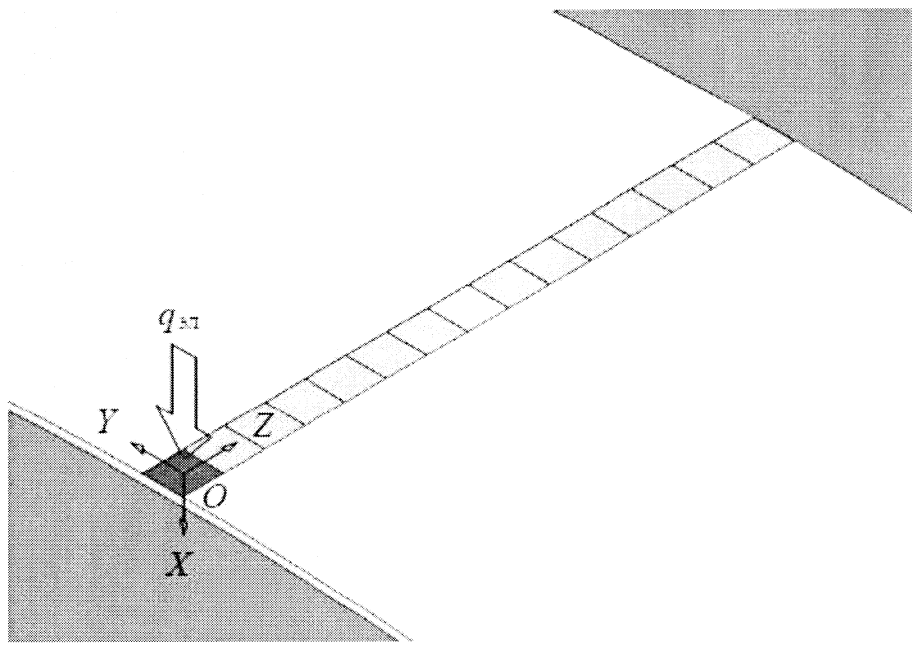


Рис. 3.4 - Розбиття покриття з льоду на елементи

Приймаємо таку систему координат (див. Рисунок 3.4) [29]: вісь  $OX$  направляємо до барабана,  $OY$  - назустріч вектору швидкості барабана,  $OZ$  - вправо, по ширині покриття. Приймаємо ширину  $b_6$  покриття 0,13 м, враховуючи ширину бігової доріжки шин легкових автомобілів. Довжину покриття  $l_6$  знаходимо за відомим діаметром барабана:  $l_6 = 3$  м. Товщину покриття  $h_l$  обмежуємо величиною 0,003 м (3 мм). Довжину плями контакту покриття із шиною  $l_k$  приймаємо 0,2 м.

Запишемо основні припущення. Вважаємо, що тепловий потік рівномірно розподілений по ширині покриття і нехтуємо передачею теплоти вздовж осі  $OZ$ . Вважаємо, що тепловий потік, що відводиться охолодному повітрі, рівномірно розподілений по довжині покриття за вирахуванням довжини вікна, через яке підводиться шина.

Приймаємо тепlopровідність матеріалу барабана 43,4 Вт/(м<sup>°</sup>С) - сталь, тепlopровідність льоду - 2,23 Вт/(м<sup>°</sup>С), питому теплоємність сталі - 460 кДж/(кг<sup>°</sup>С), питому теплоємність льоду - 2,1 кДж/(кг<sup>°</sup>С). Приймаємо довжину швидкість барабана:  $V_6 = 30$  км/год (13,9 м/с) [30].

### 3.2.2 Границні умови

Визначимо спочатку граничні умови першого роду, що задають розподіл температур на поверхні покриття.

Сталевий біговий барабан має велику масу, і в порівнянні з льодом має в 20 разів більшу теплопровідність. Це дозволяє прийняти температуру внутрішнього шару покриття постійної і рівної заданої температурі барабану  $t_b$ . Процес передачі теплоти всередині самого барабана не розглядаємо. Початкову температуру зовнішнього шару покриття приймаємо рівною температурі барабана  $t_b$ .

Визначимо тепер граничні умови другого роду, що задають густини теплових потоків на поверхні покриття.

Розглянемо відведення теплоти від зовнішнього шару покриття до повітря, що охолоджує.

Усередині кожуха барабана швидкості повітряних потоків розподілені складно і для спрощення розрахунків приймаємо швидкість обдування покриття повітрям рівної окружної швидкості барабана  $V_b$ . Кривизною поверхні нехтуємо та розраховуємо теплопередачу як при обтіканні плоскої пластини.

Довжину покриття  $l_n$ , що стикається з повітрям, приймаємо 4,3 м, віднімаючи довжину вікна для підведення колеса. Приймаємо турбулентний режим течії

прикордонному шарі. Задаємо температуру повітря  $t_B = -9^{\circ}\text{C}$ , і з роботи беремо коефіцієнт теплопровідності повітря  $\lambda_B = 2,3640 \cdot 10^{-2} \text{ Вт}/(\text{м}^{\circ}\text{C})$ , кінематичний коефіцієнт в'язкості -  $\nu_B = 12,4340 \cdot 10^{-6} \text{ м}^2/\text{s}$  [31]

Знаходимо число Рейнольдса:

$$Re_{\frac{l}{\delta}} = \frac{V_b l}{\nu_B} = \frac{13,9 \cdot 4,5}{12,43 \cdot 10^{-6}} = 5,03 \cdot 10^6.$$

Знаходимо число Нуссельта [32]:

$$\overline{Nu}_{\frac{l}{\delta}} = 0,032 Re_{\frac{l}{\delta}}^{0,8} = 0,032 \cdot (5,03 \cdot 10^6)^{0,8} = 7,35 \cdot 10^3.$$

Обчислюємо коефіцієнт тепловіддачі [32]:

$$\bar{a} = \frac{\overline{Nu}_{\text{л}} \lambda_{\text{л}}}{l_{\text{п}}} = \frac{7.35 \cdot 10^3 \cdot 0.0236}{4.5} = 38.6 \frac{\text{Вт}}{\text{м}^2 \cdot ^\circ\text{C}}.$$

Розраховуємо тепловий потік від зовнішнього шару покриття до повітря:

$$q = \bar{a} F \Delta t = \bar{a} b_5 l_{\text{п}} (t_{\text{л}} - t_{\text{в}}), \quad (3.9)$$

де  $t_{\text{л}}$  – температура льоду.

Розглянемо підведення теплоти до зовнішнього шару покриття із зони контакту із шиною.

Задаємо режим руху колеса зі змінним кутом уводу, який застосовується при вимірюванні характеристики бічного уводу. У цьому режимі контакту шини з покриттям виділяється найбільша кількість теплоти. Процес випробування шини поділяємо на два етапи.

1) Підведення колеса до барабана та навантаження нормального навантаження.

Час, протягом якого комп'ютером встановлюється задане навантаження, приймаємо за наслідками експериментів рівним 23 с. На цьому етапі колесо котиться без відведення. За даними роботи приймаємо коефіцієнт  $f$  опору коченню шини 0,023.

Знаходимо кількість теплоти, що передається до одиниці площини покриття, за інтервал часу  $t$  [32]:

$$Q_{\text{шт}} = \frac{f P_z V_f k_f}{l_5 b_6 \tau n},$$

де  $f$  – коефіцієнт опору коченню шини;  $P_z$  – нормальне навантаження на колесо,  $H$ ;  $k_f$  – коефіцієнт у частках одиниці, що враховує, яка частина витраченої на подолання опору коченню енергії передається покриттю;  $n$  – частота обертання барабана, 1/с.

2) Поворот колеса на кут відведення вліво та вправо.

Орієнтуючись на експериментальні дані обмежуємо максимальний кут відведення величиною 12 °. Швидкість зміни кута відведення приймаємо постійною. Інтервал часу повороту колеса від 0 до 12 ° приймаємо 3 с.

Для розрахунку використовуємо експериментальну характеристику бокового відведення з роботи для шини розміром 183/70 R14. Основні параметри характеристики наведено у табл. 3.1 [33]. Залежність бічної сили  $P_y$  від кута уводу  $\delta$  апроксимуємо двома лініями в діапазоні від  $\delta = 0$  да  $\delta = \delta_{kp}$  (критичного кута відведення) і діапазон від  $\delta > \delta_{kp}$  до  $\delta \leq 12^\circ$ :

$$P_y = \frac{\delta}{\delta_{kp}};$$

де  $P_{y_{max}}$  – максимальне значення  $P_y$ ;

$$P_y = P_{y_{max}} - (P_{y_{max}} - P_{y12}) \frac{\delta - \delta_{kp}}{\delta_{max} - \delta_{kp}}$$

де  $P_{y12}$  – значення  $P_y$  при  $\delta = \delta_{y_{max}} = 12^\circ$ .

Табл. 3.1 - Параметри характеристики бокового відведення шини 183/70 R14

$P_z$ [Н]	$P_{y_{max}}$ [Н]	$P_{y12}$ [Н]	$\delta_{kp}$ [°]
2131	383	331	3,0
4630	738	637	2,2
6839	1043	789	2,6

Значення  $P_{y_{max}}$  збільшуємо у розрахунку на 10%, щоб коректніше врахувати плавну форму характеристики.

Знаходимо кількість теплоти, що передається до одиниці площі покриття, за інтервал часу  $\tau$  [32]:

$$Q_{\text{зд}} = \frac{P_y \sin(\delta) V_e k_6}{l_e b_e \tau n},$$

де  $k_6$  - коефіцієнт, у частках одиниці враховує, яка частина що виділилася контакті з шиною енергії передається покриттю.

Сумарна кількість теплоти  $Q_{3J}$ , що передається до одиниці площини покриття, складається тепер з двох складових [32]:

$$Q_{3J} = Q_{3w} + Q_{3i} = \frac{P_s \sin(\beta) V_e k_i + f P_s V_e k_f}{l_e b_e \pi n} \quad (3.10)$$

Відомо, що збільшення коефіцієнта теплопровідності дорожнього покриття істотно знижує температуру протектора шини. У роботі вказано, що тепловий потік  $q$  в контакті двох по нескінчених тел поділяється на два потоки  $q_1$  і  $q_2$ . Величини потоків залежать від коефіцієнтів теплопровідності та температуропровідності тіл [32]:

$$\frac{q_1 \sqrt{\alpha_1}}{\lambda_1} = \frac{q_2 \sqrt{\alpha_2}}{\lambda_2}, \text{ і } q_1 + q_2 = q.$$

де  $\alpha_1$ ,  $\alpha_2$  - коефіцієнти температуропровідності,  $\lambda_1$ ,  $\lambda_2$  - коефіцієнти теплопровідності.

Приймемо, що індекс 1 відповідає льоду, а індекс 2 шині і запишемо відношення теплових потоків [33]:

$$\frac{q_1}{q_2} = \frac{\lambda_2}{\lambda_1} \sqrt{\frac{\alpha_2}{\alpha_1}}.$$

При  $\lambda_1 = 2,23 \text{ Вт}/(\text{м}^\circ\text{C})$ ,  $\lambda_2 = 0,163 \text{ Вт}/(\text{м}^\circ\text{C})$ ,  $\alpha_1 = 1,087 \cdot 10^{-6} \text{ м}^2/\text{с}$  та  $\alpha_2 = 0,098440 \cdot 10^{-6} \text{ м}^2/\text{с}$  тепловий потік, спрямований в лід, приблизно в чотири рази більше, ніж у шину. Тобто льоду передається 80% теплоти, що виділилася в контакті.

За наявними у літературі даними, 93 % енергії, витрачається на кочення колеса, виділяється у шині, і лише 3 % - у контакті [33].

При коченні колеса з уведенням в контакті виділяється значно більше енергії через прослизання елементів протектора. Цієї кількості енергії достатньо, щоб розплавити поверхневий шар льоду. Можна припустити, що плівка води, що утворюється в контакті, поділяється на наступні частини: частина прилипає до шини, частина видаляється від центральних сил, частина випаровується, частина

замерзає на покритті. Визначити розрахунковим шляхом поділ усієї кількості води на ці частини неможливо. Тому для розрахунку максимального нагрівання покриття приймемо, що вся передана льоду теплота відводиться до охолодного повітря і барабана. У реальних умовах випробувань кількість теплоти буде меншою на величину, яку забере віддалена і випарувана вода.

Грунтуючись на вищевикладених даних, приймаємо в розрахунках коефіцієнт  $k_f = 0,03 \cdot 0,80 = 0,04$ . Коефіцієнт  $k_\delta = 0,80$  [33].

Границні умови третього роду задають закон теплопередачі між поверхнею тіла та середовищем. Ці умови у розрахунку не використовуються.

## **ІІ РОЗДІЛ**

### **ПРАКТИЧНА ЧАСТИНА**

## **1. ЗАГАЛЬНІ ПОЛОЖЕННЯ**

Дипломна робота на тему «Капітальний ремонт автомобільної дороги загального користування місцевого значення «С050724 Криворіжжя - /на Костянтинівку/ на ділянці км 31+900 - км 36+600 із впровадженням заходів покращення умов безпеки руху автомобілів у зимовий період» виконана у відповідності з діючими нормами і правилами:

- ЗУ «Про регулювання містобудівної діяльності»;
- ЗУ «Про основи містобудування»;
- ЗУ «Про архітектурну діяльність»;
- ЗУ «Про охорону навколошнього природного середовища»;
- ЗУ «Про благоустрій населених пунктів»;

## **2. КЛІМАТИЧНІ УМОВИ**

За природно-кліматичними характеристиками територія, що проєктується входить до ІІ дорожньо-кліматичної зони.

Клімат району помірно-континентальний.

Літо жарке, тепла погода продовжується з травня по жовтень.

Зима помірно м'яка, коротка.

Згідно Довідника №5 “Кліматичні характеристики та кліматичне районування території України для розрахунку нежорсткого дорожнього одягу” [4] використані наступні кліматичні показники:

- середня температура повітря за рік +8,1°C;
- мінімальна температура повітря -5,2°C;
- максимальна температура повітря +21,2°C;

Дати переходу середньодобової температури:

- через 0°C - 01.03 та 13.12;
- через 10°C - 3.04 та 12.10.

Згідно ДСТУ-Н Б В.1.-27:2010 “Будівельна кліматологія” [34] використані наступні кліматичні показники:

- переважаючий напрямок вітрів – східний – 27%, південно-східний – 22%;
- пануючі вітри східного напряму, швидкість до 5,2 м/сек.
- річна кількість опадів складає 522 мм.
- середня відносна вологість повітря в середньому складає 74% за рік.

Згідно рис. 7.2 ГБН В.2.3-37641918-559:2019 [35] глибина промерзання ґрунту складає 0,90 м.

Згідно рис. 9.1 ДБН В.1.2-2:2006 [37] вітрове навантаження складає - 500 Па.

Згідно рис. 8.1 ДБН В.1.2-2:2006 [37] снігове навантаження складає – 1475 Па.

### **3. ТЕХНІКО-ЕКОНОМІЧНА ЧАСТИНА**

Автомобільна дорога загального користування місцевого значення «C050724 Криворіжжя - /на Костянтинівку/ на ділянці км 31+900 - км 36+600» займає важливе значення у транспортній системі Донецької області.

Існуючий стан дороги не дозволяє пропускати очікуваний транспортний потік з розрахунковими швидкостями, розрахунковим модулем міцності відповідно до 115 кН, завданням комфортом і безпекою руху, тому необхідно виконати капітальний ремонт дороги.

Згідно таблиці В.1 М 218-03450778-652:2008 [37] підсумковий коефіцієнт аварійності -  $K_{av} = 20$ .

Згідно виконаному обліку руху та аналізу виконаних раніше проектів середньорічна інтенсивність руху складає 1114 авт/добу. На 20-ти річну перспективу інтенсивність руху очікується в межах 1757 авт/добу. В тому числі: великовагових – 1155 авт/добу, легкові – 397 авт/добу, автобуси – 205 авт/добу.

#### **Техніко-економічні показники**

Показники	Од. виміру	Кількість
Вид будівництва		Капітальний ремонт
Категорія автомобільної дороги		III
Значення автомобільної дороги		Місцевого значення
Клас наслідків (відповідальності)		СС2
Група розрахункового навантаження на вісь		A <sub>2</sub>
Тривалість експлуатації	років	15
Розрахункова швидкість руху: - ПК 319+00 – ПК 352+80, ПК 361+30 - ПК 366+00 - ПК 352+80 – ПК 361+30	км/год	90

		70
Перспективна інтенсивність руху на 15 річну перспективу	авт/добу	1498
Будівельна довжина дороги	км	4,807
Кількість смуг руху	шт	2
Ширина смуги руху	м	3,50
Ширина узбіччя, у тому числі:	м	2,50
- ширина укріпленої смуги	м	0,50
Мінімальний радіус кривої в плані	м	750
Максимальний поздовжній ухил	%	67
Мінімальні радіуси вертикальних кривих:		
- опуклих	м	2100
- увігнутих	м	2100
Кількість примикань	шт	5
Кількість кутів повороту	шт	8
Тип конструкції дорожнього одягу	Капітальний	
Тип верхнього покриття	Асфальтобетон. АСГ.Др.Щ.А.НП.І БМКП 60/90-65	
Тривалість будівництва	місяць	12

## **4. ПОЗДОВЖНІЙ ПРОФІЛЬ**

Поздовжній профіль запроектовані у відповідності до вимог ДБН В.2.3-4:2015 «Автомобільні дороги» [38],[69] рельєфу місцевості залежно від розрахункової швидкості. Поздовжній профіль запроектований в абсолютних відмітках (в Балтійській системі висот). Прокладання проектної лінії поздовжнього профілю виконувалося у відповідності з геологічними і гідрологічними особливостями місцевості та з врахуванням існуючого поздовжнього профілю проектних ділянок.

Елементи поздовжнього профілю запроектовані виходячи з розрахункової швидкості руху 90 км/год та 70 км/год.

Робоча відмітка по осі існуючого дорожнього одягу прийнята ПК 319+00 до ПК 352+80 - 0,22 м. На ПК 352+80 – ПК 366+00 – 0,00 м.

Основні техніко-економічні показники поздовжнього профілю:

Максимальний поздовжній ухил – 67 %;

Мінімальні радіуси вертикальних кривих:

- увігнутих – 2100 м;
- випуклих – 2100 м.

### **4.1 Побудова червоного профілю та розрахунок вертикальних кривих**

Проектну лінію наносять вище поверхні землі на величину керівної робочої відмітки п можливості паралельно до неї. Такий метод нанесення проектної лінії називають проектуванням за обвідною. На крутых спусках (підйомах) ухили поверхні землі іноді перевищують максимально допустимі ухили автомобільної дороги. У цьому разі проектну лінію наносять за січною.

Метод проектування за обвідною порівняно з методом за січною має ряд переваг: мінімум земляних робіт, зручні умови для роботи дорожньо-будівельних машин, забезпечення стійкості земляного полотна проти дії на нього води, виключення малих виїмок, які заносяться снігом. Прокладання ділянок у виїмках

потрібно зводити до мінімальної довжини. Для забезпечення поверхневого стоку води проектну лінію у виїмках слід наносити з ухилом не менше 5 о/оо . Проектування горизонтальних ділянок, а також використання увігнутих вертикальних кривих у виїмках не допускається.

Необхідно, щоб проектна лінія автомобільної дороги, яка перетинає в одному рівні залізницю, була горизонтальною на рівні головок рейок.

Довжина горизонтальної площинки в зоні залізничного проїзду має бути щонайменше 2 м від крайньої рейки. Підходи автомобільної дороги до перетину протягом 50 м слід проектувати з поздовжнім ухилом щонайбільше 30 о/оо . Вертикальні відстані від проводів повітряних телефонних та телеграфних ліній до проїзної частини в місцях перетину з автомобільними дорогами мають перевищувати 5,5 м (у теплі пори року). Перевищення проводів при перетині електропередачі має бути щонайменшим: при напрузі до I кВ – 6,0 м; до 110 Кв – 7,0 м; до 500 кВ – 9,0 м; до 750 кВ – 16 м [39]. Після встановлення висотного положення контрольних точок переходят до нанесення проектної лінії.

Проектну лінію завтовшки 1 мм наносять червоним кольором.

В даному проекті виникає потреба вписати 4 вертикальні криві у злами поздовжнього профілю.

Розрахунок вертикальної увігнутої кривої

Перелом поздовжнього профілю утворений ухилами та на ділянці довжиною L = 400 м. В даний перелом необхідно вписати криву радіуса R = 30000 м (рис.4.1) [40]. H<sub>1</sub> = 99,11 м; H<sub>2</sub> = 99,17 м.

1) Визначаємо довжину вертикальної кривої за формулою [40]:

$$l_k = (i_1 + i_2) \cdot R. \quad (4.1)$$

$$l_k = (0,005 + 0,00475) \cdot 30000 = 292,5 \text{ м}$$

Тоді пікетажне положення для початку вертикальної увігнутої кривої становить:

$$\text{ПК} = \frac{L}{2} - \frac{l_k}{2} = \frac{400}{2} - \frac{292,5}{2} = 53,75 \text{ м} \quad (4.2)$$

Пікетажне положення для кінця вертикальної увігнутої кривої становить:

$$КК = \frac{L}{2} + \frac{l_k}{2} = \frac{400}{2} + \frac{292,5}{2} = 346,25 \text{ м} \quad (4.3)$$

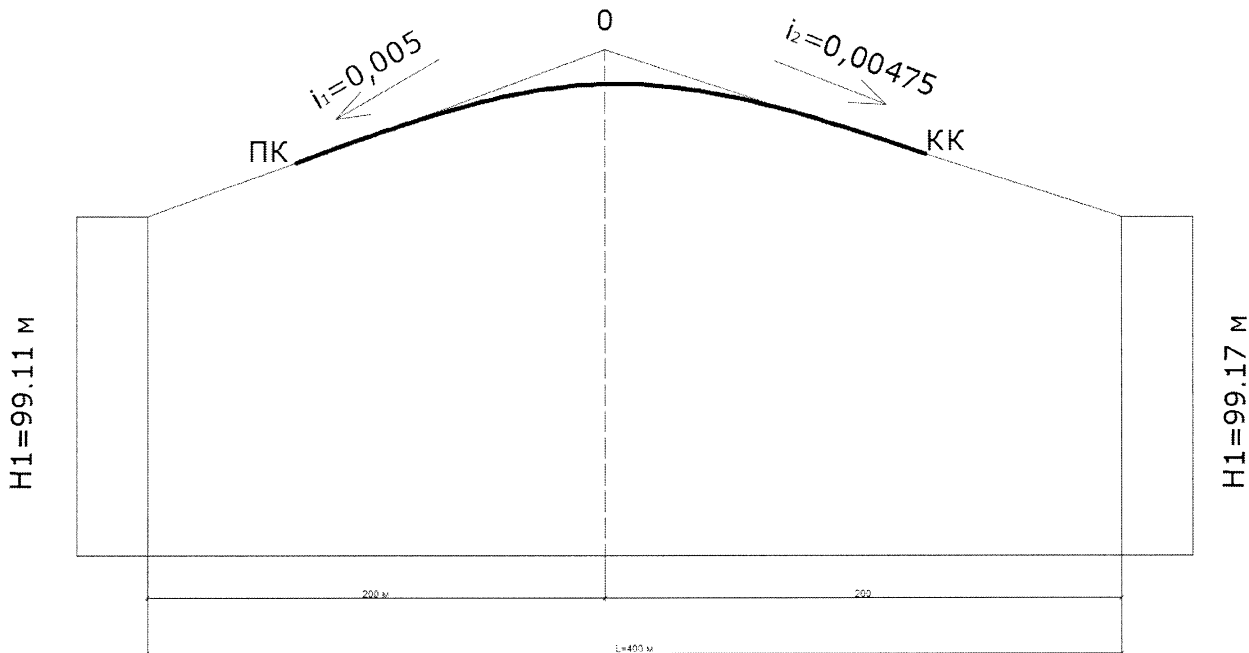


Рис. 4.1 Схема до розрахунку проектних відміток вертикальної кривої  
Виконуємо розрахунки відміток точок.

Визначаємо відмітку початку вертикальної кривої:

$$H_{PK} = H_1 + 53,75 \cdot 0,005 = 99,38 \text{ м} \quad (4.3)$$

Визначаємо відстань від початку кривої до вершини кривої:

$$l^{\text{верш}} = i_1 \cdot R = 0,005 \cdot 30000 = 150 \text{ м} \quad (4.4)$$

Перевищення початку кривої над її вершиною становить:

$$h^{\text{верш}} = \frac{l^2}{2 \cdot R} = \frac{150^2}{2 \cdot 30000} = \frac{22500}{60000} = 0,38 \text{ м} \quad (4.5)$$

Відмітка вершини кривої становить:

$$H_{BK} = H_{PK} + h^{\text{верш}} = 99,38 + 0,38 = 99,76 \text{ м} \quad (4.6)$$

Відстань від вершини кривої до кінця кривої становить:

$$l^{KK} = i_2 \cdot R = 0,00475 \cdot 30000 = 142,5 \text{ м} \quad (4.7)$$

Перевищення кінця кривої над її вершиною становить:

$$h_{KK} = \frac{l^2}{2 \cdot R} = \frac{142,5^2}{2 \cdot 30000} = \frac{20306,25}{60000} = 0,34 \text{ м} \quad (4.8)$$

Відмітка кінця кривої становить:

$$H_{KK} = H_{BK} - h_{KK} = 99,76 - 0,34 = 99,42 \text{ м} \quad (4.9)$$

Зaproектований поздовжній профіль показаний на рис. 4.2 [40].

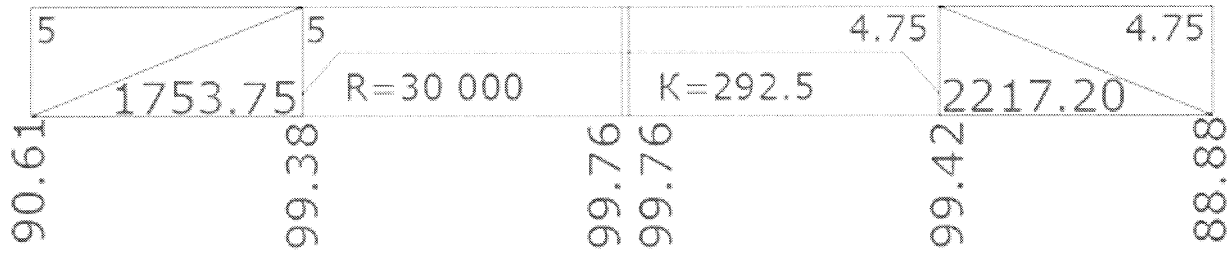


Рис. 4.2 Зaproектований поздовжній профіль на ділянці вертикальної кривої

## **5. ЗЕМЛЯНЕ ПОЛОТНО**

Земляне полотно ділянки запроектоване з урахуванням категорії дороги, висоти насипу, типу дорожнього одягу, властивостей ґрунту, які передбачається використовувати в земляному полотні, природних умов ділянки будівництва і найменшій шкоді навколишньому середовищу.

Геометричні параметри земляного полотна запроектовано відповідно до вимог ДБН 2.3.4-2015 [41]. Прийнято двоскатний тип поперечного профілю, з похилом 25 ‰ на проїзної частині та 50 ‰ на узбіччі. Ширина земляного полотна становить 12,00 м – 18,00 м. Висота земляного полотна до 5 м.

Проектом передбачено укріплення узбіччя ширину 2,00 м ІІІС С-7 та рослинним шаром ґрунту товщиною 0,15 м.

Грунт відсипки земляного полотна – суглинок.

До початку земляних робіт проект передбачає виконання підготовчих робіт – зняття рослинного шару ґрунту : біля підошви - 0,50 м; на укосах насипу – 0,15 м; на узбіччі – 0,15 м, його складування в тимчасовому відвалі (залишок транспортується у відвал) для наступного використання при укріпленні укосів насипу та узбіччя. Резерв існуючого ґрунту знаходиться на відстані до 30 км.

Проектом передбачено типи поперечного профілю конструкцій земляного полотна:

- Тип 1 – насип висотою до 2.00 м. Крутізна укосів 1:3;
- Тип 2 – насип висотою до 5.00 м.. Крутізна укосів 1:1,5 ;
- Тип 3 – напівнасип-напівиймка. Крутізна укосів 1:1,5;

## **6. ОБГРУНТУВАННЯ ЗАГАЛЬНОГО МІНІМАЛЬНОГО МОДУЛЯ ПРУЖНОСТІ КОНСТРУКЦІЇ ДОРОЖНЬОГО ОДЯГУ**

Розрахунок мінімального потрібного модуля пружності дорожнього одягу нежорсткого типу виконано у відповідності до ГБН В.2.3-37641918-559:2019 «Автомобільні дороги. Дорожній одяг нежорсткий. Проектування» [42].

Згідно табл. 6.1 Зміна №1 ДБН В.2.3-4:2015 [41] строк експлуатації дорожнього одягу складає 15 років.

В таблиці 1 наведені вихідні дані для розрахунку модуля пружності:

**Таблиця 6.1 – Вихідні дані для розрахунку модуля пружності**

Параметр	Значення
Категорія дороги	III
Адміністративна область	Донецька
Тип дорожнього одягу	капітальний
Розрахункове навантаження, кН	115
Розрахунковий тиск, МПа	0,9
Розрахунковий діаметр (динамічного навантаження), м	0,345
Дорожньо-кліматична зона	III
Кліматичний регіон за умовами роботи асфальтобетонного покриття	A-6

Кліматичний регіон за грунтово-геологічними умовами	III Р.10
Тип місцевості за умовами зволоження	1

В таблиці 6.2 наведено визначення добової та середньорічної добової інтенсивності руху на автомобільній дороги загального користування місцевого значення «С050724 Криворіжжя - /на Костянтинівку/ на ділянці км 31+900 - км 36+600».

Визначення проводилось згідно ДСТУ 8824:2019 «Автомобільні дороги. Визначення інтенсивності руху та складу транспортного потоку» [43].

**Таблиця 6.2 – Визначення добової та середньодобової інтенсивності руху**

Час обліку	Тривалість обліку, хв.т	Інтенсивність руху за час обліку		Середня інтенсивність руху за годину, тр.од/годину	Коефіцієнт зміни інтенсивності руху за місяцями року	Коефіцієнт зміни інтенсивності руху за годинами доби та днями тижня	Середньорічна добова інтенсивність руху, тр.од./добу, $N_1$	Коефіцієнт приведення транспортних засобів до легкового автомобіля	Середньорічна добова інтенсивність руху, прив.авт/добу	Коефіцієнт щорічного приросту інтенсивності руху	Розрахункова перспективна інтенсивність руху на приrostу інтенсивності руху 2036 р. (15-й рік	Розрахункова перспективна інтенсивність руху на 2036 р. ,прив.авт/добу
		по типах транспортних засобів	Разом									
11:00 – 13:00	120	Мотоцикли без коляски, мопеди	0	0,0	1,073	0,122	0	0,5	0	1,02	0	0

120	Мотоцикли з коляскою	0	0,0	1,073	0,122	0	0,75	0	1,02	0	0
120	Легкові автомобілі	33	16,5	1,073	0,122	252	1	252	1,02	339	339
120	ВА до 1т	13	6,5	1,073	0,122	99	1	99	1,02	133	133
120	ВА від 1 до 2 т	12	6,0	1,073	0,122	92	1,5	138	1,02	124	186
120	ВА від 2 до 6 т	6	3,0	1,073	0,122	46	2	92	1,02	62	124
120	ВА від 6 до 8 т	7	3,5	1,073	0,122	53	2,5	133	1,02	71	177,5
120	ВА від 8 до 14 т	9	4,5	1,073	0,122	69	3	207	1,02	93	279
120	ВА понад 14 т	8	4,0	1,073	0,122	61	3,5	214	1,02	82	287
120	Автопоїзди з причепом	8	4,0	1,073	0,122	61	3,5	214	1,02	82	287
120	Автопоїзди до 12 т	10	5,0	1,073	0,122	76	3,5	266	1,02	103	360,5
120	Автопоїзди від 12 до 20 т	13	6,5	1,073	0,122	99	4	396	1,02	133	532
120	Автопоїзди від 20 до 30 т	7	3,5	1,073	0,122	53	5	265	1,02	71	355
120	Автопоїзди понад 30 т	3	1,5	1,073	0,122	23	6	138	1,02	30	180
120	Мікроавтобуси	8	4,0	1,073	0,122	61	1,1	67	1,02	82	90,2
120	Автобуси	9	4,5	1,073	0,122	69	1,5	104	1,02	93	139,5
120	Великі автобуси	0	0,0	1,073	0,122	0	3	0	1,02	0	0
	<b>ВСЬОГО</b>	<b>146</b>	<b>73</b>	<b>-</b>		<b>1114</b>	<b>-</b>	<b>2585</b>	<b>-</b>	<b>1498</b>	<b>3470</b>

### Розрахунок дорожнього одягу нежорсткого типу

за методикою ГБН В.2.3-37641918-559 [42]

**(Тип А. Основний проїзд)**

Обчислюємо приведену інтенсивність до розрахункового навантаження на перший рік служби з урахуванням коефіцієнту, що враховує кількість смуг руху:

$$N1p = f_{\text{смути}} * (N1m * Sm) = 0.55 * (252*0.000 + 191*0.001450 + 99*0.16364 + 130*2.01127 + 61*2.21998 + 251*2.00307 + 61*0.00520 + 69*0.0445) = 505.68 \text{ авт/добу}$$

Обчислюємо приведену інтенсивність до розрахункового навантаження на останній рік служби:

$$Nt = N1p * q_{Tcl} - 1 = 505.68 * 1.02015 - 1 = 667.24 \text{ авт/добу}$$

Обчислюємо сумарну розрахункову кількість прикладень розрахункового навантаження:

$$Np = 0.7 * Trdr * Kn * Kc * N1p = 0.7 * 130 * 1.38 * 17.29 * 505.68 = 1098198 \text{ авт.}$$

де коефіцієнт суми:

$$Kc = q_{Tcl} - 1q - 1 = 1.02015 - 1.02020 - 1 = 17.29$$

Обчислюємо потрібний модуль пружності:

$$E_{pot} = 42.843 * ln(Np) - b = 42.843 * ln(1098198) - 315.68 = 280.23 \text{ МПа}$$

При заданих умовах розрахунку  $E_{min}$  більше  $E_{pot}$ . У розрахунок приймаємо  $E_{pot} = 280$  МПа.

**Розрахунок конструкції дорожнього одягу за допустимим пружнім прогином.**

(Розрахунок виконаний за номограмою ГБН В.2.3-37641918-559 [42])

**1) Розрахунок виконується для шару Хол. ресайл. + ММ+ комплексн. в'язуч. М20 (400)**

$$\frac{E_H}{E_B} = \frac{E_{pid}}{E_2} = \frac{129.17}{400.00} = 0.32; \frac{h_B}{D} = \frac{15.0}{34.50} = 0.43; \frac{E_{2заг}}{E_2} = 0.470; E_{2заг} = 0.470 * 400.00 = 187.97 \text{ МПа};$$

**2) Розрахунок виконується для шару А/б щільний БНД 70/100**

$$\frac{E_H}{E_B} = \frac{E_{pid}}{E_3} = \frac{187.97}{3200.00} = 0.06; \frac{h_B}{D} = \frac{10.0}{34.50} = 0.29; \frac{E_{3заг}}{E_3} = 0.106; E_{3заг} = 0.106 * 3200.00 = 339.89 \text{ МПа};$$

**3) Розрахунок виконується для шару Асфальтополімербетон щільний БМПА 60/90-53 на основі термопластів**

$$\frac{E_H}{E_B} = \frac{E_{pid}}{E_4} = \frac{339.89}{6000.00} = 0.06; \frac{h_B}{D} = \frac{5.0}{34.50} = 0.14; \frac{E_{4заг}}{E_4} = 0.074; E_{4заг} = 0.074 * 6000.00 = 441.32 \text{ МПа};$$

$$K_{\text{мц}} = \frac{E_{\text{заг}}}{E_{\text{потр}}} = \frac{441.32}{280.23} = 1.5748$$

Необхідний коефіцієнт міцності  $K_{\text{пр}}^{\text{Tp}} = 1.33$

$1.5748 > 1.33$  - умова виконана

**Розрахунок конструкції дорожнього одягу на опір монолітних шарів  
втомного руйнування від розтягу при згині.**

**1) Розрахунок на згин виконується для шару А/б щільний БНД 70/100**

Середньозважений модуль пружності шарів:

$$E_B = \frac{E_1 * h_1 + E_2 * h_2}{h_1 + h_2} = \frac{7000 * 5.0 + 4500 * 10.0}{5.0 + 10.0} = 5333.33 \text{ МПа}$$

$$\text{За відношеннями: } \frac{E_B}{E_H} = \frac{5333.33}{187.97} = 28.373 \text{ и } \frac{h_B}{D} = \frac{15.00}{34.50} = 0.43$$

За номограмі визначаємо:  $\overline{s}_r = 2.221 \text{ МПа}$

Розрахункова розрахункове напруження на розтяг :

$$s_r = \overline{s}_r * p * k_B = 2.221 * 0.80 * 0.85 = 1.510 \text{ МПа}$$

Обчислюємо граничне напруження на розтяг:

$$R_{3\Gamma} = R_p * k_m * k_T * k_{kp} = 8.506 * 0.95 * 0.85 * 0.319 = 2.191 \text{ МПа}$$

$$\text{де } R_p = R_{\text{лаб}} * (1 - t * V_m) = 9.80 * (1 - 1.32 * 0.10) = 8.506 \text{ МПа}$$

Коефіцієнт, який враховує вплив повторних навантаження у нерозрахунковий період. Ккп:

$$k_{kp} = k_{pr} * \sum N_p^{(-1/m)} = 4.00 * 1098198^{(-1/5.50)} = 0.319$$

$$K_{\text{мц}} = \frac{R_{3\Gamma}}{s_r} = \frac{2.191}{1.510} = 1.4509$$

Необхідний коефіцієнт міцності  $K_{\text{мц}}^{\text{потр}} = 1.29$

$1.4509 > 1.29$  - умова виконана

$$\text{Запас міцності} = \frac{K_{\text{МЦ}} - K_{\text{МЦ}}^{\text{потр}}}{K_{\text{МЦ}}} * 100\% = \frac{1.4509 - 1.29}{1.4509} * 100\% = +11\%$$

**Розрахунок за умовою згину монолітних основ (напівжорстких).**

**1) Розрахунок на згин виконується для шару Хол. ресайл.+ ММ+ комплексн. в'язуч. М20 (400)**

Модуль пружності верхнього шару моделі обчислюють як середньозважені

$$E_B = \frac{E_1 * h_1 + E_2 * h_2}{h_1 + h_2} = \frac{7000 * 5.0 + 4500 * 10.0}{5.0 + 10.0} = 5333.33 \text{ МПа}$$

Визначаємо значення розрахункового монолітного шару:

$$E_2 = 400.00 \text{ МПа}$$

Визначаємо еквівалентний модуль однорідного напівпростору під розрахунковим шаром:

$$E_3 = 129.17 \text{ МПа}$$

$$\text{За відношеннями: } \frac{E_1}{E_2} = \frac{5333.33}{400.00} = 13.333, \frac{E_2}{E_3} = \frac{400.00}{129.17} = 3.097 \text{ і } \frac{h_B}{D} = \frac{30.00}{34.50} = 0.87$$

За номограмі визначаємо:  $\bar{s}_r = 0.175 \text{ МПа}$

Розрахункова розрахункове напруження на розтяг :

$$s_r = \bar{s}_r * p * k_B = 0.175 * 0.80 * 1.0 = 0.140 \text{ МПа}$$

Обчислюємо граничне напруження на розтяг:

$$R_{3\Gamma} = R_p = 0.250 \text{ МПа}$$

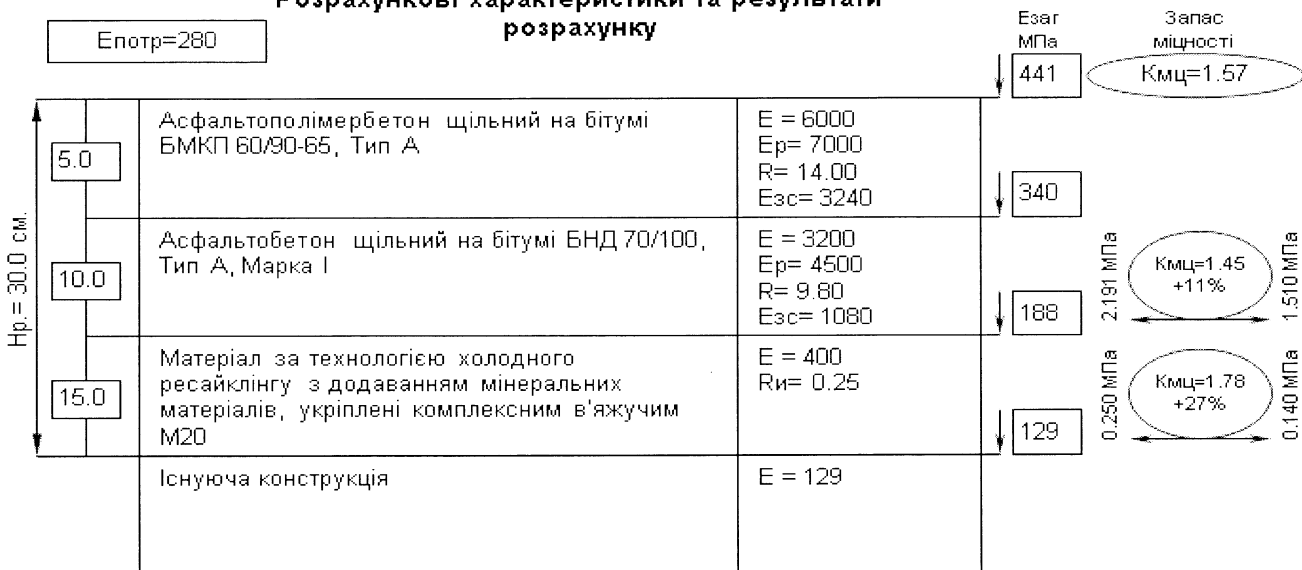
$$K_{\text{МЦ}} = \frac{R_{3\Gamma}}{s_r} = \frac{0.250}{0.140} = 1.7848$$

Необхідний коефіцієнт міцності  $K_{\text{МЦ}}^{\text{потр}} = 1.29$

$1.7848 > 1.29$  - умова виконана

$$\text{Запас міцності} = \frac{K_{\text{МЦ}} - K_{\text{МЦ}}^{\text{потр}}}{K_{\text{МЦ}}} * 100\% = \frac{1.7848 - 1.29}{1.7848} * 100\% = +27\%$$

**Розрахункові характеристики та результати розрахунку**



E, C, R - МПа; F - град.

## **7. ВОДОВІДВЕДЕНИЯ**

Водовідвід із проїзної частини передбачено за рахунок поздовжніх і поперечних профілів проїзної частини і земляного полотна, улаштування водоскидів згідно з типовим проектом серії 503-09-7.84 [46]. Вироби збірні прийняті згідно з типовим проектом серії 3.503.1-66 [47].

Скид води з проїзної частини відкритими лотками виконується за типом V-Б (при односторонньому поздовжньому ухилу) та за типом V-А (при двосторонньому поздовжньому ухилу) згідно арк. 44 типовий проект серії 503-09-7.84 [46].

Скиди води з проїзної частини здійснюються відкритими лотками на ПК 346+55, ПК 348+10, ПК 354+05, ПК 355+20, ПК 356+35, ПК 357+50, ПК 358+50, ПК 359+36, ПК 362+64, ПК 364+35 (ліворуч) та на ПК 346+55, ПК 348+10, ПК 354+05, ПК 355+20, ПК 356+35, ПК 357+50, ПК 358+56, ПК 359+36, ПК 360+06, ПК 360+56, ПК 361+06, ПК 361+56, ПК 362+64, ПК 364+35 (праворуч)[46].

Скид води по відкосу насипу відбувається телескопічними лотками Б-6 за територію земляного полотна на рельєф місцевості з влаштування гасителя.

Конструкція гасителя за типом I згідно арк. 46 типовий проект серії 503-09-7.84 [46].

Конструкція гасителя за типом II згідно арк. 46 типовий проект серії 503-09-7.84 [46].

Влаштування кюветів з укріпленням дна посівом трав передбачено на ПК 319+00 – ПК 319+63, ПК 320+14 – ПК 325+66, ПК 325+94 – ПК 334+16, ПК 334+45 – ПК 343+49 (ліворуч), та на ПК 319+00 – ПК 336+24 (праворуч).

Влаштування кюветів з укріпленням дна щебенем фр. 20-40 мм передбачено на ПК 343+49 – ПК 347+80 (ліворуч) та на ПК 363+50 – ПК 366+00 (праворуч).

Влаштування швидкотока із лотока Л1 передбачено на ПК 358+80 - ПК 362+48, ПК

362+80 - ПК 363+50 (праворуч).

Влаштування швидкотока із лотока Л2 передбачено на ПК 357+50 - ПК 358+65 (праворуч).

Проектом передбачено влаштування водопропускних споруд на приміканнях:

- Одноочкова труба ПЕ 800 (ПК 358+71 (праворуч)) довжиною 16,00м;

Під автомобільною дорогою знаходяться 1 існуюча водопропускна труба, робочим проектом передбачено її розчистку та оштукатурювання стін і оголовків.

## **8. ОРГАНІЗАЦІЯ ДОРОЖНЬОГО РУХУ**

### **8.1 Обґрунтування доцільності прийняття рішень**

Об'єкт дорожнього будівництва згідно положення ДСТУ 8855:2019 [60] відноситься до об'єктів транспортної мережі регіонального рівня.

До транспортного складу даного напрямку входять: легкові автомобілі, вантажний транспорт.

Для попередження та інформування водіїв передбачається встановлення попереджувальних та інформаційно вказівних знаків та нанесення розмітки.

### **8.2 Пропозиції щодо застосування ТЗОДР**

Типорозмір дорожніх знаків відповідно до ДСТУ 4100 “Знаки Дорожні” – II [56].

При установці дорожніх знаків необхідно керуватися положеннями ДСТУ 4100-2021 [56]. Корпус і зворотний бік знака, а також усі елементи кріплення повинні бути сірого кольору. Щитки знаків виготовлюють з листової сталі зі світловідбиваючої поверхнею.

Розмітка виконується згідно ДСТУ 2587:2021 [57]. Для розмітки використовуються фарби середньої густини. Товщина шару нанесення розмічальної фарби 0,6 мм.

Коефіцієнт зчеплення вологого покриття – не менше 0,45. Нормативна видимість розмітки днем – 90 м, вночі – 70 м.

Згідно вимог ДСТУ 8751:2017 [58] проектом передбачено влаштування бар'єрного огороження 11 ДО-128-0,75-1-0.7 на узбіччі при висоті насипу більше 2 м та при крутизні укосів насипу крутіше 1:3, з обох боків дороги.

Стійки огороження бар'єрного типу має бути розташовано на відстані 0,75 м до брівки земляного полотна. Лицьова сторона огороження бар'єрного типу має бути розташована від крайки проїзної частини на відстані не менше ніж 1 м.

Металеве бар'єрне огороження 11 ДО-128-0,75-2-1,0 виготовляється із оцинкованого заліза на металевих стовпчиках також із оцинкованого заліза, має наступні характеристики:

- Група Д0;
- Стремувальна здатність 128 кДж;
- Крок стояків 2,0 м;
- Поперечний прогин 1.0 м.

### 8.3 Відомість влаштування дорожніх знаків [56]

Номер згідно з ДСТУ 4100	Кількість, шт		
	Типорозмір		ДЗП
	I	II	
<b>Попереджувальні знаки</b>			
1.1		3	
1.23.1		5	
1.23.2		5	
1.3.1		3	
1.4.1		8	
1.4.2		8	
1.6		2	
1.7		2	
<b>Разом</b>		<b>36</b>	
<b>Знаки пріоритету</b>			
2.1		7	
2.4		1	
<b>Разом</b>		<b>8</b>	
<b>Заборонні знаки</b>			
3.25		2	
3.29		9	
3.42		1	
<b>Разом</b>		<b>12</b>	
<b>Інформаційно-вказівні знаки</b>			
5.16		8	
5.20.3		2	

5.53			4
5.60		5	
<b>Разом</b>		<b>15</b>	<b>4</b>
Таблички дорожніх знаків			
7.1.1		2	
7.2.1		3	
<b>Разом</b>		<b>5</b>	

#### 8.4 Зведена таблиця дорожньої розмітки [57]

Номер згідно з ДСТУ 2587:2010	Кількість місць, шт.	Довжина, м	Площа кольору, м <sup>2</sup>			
			білого	червоного	жовтого	синього
1	2	3	4	5	6	7
Горизонтальна розмітка						
1.1 (0,10)	-	12105,00	1211,00	-	-	-
1.5	-	2510,00	85,00	-	-	-
1.6	-	755,00	47,00	-	-	-
1.7	-	265	15	-	-	-
1.8	-	150,00	10,00	-	-	-
1.13	2	-	3,5	-	-	-
1.16.1	-	400,00	160,00	-	-	-
1.16.2	-	35,00	15,00	-	-	-
1.18	12	-	24,00	-	-	-
1.20	2	-	8,00	-	-	-
<b>Разом:</b>	<b>16</b>	<b>16220,00</b>	<b>1578,00</b>	-	-	-

#### 8.5 Таблиця напрямних пристрої та огорожень [58]

Найменування згідно ДСТУ Б В.2.3-12	Кількість, шт	Довжина, м
Огороження дорожнє бар'єрного типу 11ДО-128-0,75-2-1,3		1505
Напрямні стовпчики	51	

## **9. Технологія**

### **9.1 Розрахунок тривалості будівництва**

Розрахунок тривалості будівництва виконується згідно ДСТУ Б А.3.1-22:2013 "Визначення тривалості будівництва об'єктів" [61].

Роботи передбачаються виконувати

Тривалість робіт визначимо за формулою:

$T_6 = Q / (T \times N \times n)$ , де:

Q - трудомісткість роботи, люд-год;

N - кількість робітників у бригаді, чол.;

T - середньомісячна потреба робочого часу, люд-год;

n - кількість змін за добу.

тоді  $T_6 = 78266,04 / (166,17 \times 40 \times 1) = 12$  міс.

Таким чином, тривалість будівництва приймається рівним – 12 міс., в тому числі підготовчий період складає 2 міс., згідно ДСТУ Б А.3.1-22:2013 (15%) [61].

### **9.2 Організаційно-технологічна схема виконання робіт**

Організаційно-технологічна схема будівництва прийнята з розрахунку виконання будівельних робіт в одну чергу.

Всі роботи на об'єкті рекомендується виконувати поточним методом з максимальним суміщенням окремих потоків і видів робіт в часі. Всі приховані роботи підлягають освідченню з складанням актів по формі відповідно до ДБН А.3.1-5:2016 [62].

Вода для будівництва завозиться в цистернах. Для потреб будівельників вода завозиться бутильована належної якості. Для тимчасового електропостачання використовуються пересувні енергоустановки. Необхідну кількість стисненого повітря забезпечують пересувні компресори, кисень на майданчик завозиться в балонах.

Напрямок будівельного потоку прийнято від ПК 319+00.

Роботи виконуються захватками, на одній половині проїзної частини при систематичному русі транспорту на другій,  $k=1,2$ . При виконанні робіт на захватці передбачається обмеження руху автотранспорту в межах проїзної частини, на якій виконуються роботи.

Всі роботи введуться захватками для забезпечення проїзду до існуючої забудови. Межі захваток уточнюються підрядником на стадії ПВР. Для проїзду автотранспорту використовується друга сторона існуючої проїжджої частини.

Роботи передбачено виконувати виїзними бригадами, без влаштування місць складування вибухопожежонебезпечних матеріалів. Для забезпечення потреб робітників у місцях зберігання особистих речей, харчування, захисту від негоди передбачено використання пересувного побутового приміщення, яке повинне встановлюватись перед початком робочої зміни на початку захватки.

Капітальний ремонт дороги виконується в такій технологічній послідовності:

- підготовчі роботи;
- земляні роботи;
- влаштування кюветів;
- влаштування водовідвідних споруд;
- влаштування дорожнього одягу;
- влаштування бар'єрного огороження;
- нанесення горизонтальної розмітки;
- встановлення дорожніх знаків.

Роботи необхідно виконувати згідно проекту виконання робіт, який має містити календарні графіки, технологічні схеми, карти.

До початку основних будівельно-монтажних робіт повинна бути забезпечена підготовка будівельного виробництва, включаючи організаційні підготовчі заходи.

### **9.1.1 Підготовчі роботи**

Відповідно п. 6.3.3 ДБН А.3.1-5:2016 [62] етап підготовчих робіт включає наступні роботи:

- вишукувальні роботи – інженерно-геодезичні;
- розчистка придорожньої смуги від чагарнику та дріблолісся;
- демонтаж існуючих дорожніх знаків;
- розбирання існуючих залізобетонних стовпчиків;
- розбирання існуючого водопропускного лотка;

- розбирання існуючого прикрайкового лотка;
- фрезерування покриття;
- розбирання існюючого дорожнього одягу;
- зняття ґрунтового покриву земельної ділянки, складування його для подальшого використання;
- встановлення попереджувальних знаків та огорожі.

### **9.2.2 Основні будівельні роботи**

Основні будівельні роботи передбачають:

- земляні роботи;
- влаштування водовідвідних споруд;
- влаштування водопропускних споруд;
- влаштування кюветів;
- влаштування шару ЩПС С-7 оброблена цементом до марки М-20;
- влаштування нижнього шару з гарячих асфальтобетонних сумішей;
- розливання вяжучих матеріалів;
- влаштування верхнього шару з гарячих асфальтобетонних сумішей;
- влаштування бар'єрного огороження;
- влаштування горизонтальної розмітки;
- влаштування дорожніх знаків.

При визначенні методів виробництва основних робіт в проекті прийняті такі основні положення:

- застосування комплексної механізації при виконанні трудомістких робіт (земельних, монтажу, демонтажу конструкцій і т.д.);
- комплексне постачання матеріальних ресурсів з розрахунком на будівлю, споруду;
- виконання робіт поточним методом з дотриманням технологічної послідовності;

– будівництво ведеться з урахуванням обґрунтованого поєднання окремих видів робіт.

### **9.3 Обґрунтування методів виконання робіт та технічних рішень**

#### **9.3.1 Земляне полотно**

Влаштування земляного полотна автомобільних доріг складається з двох етапів:

- підготовчий (підготовчі роботи);
- безпосередньо зведення земляного полотна.

Перший етап – підготовчі роботи полягають в очистці дорожньої смуги від рослинності, каменів, валунів, що заважають виконанню робіт, а також в проведенні заходів по відведенню атмосферної води, осушені заболочених ділянок або пониженні рівня ґрунтових вод.

Очистка (очищення) дорожньої смуги розпочинають із видалення чагарників, дерев, якщо вони знаходяться на трасі майбутньої дороги.

При валці з корінням в ґрунті утворюються ями, які необхідно засипати однорідним (але не рослинним) ґрунтом з обов'язковим ущільненням, трамбуванням. Другий спосіб пов'язаний з видаленням пеньків, що залишилися після спилювання, якщо висота насипу менше двох метрів і висота пеньків понад 10 см.

До підготовчих робіт (якщо висота насипу менше 0,6 метрів) також відносяться зняття дернового покриття і рослинності землі. Їх видаляють в місцях основи земляного полотна і резервів на всю ширину.

При необхідності одночасно із зняттям дернового покриття і рослинного ґрунту виконують роботи по відведенню поверхневих вод від розроблюваних виїмок і резервів. З цією метою влаштовують водовідвідні канави.

Після розчистки дорожньої смуги на всіх її пікетах і плюсах виконують розбивку. Основне завдання розбивки – закріпити на місцевості всі характерні точки майбутнього

полотна. До цих точок відносяться: вісь і бровка насипу або виїмки, точки переходу насипу в виїмку, обидві кромки дна резерву, бокових канав тощо.

Розбивку насипів проводять з урахуванням запасу на осідання ґрунту, величини розширення земляного полотна, зниження робочих відміток за рахунок наступного улаштування корита. Всі елементи розбивки виконуються за допомогою геодезичних інструментів.

Зведення земляного полотна може виконуватись поздовжнім (переміщення ґрунту вздовж осі траси) або поперечним (переміщення ґрунту з резервів на земляне полотно) способом. Поздовжній спосіб, в цілому, більш раціональний, тому що він дозволяє виконувати пошарове ущільнення ґрунту. При цьому способі можна використовувати і різномірні ґрунти: в нижню частину насипу – глинисті водонепроникні, а в верхню – суглинки і далі піщані ґрунти.

Вибір того чи іншого способу укладки визначається можливостями засобів профілювання і ущільнення, що є в арсеналі будівельників.

Однією з умов якісної укладки ґрунту в земляне полотно є правильне їх ущільнення. Ущільнення земляного полотна, як правило, виконується від його краю до середини з перекриттям ущільнуваної смуги не менше ніж на 25 см.

Особливо велике значення має забезпечення надійного водовідвідення при будівництві доріг місцевого значення, коли земляне полотно повинно мати покращені характеристики. Заходи по відвіденню води від полотна дороги включають улаштування бокових водовідвідних канав, дренуючих шарів і інших дренажних пристрій.

При улаштуванні бокових водовідвідних канав необхідно слідкувати за тим, щоб вони мали поперечний профіль та поздовжній ухил, які забезпечували б якнайшвидше відвідення води від земляного полотна.

### **9.3.2 Влаштування шару основи з щебенево-піщаної суміші С-7 оброблена цементом до марки М-20 [63]**

Проектом передбачено змішування в установці щебенево-піщаної суміші С-7 з цементом до марки М-20 та перевезення готової суміші на відстань 80 км.

До складу робіт входять:

- розсипання та розрівнювання щебенево-піщаної суміші С-7 шару основи оброблена цементом до марки М-20;
- планування та профілювання шару основи;
- зволоження шару основи;
- ущільнення шару основи;

Перед влаштуванням щебенової основи необхідно:

- забезпечити готовність земляного полотна відповідно до ДБН В.2.3-4 [41];
- підготувати тимчасові під'їзні шляхи для подачі матеріалів до місця виконання робіт;
- виконати розбивочні роботи, що забезпечують дотримання проектної товщини, ширини основи і поперечних похилів;
- забезпечити водовідвід;
- облаштувати узбіччя для створення бічних упорів при ущільненні кам'яного матеріалу.

Попереднє розрівнювання ЩПС С-7 оброблена цементом до марки М-20 виконують бульдозером на всю ширину основи. Остаточне розрівнювання та планування шару виконують автогрейдером за (5-6) кругових проходів починаючи від країни основи до вісі.

До початку робіт ніж автогрейдера виставляють під кутом захвата в бік траси, а кут нахилу - в залежності від проектного поперечного похилу.

При плануванні поверхні щебеневого шару автогрейдер працює по круговій схемі.

Попереднє ущільнення виконують вібраційним гладковальцевим котком, масою 10,6 т за 6 проходів по одному сліду. Ущільнення виконують від обочини до вісі з перекриттям сліду на 1/3 ширини вальця.

Поливання ЩПС С-7 виконують поливально-мийною машиною, починають після трьох проходів котка.

Остаточне ущільнення виконують ґрунтовим вібраційним гладковальцевим котком масою 19,8 т за 12 проходів по одному сліду. Ущільнення виконують від обочини до вісі з перекриттям сліду на 1/3 ширини вальця, перші проходи коток виконує зі швидкістю від 1,5 км/год до 2,0 км/год, в кінці ущільнення швидкість збільшують до максимальної [41].

### **9.3.3 Влаштування нижнього шару асфальтобетонного покриття [63]**

До складу робіт входять:

- встановлення копіювальних струн;
- очищення поверхні основи від пилу та бруду;
- приймання асфальтобетонної суміші в бункер із автосамоскидів під час руху (не припиняючи укладання);
- транспортування суміші із бункера до робочих органів;
- розподілення суміші по ширині смуги покриття, яка укладається;
- розрівнювання та попереднє ущільнення суміші з автоматичним забезпеченням заданої товщини шару;
- вигладжування та опорядження шару покриття;
- ущільнення суміші;
- зняття копіювальних струн.

Нижній шар покриття з асфальтобетонних сумішей слід влаштовувати у суху погоду, навесні та влітку при температурі повітря не нижче ніж 5 °C, восени не нижче ніж 10 °C. Допускається виконувати роботи з використанням гарячих асфальтобетонних сумішей при температурі повітря не нижче за 0 °C.

Перед укладанням нижнього шару покриття належить очистити основу від бруду та пилу механічними щітками, стисненим повітрям або іншими засобами. На ділянках з поздовжнім похилом більше ніж 40 % влаштування нижнього шару асфальтобетонного покриття слід виконувати у напрямку, протилежному похилу. Рівність влаштування шару та точне дотримання заданого поперечного профілю забезпечується автоматичною системою асфальтоукладальника. Якщо під час роботи асфальтоукладальника залишається неукладеною вузька смуга (на віражах, уширенні тощо) то, з метою уникнення додаткового поздовжнього шва, дозволяється одночасно з роботою укладальника укладати суміш на ній вручну. Це дає можливість ущільнювати укладену асфальтобетонну суміш відразу на всю ширину покриття. До початку укладання асфальтобетонної суміші необхідно перевірити наявність паспорта на суміш, в якому повинні бути зазначені: вид суміші, її температура, час відправлення, кількість.

Щоб уникнути налипання суміші, внутрішні стінки та дно кузова автосамоскида попередньо оброблюють мазутом або нафтою за допомогою спеціальних розпилювачів або вручну. Вальці котків з цією ж метою рекомендується змочувати водою, сумішшю води з гасом (1:1) або водним 1 % розчином відходів соапстоку. Не дозволяється застосовувати для цього солярове масло або топковий мазут. Налипання асфальтобетонної суміші на пневматичних шинах котків припиняється при їх нагріванні до температури суміші. Час нагрівання незначний. Щоб уникнути охолодження пневматичних шин допускаються тільки нетривалі зупинки котків поза смugoю ущільнення. Укладання асфальтобетонної суміші на основу дозволяється тільки після оформлення відповідного акта на приховані роботи. Асфальтобетонна суміш, яка застосовується у гарячому стані, повинна відповідати вимогам ДСТУ Б В.2.7-119 [63] та проектній документації.

До початку влаштування нижнього шару покриття із гарячої асфальтобетонної суміші необхідно:

- підготувати тимчасові під'їзди для доставки матеріалів до місця виконання робіт;

- виконати розбивочні роботи, які забезпечують дотримання проектної товщини, ширини та поперечних похилів нижнього шару покриття;
- забезпечити водовідвід.

Основа, на яку укладається асфальтобетонна суміш, повинна бути чистою та сухою. Згідно п.20.8.7 зміни №1 ДБН В.2.3-4:2015 [41] по шарах із неукріплених щебенево-піщаних сумішей, підгрунтовка органічних в'яжучих не виконується.

На організацію робіт з влаштування нижнього шару асфальтобетонного покриття з гарячої асфальтобетонної суміші істотний вплив має тривалість транспортування. Це пов'язано з тим, що температура асфальтобетонної суміші на початку ущільнення повинна відповідати вимогам таблиці 21.2 ДБН В.2.3-4 [41]. При застосуванні ПАР температура асфальтобетонних сумішей може бути знижена на (10 - 20) °C.

Копіювальні струни забезпечують роботу асфальтоукладача в автоматичному режимі, оскільки вони вказують рівень. Вони також є вихідним базисом для встановлення та регулювання робочих органів асфальтоукладальника перед початком роботи. Тому, точність та акуратність виконання усіх операцій під час встановлення копіювальних струн є важливою умовою належної якості робіт.

Роботи по влаштуванню нижнього шару покриття товщиною 10 см із гарячої асфальтобетонної суміші виконують поточним методом на захватках довжиною від 750 м до 800 м.

### **9.3.4 Влаштування верхнього шару асфальтобетонного покриття**

До складу робіт входять:

- встановлення копіювальних струн;
- очищення поверхні нижнього шару покриття від пилу та бруду;
- оброблення поверхні нижнього шару покриття бітумною емульсією;
- приймання асфальтобетонної суміші в бункер із автосамоскидів;

- розподілення суміші по ширині смуги покриття, яка укладається;
- розрівнювання та попереднє ущільнення суміші з автоматичним забезпеченням заданої товщини шару;
- вигладжування та опорядження шару покриття;
- ущільнення суміші;
- зняття копіювальних струн.

До початку влаштування верхнього шару покриття із гарячої асфальтобетонної суміші необхідно:

- підготувати нижній шар покриття у відповідності з вимогами ДБН В.2.3-4 [41];
- підготувати тимчасові під'їзди для доставки матеріалів до місця виконання робіт;
- виконати розбивочні роботи, які забезпечують дотримання проектної товщини, ширини та поперечних похилів покриття;
- забезпечити водовідвід.

Перед укладанням асфальтобетонної суміші (за 1-6 годин), поверхню нижнього шару асфальтобетонного покриття, потрібно обробити (підґрунтувати) будь-яким органічним в'яжучим: бітумною емульсією, рідким, в'язким бітумом марки БНД 90/130, БНД 130/200. В'яжучі потрібно нагрівати до температури, що наведена в таблиці 21.2 ДБН В.2.3-4 [41].

Копіювальні струни забезпечують роботу асфальтоукладача в автоматичному режимі, оскільки вони вказують рівень. Вони також є вихідним базисом для встановлення та регулювання робочих органів асфальтоукладальника перед початком роботи. Тому, точність та акуратність виконання усіх операцій під час встановлення копіювальних струн є важливою умовою належної якості робіт.

Роботи по влаштуванню верхнього шару покриття виконують поточним методом на двох захватках довжиною від 750 м до 800 м кожна.

На першій захватці виконують:

- очищення поверхні верхнього шару основи (нижнього шару покриття) від пилу та бруду;
- обробка поверхні нижнього шару бітумом (бітумною емульсією);
- встановлення копіювальних струн.

На другій захватці виконується:

- прийом та укладання асфальтобетонної суміші;
- ущільнення суміші котками;
- зняття копіювальних струн після влаштування покриття;
- демонтаж стояків і нівелірних кронштейнів і доставка їх на нову ділянку;
- зняття знаків та огорожень з ділянки виконання робіт.

Під час укладання суміші необхідно ретельно слідкувати за тим, щоб у місцях спряжень (поздовжні та поперечні шви) товщина свіжоукладеного шару суміші була від 1,5 см до 2,0 см більша сусідньої ущільненої смуги (запас на ущільнення).[66]

Враховуючи те, що асфальтоукладач забезпечує попереднє ущільнення шару покриття із асфальтобетонної суміші до величини коефіцієнту  $k = 0,95$ , подальше ущільнення продовжують без попереднього застосування легких котків з гладкими вальцями.

Ущільнення верхнього шару покриття із гарячої дрібнозернистої асфальтобетонної суміші виконують у наступній послідовності за кількості проходів котків по одному сліду:

- коток дорожній самохідний вібраційний гладковальцевий, масою 10,6 т - 6 проходів.
- коток самохідний на пневмоколісному ходу, масою 14,3 т - 8 проходів;
- коток дорожній самохідний вібраційний гладковальцевий, масою 14,2 т - 4 проходи.

Котки повинні рухатись по покриттю, яке ущільнюється, від країв смуги до середини, при цьому кожний слід від попереднього проходу котка повинен перекриватися при наступному проході не менше ніж на 1/3.

## 10 Організація будівництва

### 10.1 Визначення потреби в будівельно-монтажних кадрах

Численність працюючих складає 40 луд.

Рроб =  $0,802 * 40 = 32$  луд. (кількість робочих на майданчику 80,2 % від загальної кількості працюючих, згідно розрахункових нормативів для складання проектів організації будівництва. Частина 1. 2-е видання [52]).

Розподіл працюючих за категоріями:

Рітп =  $0,132 * 40 = 5$  луд. (кількість інженерно-технічних працівників становить 13,2% від загальної кількості працюючих, згідно розрахункових нормативів для складання проектів організації будівництва. Частина 1. 2-е видання [52])

Р служ. =  $0,045 * 40 = 2$  луд. (кількість службовців становить 4,5% від загальної кількості працюючих, згідно розрахункових нормативів для складання проектів організації будівництва. Частина 1. 2-е видання [52])

Рохор =  $0,021 * 40 = 1$  чол. (кількість охоронців становить 2,1% від загальної кількості працюючих, згідно розрахункових нормативів для складання проектів організації будівництва. Частина 1. 2-е видання [52]).

**Таблиця 10.1**

№ п/п	Найменування	Одиниця виміру	Всього
1	Загальна кількість працюючих	чол.	40
2	Робочі	- '' -	22
3	Інженерно-технічні працівники	- '' -	5
4	Службовці	- '' -	2
5	Охоронці	- '' -	1

### 10.2 Визначення потреби в тимчасових будівлях та спорудах

Ділянка виконання робіт по капітальному ремонту, знаходиться на відстані щоденної транспортної доступності від пункту дислокації будівельних організацій і місць проживання працюючих на будівництві дороги. В зв'язку з цим будівництво жилого поселення будівельників проектом не передбачається. Роботи передбачено

виконувати виїзними бригадами, без влаштування місць складування вибухо-, пожежонебезпечних матеріалів.

Майданчики для розміщення тимчасових будівель адміністративно-побутового призначення влаштовуються на з'їздах за межами земляного полотна дороги. Тимчасові будівлі не повинні перешкоджати виконанню будівельних робіт та експлуатації прилеглих територій. По периметру майданчиків проектом передбачено влаштування покриття з щебенево-піщаної суміші С7, товщиною 0,12 м.

Площа санітарно-побутових приміщень визначається відповідно до кількісного складу робітників у найбільш багаточисельну зміну на об'єкті за укрупненими нормативними показниками згідно з таблицею 6.1 ДБН А.3.2-2-2009 «Охорона праці і промислова безпека у будівництві» [59].

Потреба в площах, інвентарних будинках різноманітного типу, адміністративно-побутового призначення визначається по формулі:

$$Tr = Ph \times P$$

Де  $Ph$  – нормативний показник згідно з таблицею 6.1 ДБН А.3.2-2-2009 [59];

$P$  – кількість робітників в найбільш багаточисельну зміну.

Загальна потреба будівництва у тимчасових санітарно-побутових та адміністративних приміщеннях наведена в Таблиці 10.2

**Таблиця 10.2** Експлікація тимчасових будівель і споруд

№ п/п	Найменування	Нормативна площа на кількість робітників, ( $m^2/10\text{чол}$ )	Необхідна площа, $m^2$	Прийнято		
				Робоча площа, $m^2$	Розміри в плані, м	Кількість будівель
1	Контора	4,0	10	10,0	2,5x4,0	2
2	Гардеробна	7,0	17,5	10,0	2,5x4,0	3
3	Умивальня	2,0	5,0	2,0	2,0x1,0	4
4	Туалет	1,0	2,5	1,5	1,5x1,0	3
	Разом:		35,0	23,5		12

Для побутових і конторських приміщень можуть бути використані інвентарні пересувні або збірно-роздільні вагони.

### **10.3 Обґрунтування обсягів потреби в тимчасовому електропостачанні.**

Розрахунок електроенергії, води, тепла та стиснутого повітря відповідно до посібника з розробки проектів організації будівництва і проектів виконання робіт (до ДБН А.3.1-5-2016) дод. 2 [62].

Сумарна потреба в електроенергії для будівельного майданчика визначається наступною формулою:

$$P=16 \text{ кВА}$$

де  $P$  - загальна потреба у потужності, кВА;

1,1 - коефіцієнт, що встановлює втрати потужності в мережах;

$K_1, K_2, K_3, K_4$  - коефіцієнти одночасності, залежності від виду і кількості споживачів; приймаються 0,6-1;

$P_1$  - силова потужність, що споживається будівельними машинами, інструментами, механізмами, кВт;

$$P_1=8,2 \text{ кВт}$$

Потужність апарату для стикового зварювання - 3,7 кВт;

Потужність апарату для зварювання поліпропіленових труб – 1,5 кВт;

Прийнято резерв на дрібний ручний електроінструмент – 3,0 кВт.

$P_2$  - споживана потужність на технологічні потреби (електропідігрів бетону), кВт;

Потужність для підігріву бетону монолітної плити в зимовий період складає -0 кВт

$$P_2=0 \text{ кВт}$$

$P_3$  - споживана потужність для внутрішнього освітлення приміщення, кВт;

Для освітлення тимчасових будівель адміністративно – побутового призначення необхідно:

$$P_3=2,6 \text{ кВт.}$$

$P_4$  - споживана потужність для зовнішнього освітлення зони виконання робіт.

$$P_4=0 \text{ кВт.}$$

Під час будівництва дороги застосовуються механізми та обладнання, що працюють від електроенергії. Крім цього електроенергія потрібна для освітлення будівельного майданчика, побутових приміщень, аварійного освітлення небезпечних місць. Проектом передбачено електропостачання на період капітального ремонту електростанцією пересувними електростанціями потужністю - 4 кВт.

#### **10.4 Обґрунтування обсягів потреби в тимчасовому водопостачанні [45].**

Розрахунок зводиться до визначення необхідної витрати води для виробничих, господарсько-побутових, протипожежних потреб будівельно-монтажного майданчика і підбору діаметрів трубопроводів. Водопостачання будівельного майданчика і забезпечення капітального ремонту вулиць водою по трасі дороги буде проводитись за рахунок привізної води.

Сумарна розрахункова витрата води (л/сек) [45]:

$$Q_{\text{заг}} = Q_{\text{вир}} + Q_{\text{госп}} + Q_{\text{пож}} = 0,2 + 0,09 = 0,29 \text{ л/с}$$

## **11.Охорона навколишнього середовища**

### **11.1 Загальна характеристика об'єкту**

#### **11.1.1 Дані про розміри будівельних майданчиків, площі зайнятих земельних угідь**

Всі роботи по капітальному ремонту дороги передбачено проводити в межах існуючої смуги відведення. Проектом передбачається використання існуючого земляного полотна без внесення змін до його конструкції.

#### **11.1.2 Дані про використовувані ресурси**

При капітальному ремонту дороги передбачається використання сировинних, трудових та енергетичних ресурсів згідно з технологічними операціями установлених проектом видів робіт. Необхідні обсяги ресурсів визначалися згідно з ресурсними елементними кошторисними нормами на будівельні роботи і надані в томі Кошторисної документації.

Постачання будівництва будівельними матеріалами, виробами, конструкціями і напівфабрикатами передбачено згідно транспортної схеми доставки матеріалів.

Всі матеріали вітчизняного виробництва мають відповідати вимогам ДСТУ (ГОСТ) та ТУ. Імпортні матеріали, на які нема державних стандартів, повинні мати відповідні сертифікати і дозволи, в т. ч. установ і закладів Міністерства регіонального розвитку, будівництва та житлово-комунального господарства України, Міністерства охорони здоров'я України, Міністерства екології та природних ресурсів України, і провідних організацій Укравтодору (ДержшляхНДІ).

#### **11.1.3 Опис технологічних процесів планованої діяльності**

Основні технологічні процеси капітального ремонту ділянки автомобільної дороги приведені в пункті 1.2 Детальний перелік та опис технологічних процесів,

вид робіт та обсяги робіт визначені в 29/20-ПЗ «Зведені відомості обсягів будівельних робіт».

Виконання технологічних операцій передбачає дотримання вимог щодо охорони навколошнього середовища згідно з нормативними документами та технологічними регламентами на ці види робіт. Технологічні процеси і операції не допускають перевищення значень допустимих концентрацій забруднюючих речовин в елементах навколошнього природного середовища та значень допустимих рівнів впливу. Відповіальність за належне виконання будівельних робіт відповідно до нормативних документів покладається на генпідрядну будівельну організацію.

#### **11.1.4 Проектні дані про розрахункові обсяги відходів**

Проведення будівельних робіт супроводжується утворенням відходів будівництва (відходи будівельних робіт) та побутових відходів. Згідно з Державним класифікатором України ДК 005-96 "Класифікатор відходів" відходами будівельних робіт (розділ 45 КВЕД) є відходи, що утворюються під час будівельних робіт, знесення та ремонту будівель і споруд (код 4510). У таблиці 11.1 надається перелік відходів, які потенційно можуть утворитись при будівництві.

**Таблиця 11.1**

КОД (згідно з ДК КВ 005-96)	Назва класифікаційного угруповання (згідно з ДК КВ 005-96)	Шляхи повторного використання (утилізації)
1	2	3
<b>4510</b>	<b>Відходи будівельних робіт, знесення та ремонту будівель і споруд</b>	
4510.1	Відходи вхідних компонентів, які використовують у будівництві	
4510.1.1	Відходи матеріалів основних та речовин, які використовують у будівництві	
4510.1.1.01	Гравій, щебінь, пісок, мука доломітова, заповнювачі, гіпсоцементи, мастика гідроізоляційна, речовини зв'язувальні зіпсовані, забруднені або неідентифіковані, їх залишки, які не можуть бути використані за призначенням	Використання при влаштуванні узбіч, в'їздів у двори тощо

4510.1.2	Відходи матеріалів допоміжних та речовин, які використовують у будівництві	
4510.1.2.01	Емульсії дорожні зіпсовані, забруднені або неідентифіковані, їх залишки, які не можуть бути використані за призначенням	Передача спеціалізованим підприємствам на утилізацію (знешкодження)
4510.1.2.02	Матеріали зв'язувальні органічні зіпсовані, забруднені або неідентифіковані, їх залишки, які не можуть бути використані за призначенням	Передача спеціалізованим підприємствам на утилізацію (знешкодження)
4510.2	Відходи виробничо-технологічні, які утворюються в будівництві	
4510.2.9	Відходи виробничо-технологічні, які утворюються в будівництві інші, не позначені іншим способом, або відходи від комбінованих процесів	
4510.2.9.01	Грунт вийнятий	Використання при влаштуванні насипів, укосів тощо
4510.2.9.02	Суміш ґрунту та каміння	Використання при влаштуванні насипів, укосів тощо
4510.2.9.04	Залишки асфальту та суміші асфальтобетонної без вмісту дьогтю	Використання при облаштуванні автобусних зупинок, тротуарів, в'їздів у двори тощо
4510.2.9.06	Конструкції залізобетонні та металеві та деталі із заліза й сталі зіпсовані (пошкоджені) або неідентифіковані	Передача спеціалізованим підприємствам на утилізацію
4510.2.9.07	Конструкції та деталі металеві з вмістом алюмінію та його сполук зіпсовані (пошкоджені) або неідентифіковані	Передача спеціалізованим підприємствам на утилізацію
4510.2.9.08	Конструкції та деталі металеві з вмістом міді, свинцю, цинку, олова чи металів кольорових інших та їх сполук зіпсовані (пошкоджені) чи забруднені або не ідентифіковані	Передача спеціалізованим підприємствам на утилізацію
4510.2.9.09	Відходи змішані будівництва та знесення будівель і споруд	Повторне використання або передача спеціалізованим підприємствам на утилізацію
4510.3	Відходи кінцевої продукції будівництва	
4510.3.1	Продукція бракована	Повернення виробнику або утилізація

4510.3.1.01	Продукція будівельна (у т. ч. від ремонту будівель і споруд, шляхів, мостів, шляхопроводів тощо) некондиційна	Повторне використання або передача спеціалізованим підприємствам на утилізацію
-------------	---	--

Відходи при виконанні підготовчих будівельних робіт з капітального ремонту автомобільної дороги

**Таблиця 11.2**

№ п/п.	Назва робіт утворення відходів	Відходи згідно з класифікатором ДК КВ 005-96 Клас небезпеки IV	Маса (т)	Поводження
1	Деревина (чагарник, дрібнолісся)	0201.2.1.01	14,55	Полігон будівельних відходів на відстані 10 км
<b>Всього відходів</b>			<b>7,891 т</b>	

Аналіз утворення та поводження з відходами при експлуатації приведено в табл 11.3.

Відходи, що утворені у процесі експлуатації автомобільної дороги

**Таблиця 11.3**

№ п/п.	Назва робіт утворення відходів	Відходи згідно з класифікатором ДК КВ 005-96	Маса	Поводження
1	Побутове сміття, зміт з покриття	6000.2.9 7720.3.1.01 клас небезпеки - IV	по фактичним даним	Передача спеціалізованим підприємствам відповідно до чинного на момент заключення договорів «Переліку ліцензіатів на поводження господарської діяльності із здійснення операцій у сфері поводження з небезпечними відходами».
<b>Всього відходів</b>		по фактичним даним РайдУ		

Підприємство-організація, що прийматиме відходи обирається відповідно до чинного на момент заключення договорів «Переліку ліцензіатів на поводження господарської діяльності із здійснення операцій у сфері поводження з небезпечними відходами.

З метою мінімізації утворення відходів підрядна будівельна організація

зобов'язана проводити контроль за організацією робіт і технологічними процесами будівництва.

За існуючих умов капітального ремонту та при дотриманні технологічних режимів обсяги утворюваних відходів будуть незначними, більшість із них буде повторно використовуватись під час капітального ремонту або передаватися спеціалізованим підприємствам на утилізацію. З метою мінімізації утворення відходів підрядна будівельна організація зобов'язана проводити контроль за організацією робіт і технологічними процесами капітального ремонту.

### **11.1.5 Можливі аварійні ситуації**

Безпека дорожнього руху забезпечується проектними рішеннями, що відповідають нормативними документами з питань безпеки дорожнього руху.

Мінімізація кількості, масштабів дорожньо-транспортних пригод та негативного впливу їх наслідків на довкілля забезпечується: конструкцією дорожнього полотна, перильної огорожі, знаками дорожнього руху та наявністю освітлення на об'єкті.

Вжиття сучасних заходів безаварійності та запобігання появи людей та тварин на проїзній частині шляхом встановлення перильного огороження робить дорогу значно безпечнішою.

Для створення необхідного рівня безпеки руху проектом передбачається ряд заходів та конструктивних рішень, які будуть сприяти безпечній експлуатації дороги та транспортних засобів:

- улаштування металевого бар'єрного огороження;
- облаштування дороги дорожніми знаками із застосуванням світлововертальної плівки;
- застосування розмітки із світлововертальної стрічки;
- влаштування освітлення;

В процесі експлуатації експлуатуюча організація буде здійснювати контроль за концентрацією місць дорожньо-транспортних пригод та приймати заходи по їх

мінімізації.

Для ліквідації надзвичайних та аварійних ситуацій на базі дорожніх організацій функціонує бригада швидкого реагування.

#### **11.1.6 Наявність позитивних аспектів від реалізації будівництва об'єкту**

Проведення капітального ремонту ділянки матиме наступні позитивні наслідки:

- поліпшиться місцева та регіональна транспортна інфраструктура с.Богоявленка, будуть створені умови для покращення експлуатаційних показників роботи автотранспорту;
- поліпшаться експлуатаційні якості дороги, швидкість і комфорт проїзду;
- збільшиться пропускна спроможність дороги, зменшиться собівартість перевезень і час перебування пасажирів в дорозі;
- підвищиться рівні дорожньої безпеки;
- знизиться негативний вплив на навколишнє та антропогенне середовище, підвищаться рівні екологічної безпеки за рахунок покращення експлуатаційних якостей автомобільної дороги, будуть забезпечені оптимальні швидкості дорожнього руху та реалізація передбачених проектом природоохоронних заходів.

Зважаючи на вищеперечислене, капітального ремонту дороги є не тільки доцільним, але й необхідним.

#### **11.2 Оцінка впливу при експлуатації об'єкта на навколишнє природне середовище**

##### **11.2.1 Повітряне середовище**

Внаслідок експлуатації автомобільним транспортом ділянки автомобільної дороги у повітряну среду буде попадати на деяке кількість загрязнюючих речовин (ЗР).

У зону впливу об'єкту (600 м – відповідно п. 4.4 ГБН В.2.3-218-007-2012) та захисну смугу об'єкту (30 м – відповідно п. 4.4 ГБН В.2.3-218-007-2012) не потрапляє житлова забудова. У межах резервно-технологічної смуги (7,5 м – відповідно п. 4.4 ГБН В.2.3-218-007-2012) житлові будинки відсутні.

Визначення рівня забруднення здійснюється на основі розрахунків розсіювання викидів забруднюючих речовин при існуючих експлуатаційних умовах (при відмові від капітального ремонту та при здійсненні капітального ремонту) та на 20-ти річну перспективу експлуатації дороги, після реалізації проекту.

Як вихідні дані для розрахунку викидів автотранспорту в атмосферу були прийняті результати існуючої та перспективної розрахункової інтенсивності автотранспортних потоків з поділом за основними категоріями автотранспортних засобів, кліматичні характеристики району тяжіння, фонове забруднення території та поперечний і повздовжній профілі об'єкту.

Згідно з виконаним обліком руху існуюча інтенсивність на ділянці складає

180 авт/добу. У зв'язку з очікуваним зростанням перевезень пасажирів та вантажів інтенсивність руху на даній ділянці дороги до 2040 року зросте до 394 авт/добу.

Аналізу підлягали забруднюючі речовини, що містяться у відпрацьованих газах двигунів транспортних засобів регламентовані РД 52.04.186-89 «Руководство по контролю загрязнения атмосферы»: оксид вуглецю (CO), вуглеводні (CH), діоксид азоту (NO<sub>2</sub>), сірчистий ангідрид (SO<sub>2</sub>), сажа та бенз(а)пірен. Перелік забруднюючих речовин, які викидаються в атмосферне повітря автомобільним транспортом, та значення їх гранично допустимих концентрацій (ГДК) надано в табл. 11.4

**Таблиця 11.4**

Ч.ч.	Найменування ЗР	Код ЗР	ГДК <sub>mp</sub> , мг/м <sup>3</sup>	ГДК <sub>sd</sub> , мг/м <sup>3</sup>	Клас небезпеки
1	Азоту двооксид (NO <sub>2</sub> )	0301	0,2	0,04	3
2	Азоту оксид (NO)	0304	0,4	0,06	3
3	Ангідрид сірчистий (SO <sub>2</sub> )	0330	0,5	0,05	3
4	Бенз(а)пірен (C <sub>20</sub> H <sub>12</sub> )	0703	-	10 <sup>-6</sup>	1
5	Вуглецю оксид (CO)	0337	5,0	3,0	4
6	Вуглеводні насичені (C <sub>n</sub> H <sub>m</sub> )	2754	1,0	-	4
7	Сажа	0328	0,15	0,05	3

Масові обсяги викидів ЗР від руху транспорту по проектній ділянці автомобільної

дороги були визначені відповідно до «Методики розрахунку викидів забруднюючих речовин та парникових газів у повітря від транспортних засобів», яка затверджена наказом Державного комітету статистики України від 13 листопада 2008 року № 452. Розрахунок обсягу викидів при експлуатації об'єкту (на теперішній час (при відмові від будівництва та при здійсненні будівництва) та на 20-ти річну перспективу експлуатації дороги, після реалізації проекту), результати розрахунку по всій ділянці поданий у таблиці 11.5

**Таблиця 11.5**

Валовий викид забруднюючих речовин	На теперішній час (після будівництва), т/рік	На 13-річну перспективу (після будівництва), т/рік
Діоксид азоту	0,00728	0,01613
Сажа	0,00374	0,00851
Діоксид сірки	0,00368	0,00823
Оксид вуглецю	0,45978	1,00654
Бенз(а)сирен	0,00000	0,00000
Вуглеводні	0,07757	0,17023
Оксид азоту	0,00032	0,00069
Аміак	0,00001	0,00001
Метан	0,00213	0,00467
<b>Всього:</b>	<b>0,555</b>	<b>1,215</b>

Згідно з п. 5.21 ОНД-86 визначаємо доцільність проведення розрахунків розсіювання в атмосферному повітрі для всіх забруднюючих речовин, що викидаються автомобільним транспортом, що рухається по розрахунковим ділянкам.

Розрахунок розсіювання доцільно проводити для тих забруднюючих речовин, для яких виконується нерівність:

$$(M / ГДК \text{ м.р.}) > \Phi,$$

$$\Phi = 0,01 \times H \text{ при } H > 10\text{м},$$

$$\Phi = 0,1 \text{ при } H \leq 10\text{м},$$

де: - M (г/с) – сумарне значення викиду від всіх джерел підприємства, що

відповідає найбільш несприятливим із установлених умов викиду, включаючи вентиляційні джерела й неорганізовані викиди;

ГДК м.р. (мг/м<sup>3</sup>) – максимальна разова гранично припустима концентрація;

Н (м) – висота джерел викиду.

Результати вказують на те, що розрахунок проводити не доцільно по всім речовинам.

Вплив від експлуатації проектної ділянки дороги на навколошне природне середовище, а також на стан здоров'я людей знаходиться в межах норм і не призводить до порушення екологічної рівноваги району розташування об'єкта та встановлених санітарно-гігієнічних нормативів

### **11.2.2 Шумовий вплив**

Джерелом шуму при експлуатації автомобільної дороги є рух автотранспорту, а саме звуковий ефект при контакті коліс автомобіля із покриттям проїзної частини та шум його двигуна.

Характерною особливістю шуму, що створюють транспортні потоки, є різкі коливання його рівнів, що обумовлені неоднорідністю потоку, зміною режиму руху транспортних засобів тощо.

Для визначення існуючого та перспективного (на 20-ти річну перспективу після реалізації проекту) стану акустичного середовища, якою проходить автомобільна дорога, здійснено розрахунок еквівалентного рівня шуму (ЛАтер) на межі житлової забудови, згідно ДСТУ-Н Б В.1.1-33.2013.

Найближча житлова забудова в с. Шахове знаходиться на відстані 500 м. Розрахункові точки були визначені на відстані 2 м першого ешелону житлової забудови, яка розташована найближче до проїзної частини.

Результати розрахунку еквівалентних рівнів шуму в існуючих експлуатаційних умовах та на 20-річну перспективу наведено в таблиці 11.6

**Таблиця 11.6**

Рік	Відстань від дороги	L <sub>Aekv</sub> в день	L <sub>Aekv</sub> в день	Норма* в день	L <sub>Aekv</sub> в ночі	L <sub>Aekv</sub> в ночі	Норма в ночі*
2021	с. Шахове	1	1	65	1	1	55
2041	(500м.)	1	1		1	1	

Примітка.\* Норма шуму приведена згідно табл. 1 ДБН Б.1.1-31.2013 з урахуванням поправки +10 дБА (примітка 2 до табл. 1 ДБН Б.1.1-31.2013) на транспортний шум.

Розрахунки показують, що еквівалентні рівні шуму на проектуємій ділянці дороги, що безпосередньо прилягає до житлової забудови в с. Шахове, не будуть перевищувати допустимі рівні шуму як на теперішній час так і на перспективу;

Рівень шуму під час експлуатації об'єкту зменшиться за рахунок:

- використання дорожнього покриття, яке при проїзді транспортного засобу характеризується мінімальним рівнем шуму;
- забезпечення постійної швидкості руху автомобілів (без змін режимів руху).

Шумовий вплив під час проведення капітального ремонту буде тимчасовим та незначним.

### **11.2.3 Рослинний і тваринний світ та об'єкти природно-заповідного фонду**

Область лежить у двох природних зонах: лісостепу і степу. Переважна більшість території області розташована у степовій зоні, лише на північному заході – у лісостеповій. Природна рослинність більшої частини області – степова.

Флора і фауна безпосередньо в межах розташування об'єкта виражена видами, характерними для міських забудов.

Оскільки, планова діяльність здійснюється частково на території сформованої житлової забудови, змін умов існування тваринного світу, що склалися не очікуються.

Об'єкт, що проектується не буде впливати на повітряні шляхи міграції (висота польоту перелітних птахів значно вища ніж 25 метрів над поверхнею землі).

Природо-заповідний фонд. Вплив на ПЗФ відсутній.

## **12. Охорона праці**

Проектні рішення з будівництва дороги прийняті у відповідності до чинних норм та інструкцій. При виконанні робіт необхідно керуватися вимогами ДБН А.3.2-2-2009 (НПАОП 45.2-7.02-12) «Система стандартів безпеки праці. Охорона праці і промислова безпека у будівництві. Основні положення», НПАОП 63.21-1.01-09 “Правила охорони праці під час будівництва та ремонту при утриманні автомобільних доріг”, НПАОП 45.21-1.03-98 «Правила безпеки під час проведення робіт з будівництва мостів», Постановою Кабінету Міністрів України від 15 жовтня 2003р. ”Про затвердження Порядку видачі дозволів Державним комітетом з нагляду за охороною праці та його територіальними органами” та іншими галузевими інструкціями, вказівками, рекомендаціями з безпечного ведення робіт та охорони праці людей, що працюють на будівництві. Ці заходи повинні бути детально розроблені в проектах виконання робіт підрядних організацій.

Необхідно забезпечити додержання вимог законів та інших нормативно-правових актів з охорони праці та промислової безпеки під час виконання робіт підвищеної небезпеки (відповідно з переліком додатку 1 Постанови Кабінету Міністрів України від 15.10.2003 р. за №1631):

- транспортування вантажів;
- роботи біля механізмів, що працюють;
- роботи поряд з лініями електропередач;
- управління транспортною та іншою технікою;
- роботи на існуючій дорозі в зоні руху транспорту;
- роботи по нагріванню бітуму.

Згідно Постанови Кабінету Міністрів України від 15 жовтня 2003р № 1631, всі проекти виконання робіт підвищеної небезпеки за переліком згідно з додатком 1, як передбачено ПОБ, на початок виконання повинні мати висновок експертизи в органах Держнаглядохоронпраці щодо спроможності забезпечити додержання вимог законів та інших нормативно-правових актів з охорони праці та промислової безпеки під час

виконання робіт.

Субпідрядні організації, які залучаються до будівельних робіт, повинні мати дозвіл органів Держнаглядохоронпраці на виконання робіт підвищеної небезпеки, згідно з Постановою Кабінету Міністрів України від 15.10.03р № 1631.

Всі проекти виконання робіт, повинні мати висновок експертизи з питань охорони праці та промислової безпеки.

Згідно із Законом України “Про охорону праці” усі працівники при прийнятті їх на роботу і в процесі роботи проходять інструктаж (навчання) з питань охорони праці, надання першої допомоги потерпілим від нещасних випадків, а також з правил поведінки в разі виникнення аварії згідно з типовим положенням, затвердженим Державним комітетом України з нагляду за охороною праці.

Працівники, зайняті на роботах з підвищеною небезпекою або там, де є потреба у професійному доборі, повинні проходити попереднє спеціальне навчання і один раз на рік перевірку знань відповідних нормативних актів про охорону праці. Перелік таких робіт затверджується Державним комітетом України з нагляду за охороною праці.

Допуск до роботи осіб, які не пройшли навчання, інструктажу і перевірки знань з охорони праці, забороняється. У разі нездовільних знань працівники повинні пройти повторні навчання.

Підрядник, на основі Правил охорони праці, розробляє інструкції з охорони праці, які вивішуються в стаціонарних робочих місцях та видаються на руки робітникам. На усіх небезпечних об'єктах робіт і робочих місцях вивішують плакати та застережні написи з охорони праці. Робочі місця повинні бути підготовлені з дотриманням усіх вимог правил охорони праці, встановлених для виконання робіт.

Експлуатація електрообладнання, підіймальних пристройів, агрегатів, що працюють під тиском, дорожніх машин і трансмісій здійснюється відповідно до діючих правил охорони праці.

Забороняється виконувати роботи одночасно на двох ярусах по висоті без суцільного між ними помосту або інших пристройів, які захищають тих, що працюють

внизу, від можливого падіння на них певних предметів. При роботі на висоті 1,3 м і більше в умовах, де робітникам загрожує небезпека падіння і де за умовами роботи неможливо влаштувати загорожу, робітники забезпечуються заздалегідь випробуваними страховими поясами.

При виконанні робіт над виробничим обладнанням, роботи незалежно від висоти необхідно виконувати з суцільного настилу з поруччям заввишки до 1 м і бортовою дошкою заввишки 15 см. Щоб запобігти падінню інструментів, вільний (запасний) інструмент під час роботи має знаходитися в індивідуальних ящиках або сумках.

Підрядник повинен вжити заходів, щоб під час проведення робіт в зону перебування робітників не потрапляли гази, пил, пара. У разі потреби робітники повинні забезпечуватися відповідними індивідуальними захисними пристроями (ресурсаторами, протигазами тощо). Робочі місця, недостатньо освітлені природним світлом, включаючи й місце навантажувально-розвантажувальних робіт, мають освітлюватися штучним світлом і в денний час відповідно до діючих нормативної бази.

Бездадне складання матеріалів і деталей та їх зберігання в складах розкиданими забороняється. Лісоматеріали, що зберігаються на складі, повинні бути без цвяхів, скоб тощо.

Рухомі частини машин і механізмів, до яких можуть доторкатися робітники, необхідно надійно огородити. Переміщення механізмів під електропроводами допускається тільки при відстані між проводами й найвищою точкою механізму не менш як 2 м.

Після вимкнення механізму з електромережі проводи, які можуть перебувати під напругою, повинні бути повністю вилучені. У разі потреби залишити їх навіть на короткий час, з них потрібно зняти напругу, а кінці їх заізолювати й підняти на висоту не менш як 2,5 м від підлоги (помосту, землі). Вмикати електричні пристлади (установки), інструменти та освітлення треба тільки за наявності відповідних вимикачів або штепсельних з'єднань. З'єднувати кінці проводів скрутками категорично забороняється.

Електрорубильники в приміщеннях необхідно обладнати глухими захисними

кожухами, щоб виключити всяку можливість контакту з частинами, які перебувають під напругою. Рубильники поза приміщенням обов'язково слід закривати в спеціальні коробки з замком. Зберігати сторонні речі і цих коробках забороняється.

Напруга для ручних переносних ламп повинна бути не вищою 36 В, а в разі роботи в особливо вологих місцях – не вищою 12 В. Виконувати будь-який ремонт або налагоджувати електроустаткування без відома електромонтера забороняється.

Тимчасову зовнішню відкриту проводку на будівельному майданчику необхідно виконувати ізольованим проводом на надійних підпорах так, щоб нижня частина проводу знаходилася на висоті не менше 2,5м над робочим місцем, 3,5м – над проходами і 6м над проїздами. Повітряний електропровід влаштовують на стовпах з ізоляторами відповідно до правил улаштування електричних установок високої напруги.

Металеві частини електроустановок та обладнання необхідно заземлювати. Неізольовані частини електроустановок треба надійно огорожувати для захисту від випадкового доторкання. Захисні кожухи слід виготовляти з вогнетривкого й діаелектричного матеріалу.

Тривалість робочого дня й перерви в роботі для обігрівання в разі роботи на відкритому повітрі в умовах низьких температур визначаються відповідно дійсного законодавства.

Будівельні майданчики повинні бути обладнані відповідно до вимог Санітарних норм.

Робітників, зайнятих на будівництві транспортних штучних споруд необхідно забезпечувати засобами захисту:

- захисними окулярами з силікатним склом – для захисту органів зору від уламків твердих матеріалі, твердого пилу та бризок неагресивних рідин;
- захисними окулярами з оправою коробчатого типу - для захисту очей від та бризок агресивних рідин , а також при обробці металу, дерева, в разі роботи з піском і цементом;

- захисними окулярами з затемненим склом - для захисту очей від сліпуче яскравого світла, дії прямих ультрафіолетових і інфрачервоних променів;
- протишумовими навушниками – для захисту органів слуху від дії високочастотного шуму з рівнем 110...120 дБ;
- віброзахисними рукавицями – для захисту рук від дії локальної вібрації під час роботи з пневмоінструментом.

Спецодяг для дорожніх робітників шиють з тканин з високою міцністю на розрив і стирання.

При виконанні робіт в зоні руху транспорту робітникам необхідно видавати сигнальні куртки.

Перед початком робіт машини та механізми потрібно оглянути та перевірити їхній технічний стан: справність гальм, електроосвітлення, системи керування, ходового обладнання тощо. Робота на несправних машинах забороняється.

Щоб запобігти пожежі при заправці машин паливом, не можна палити та користуватися вогнем. У разі спалаху палива полум'я треба засипати піском, землею або накрити брезентом. Не можна заливати полум'я водою. На майданчику повинен бути укомплектований пожежний щит.

При роботі машин та механізмів на свіжовідсипаному насипу слід коліс не повинен проходити більше 1 м від краю насипу.

На машинах та механізмах забороняється провадити ремонтні роботи під час руху.

Після зупинки машин та механізмів навіть на короткий час їх потрібно надійно загальмувати, а під ходове обладнання підставити підкладки.

З водіями та машиністами періодично проводиться інструктаж з питань охорони праці.

Крім загальних правил вони вивчають спеціальні правила безпеки праці на різних типах транспортних та вантажопідйомних машин, силового обладнання, а також основи технологій будівництва автомобільних доріг та штучних споруд.

## **Висновки**

Розроблений математичний опис процесу взаємодії автомобільних шин з опорною поверхнею, покритою льодом дозволяє розраховувати характеристики поздовжнього прослизання і бічного відведення шин з урахуванням зміни їх зчіпних властивостей від завантаженості АТС, їх початкової швидкості та температури льоду. Як коефіцієнти в математичному описі використовуються оцінні параметри зчіпних властивостей шин, що дозволяє враховувати вплив цих параметрів на рух АТС при експертизі ДТП. Виявлені закономірності, що характеризують процес взаємодії шин легкових автомобілів із льодом показують, що:

- при перевантаженні автомобіля гальмівний шлях зростає порівняно з гальмівним шляхом, знайденим за ГОСТом (різниця колій 28,3 м); при зниженні навантаження на 50% гальмівний шлях знижується. При перевантаженні автомобіля, обладнаного АБС, гальмівний шлях зростає; при зниженні навантаження гальмівний шлях знижується.

За наявності відповідних ресурсів необхідно виконати заходи із утримання автомобільних доріг зимою необхідно виконувати у найкоротші строки. Дороги з постійним автобусним рухом, а також дороги для сполучення адміністративних центрів, міст та великих селищ обслуговуються першочергово.

- при початковій швидкості 75 км/год автомобіля (без АБС) гальмівний шлях знижується; при початковій швидкості 25 км/год - гальмівний шлях збільшується лише. При початковій швидкості 75 км/год автомобіля, обладнаного АБС, маємо зниження гальмівного шляху; при початковій швидкості 25 км/год гальмівний шлях знижується.

Необхідно забезпечувати найкращі умови для пересування транспорту, саме навколо цього побудована вся система заходів по утриманню доріг зимою.

Також дуже важливо враховувати вартість та терміни виконання необхідних робіт, і якщо це можливо то максимально їх скоротити. Для забезпечення вимог необхідно вжити заходів:

- профілактичні заходи, за допомого яких можна запобігти утворенню слизкості на дорожньому покритті або максимально послабити її утворення;
- улаштування засобів тимчасового або постійного снігозахисту, які запобігатимуть утворенню снігових заметів;
- заходи для усунення снігових та льодових утворень аби зменшити їх вплив на дорожнє покриття
- заходи з видалення снігових та льодових утворень на дорозі, та зменшення їх впливу на автомобільний рух.

Основними завданнями дорожніх організацій в зимовий період є:

- організація робіт із зимового утримання автомобільних доріг та контроль за їх виконанням;
- забезпечення ефективного використання матеріально-технічних та фінансових ресурсів, які призначені для зимового утримання автомобільних доріг;
- своєчасне інформування користувачів автомобільних доріг про умови руху на автомобільних дорогах;
- розробка та здійснення планів підвищення якості зимового утримання автомобільних доріг та безпеки руху.

Для забезпечення своєчасного проведення робіт із зимового утримання автомобільних доріг у дорожніх організаціях створюються дорожньо-патрульні служби у вигляді ланки. До функцій патрульних входить регулярне патрулювання автомобільних доріг з метою прийняття оперативних заходів для попередження можливих перерв руху та дорожньо-транспортних пригод.

Для організації роботи патрульної служби розробляється маршрутна схема руху, в якій зазначається послідовність та час патрулювання доріг. Патрулювання

автомобільних доріг здійснюється щодня, а при інтенсивних та тривалих снігопадах та хуртовинах і появах слизькості - цілодобово.

Організація робіт із зимового утримання автомобільних доріг загального користування повинна передбачати три ступені складності їх виконання:

- ступінь складності 1 - роботи виконуються у звичайному режимі з метою усунення незначних перешкод дорожньому руху наявними силами і засобами (снігоочищення, розподілення протиожеледних матеріалів);
- ступінь складності 2 - виникнення небезпеки появи перешкод руху на автомобільних дорогах (сильні снігопади та ожеледиця);
- ступінь складності 3 - можливість проїзду по дорогам знаходиться під загрозою зупинення (при хуртовинах із швидкістю вітру більше 9 м/с та тривалістю понад дві доби; снігопадах інтенсивністю більше 5 см/год та тривалістю понад 6 годин, а також у разі створення ожеледі на великій протяжності автомобільної дороги).

## **Список використаної література**

- 1 <https://www.slovoidilo.ua/2021/07/21/infografika/suspilstvo/dtp-ukrayini-skilky-lyudej-travmuyetsya-hyne-dorohax> (онлайн-ресурс)
- 2 ДСТУ 8752:2017 Безпека дорожнього руху. Проект організації. Дорожнього руху. Правила розроблення, побудови, оформлення.
- 3 Способы борьбы с зимней скользкостью Канд. техн. наук М. К. Пшембаев1), докт. техн. наук, проф. Я. Н. Ковалев1), докт. хим. наук, проф. В. Н. Яглов1), асп. В. В. Гиринский
- 4 Довідник №5 “Кліматичні характеристики та кліматичне районування території України для розрахунку нежорсткого дорожнього одягу”
- 5 ДСТУ 3587–97 Безпека дорожнього руху. Автомобільні дороги, вулиці та залізничні переїзди. Вимоги до експлуатаційного стану
- 6 ДСТУ Б.В.2.7-119-2011 «Суміші асфальтобетонні і асфальтобетон дорожній та аеродромний»;
- 7 ЗАБЕЗПЕЧЕННЯ ЕКСПЛУАТАЦІЙНОЇ НАДІЙНОСТІ ДЕФОРМАЦІЙНИХ ШВІВ АВТОДОРОЖНИХ МОСТІВ Коваль П.М. Полюга Р.І. Фаль А.Є. Бойко С.І. Державний дорожній науково-дослідний інститут ім. М.П. Шульгіна
- 8 Schallamach, Adolf (1968). "Recent advances in knowledge of rubber friction and tire wear". Rubber Chemistry and Technology. 41 (1)
- 9 Бартенев Г.М., Зеленев Ю.В. Физика и механика полимеров
- 10 Заслуженные изобретатели Сибирского отделения Российской академии наук / Гос. публич. науч.-техн. б-ка, Институт горного дела Сиб. отд-ния Рос. акад. наук; отв. ред. Л. А. Дмитриева; сост. Е. А. Базылева. — Новосибирск, 2015
- 11 Pêgas, R.V., Holgado, B., Leal, M.E.C., 2019. «Targaryendraco wiedenrothi gen. nov. (Pterodactyloidea, Pteranodontoidae, Lanceodontia) and recognition of a new cosmopolitan lineage of Cretaceous toothed pterodactyloids», Historical Biology,
- 12 Andrzej Falenty, Thomas C. Hansen & Werner F. Kuhs. Formation and properties of ice XVI obtained by emptying a type sII clathrate hydrate // Nature. — Vol. 516, P. 231—233

(11 December 2014) — DOI:10.1038/nature14014

13 Sandwiching water between graphene makes square ice crystals at room temperature. ZME Science. 2015-03-27

14 Клименко В. Г. Загальна гідрологія: Навчальний посібник для студентів. — Харків: вида-во ХНУ, 2008

15 Limnological characteristics of an oxbow lake in a lower reach of the Shibetsu River in Hokkaido Island, Japan. Ecol. Civil Eng. 7(2), 165-172, 2005

16 Попов С.В., Бучинський М.Я., Гнітько С.М., Чернявський А.М. Теорія механізмів технологічних машин: підручник для студентів механічних спеціальностей закладів вищої освіти. Харків: НТМТ, 2019.

17 Вплив тертя на концентрацію напружень та міцність деталей машин: [монографія] / О. М. Римар. — Л. : Сполом, 2013.

18 Закалов О. В. Основи тертя і зношування в машинах: Навчальний посібник / О. В. Закалов, І. О. Закалов. — Тернопіль: Видавництво ТНТУ ім. І.Пулюя, 2011

19 Об'єкти будівництва та промислова ДБН В.2.1 -10-2009 продукція будівельного призначення Основи та фундаменти будинків і споруд

20 Будник А.Ф., Юскаєв В.Б. Б-90 Фізика та механіка трибодизайну матеріалів: Навчальний посібник. –Суми: Вид-во СумДУ, 2008.

21 ДСТУ 3382:2009 Метрологія. Державна повірочна схема для засобів вимірювання прискорення вільного падіння

22 Дворкін Л. Й. «Будівельне матеріалознавство. Навчально-довідковий посібник»

23 Теорія механізмів і машин / А. С. Кореняко; Під ред. М. К. Афанасьєва. — К.: Вища школа Головне вид-во, 1987

24 ДБН А.2.2-3-2014 «Склад та зміст проектної документації на будівництво»

25 Тринадцятий міжнародний симпозіум українських інженерів-механіків у Львові: Матеріали симпозіуму. — Львів: КІНПАТРІ ЛТД. — 2017.

26 <https://budtehnika.pp.ua/5968-zcheplenna-kolesa-z-dorogoyu.html> інтернет-ресурс

27 Сахно В.П. До визначення моменту інерції автомобіля /В.П.Сахно, Д.М.Ященко,

П.О.Гуменюк, Р.М.Марчук // Вісник Національного транспортного університету.-К., НТУ, 2012.- Вип. 25.

28 Гилл Ф., Мюррей У., Райт М. Практическая оптимизация.

29 W. Batty, C. E. Christoffersen, A. J. Panks, S. David, C. M. Snowden, M. B. Steer, "Electrothermal CAD of Power Devices and Circuits With Fully Physical Time- Dependent Compact Thermal Modeling of Complex Nonlinear 3-d Systems," IEEE Trans. Comp. and Pack. Technologies, vol. 24, no. 4, pp. 566-590, 2001.

30 ДБН А.2.1-1-2008 «Інженерні вишукування для будівництва»

31 Мала гірнича енциклопедія : у 3 т. / за ред. В. С. Білецького. — Д. : Донбас, 2004.

32 Основи тепломасообміну: Підручник. / С. М. Василенко, А. І. Українець, В. В. Олішевський. За ред. І. С. Гулого; Нац. ун-т харч. технологій. К.: НУХТ,2004.

33 Правила технічної експлуатації коліс та пневматичних шин колісних транспортних засобів категорій L, M, N, O та спеціальних машин, виконаних на їх шасі

34 ДСТУ-Н Б В.1.-27:2010 "Будівельна кліматологія"

35 ГБН В.2.3-37641918-559:2019

36 ДБН В.1.2-2:2006 Система забезпечення надійності та безпеки будівельних об'єктів. Навантаження і впливи. Норми проектування.

37 М 218-03450778-652:2008 Методика оцінки рівнів безпеки руху на автомобільних дорогах України

38 ДБН В.2.3-4:2015 «Автомобільні дороги»

39 Закон «Про Національну комісію, що здійснює державне регулювання у сферах енергетики та комунальних послуг»

40 "Методичні вказівки до виконання курсового проекту, практичних занять та самостійної роботи на тему "Проектування плану міської вулиці", з дисципліни "Міські вулиці та дороги" для студентів напряму 6.060101 "Будівництво" денної та заочної форм навчання за професійним спрямування "Міське будівництво і господарство"/І.І,

Гонгало, Рівне: НУВГП, 2010.

41 ДБН В.2.3-4:2015 «Автомобільні дороги. Проектування»;

42 ГБН В.2.3-37641918-559:2019 «Автомобільні дороги. Дорожній одяг нежорсткий. Проектування».

43 ДСТУ 8824:2019 «Автомобільні дороги. Визначення інтенсивності руху та складу транспортного потоку»

44 ДБН А.2.2-1-2003 «Склад і зміст матеріалів оцінки впливів на довкілля (ОВНС) при проектуванні і будівництві підприємств, будівель і споруд»

45 ДБН В.2.5-74:2013 Водопостачання. Основні положення проектування

46 Типовой проект 503-09-7.84 Водоотводные сооружения на автомобильных дорогах общей сети союза ССР.. Альбом 1 Общие данные. Конструктивные схемы и примеры применения водоотводных сооружений. Гидравлические работы водоотводных сооружений. Вспомогательный материал для гидравлических расчетов

47 ТИПОВЫЕ КОНСТРУКЦИИ, ИЗДЕЛИЯ И УЗЛЫ ЗДАНИЙ И СООРУЖЕНИЙ СЕРИЯ 3.503.1-66 ИЗДЕЛИЯ СБОРНЫЕ ЖЕЛЕЗОБЕТОННЫЕ ВОДООТВОДНЫХ СООРУЖЕНИЙ НА АВТОМОБИЛЬНЫХ ДОРОГАХ

48 Свод правил СП 30.13330.2012 "СНиП 2.04.01-85\*. Внутренний водопровод и канализация зданий" Актуализированная редакция СНиП 2.04.01-85\*

49 Довідник Лукіних А. А., Лукіних Н. А.

"Таблиці для гідралічного розрахунку каналізаційних мереж та дюкерів за формулою акад. Н. Н. Павловського", М., Будвидав, 1974

50 География, геоэкология, геология: опыт научных исследований. Вып. 4 (2007)

51 СП 30.13330.2016 “СВОД ПРАВИЛ. ВНУТРЕННИЙ ВОДОПРОВОД И КАНАЛИЗАЦИЯ ЗДАНИЙ. Domestic water supply and drainage systems in buildings”

52 ДСТУ 8752:2017 Безпека дорожнього руху. Проект організації дорожнього руху. Правила розроблення, побудови, оформлення. Вимоги до змісту

53 ДБН А.2.2-3:2014 Склад та зміст проектної документації на будівництво

54 ДБН В.2.3-5:2018 Вулиці та дороги населених пунктів

55 ГБН В.2.3-37641918-555:2016 Автомобільні дороги. Транспортні розв'язки в одному рівні. Проектування

56 ДСТУ 4100:2021 Безпека дорожнього руху. Знаки дорожні. Загальні технічні умови. Правила застосування

57 ДСТУ 2587-2021. Розмітка дорожня технічні вимоги

58 ДСТУ 8751:2017 Безпека дорожнього руху. Огороження дорожні і напрямні пристрой. Правила використання. Загальні технічні вимоги

59 ДБН А.3.2-2-2009 Охорона праці і промислова безпека в будівництві

60 ДСТУ 8855:2019 Визначення класу наслідків (відповідальності)

61 ДСТУ Б А.3.1-22:2013 "Визначення тривалості будівництва об'єктів"

62 ДБН А.3.1-5:2016 Організація будівельного виробництва

63 ДСТУ Б В.2.7-119:2011 Суміші асфальтобетонні і асфальтобетон дорожній та аеродромний. Технічні умови

64 ДСТУ 8749:2017 Огороження та організація дорожнього руху в місцях проведення дорожніх робіт

65 П.Г.1218-113:2009 Автомобильные дороги, улицы и железнодорожные переезды

66 Степанчук О.В Автомобільний транспорт і екологічні проблеми міст/ Степанчук О.В., Степанчук І.М. // Екологія довкілля та безпека життєдіяльності. – 2004.- № 6- С.88- 92.

67 Степанчук О.В. Принципи створення транспортно-екологічного моніторингу/ Степанчук О.В. // Містобудування та територіальне планування. К.: КНУБА, 2001.-№9.- С. 275-280.

68 Степанчук О.В. Методи створення і ведення транспортно-екологічного моніторингу у містах України/ Степанчук О.В., Рейцен Є.О. // Містобудування та територіальне планування: Науково-технічний збірник. – К.: КНУБА, 2004. – Вип.18. - 178-185.

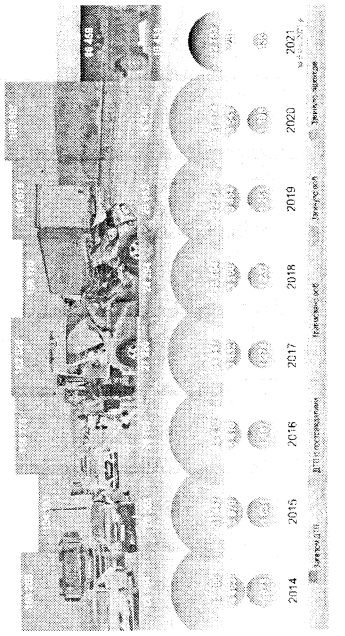
69 Дослідження транспортних потоків в аспекті заторових станів дорожнього руху: Монографія / В. М. Першаков, А. О. Белятинський, О. В. Степанчук, Р. В. Кротов. – Київ: НАУ, 2015. – 176 с.

70 Степанчук О.В. Сутність ефективності функціонування вулично-дорожньої мережі міст / О.В. Степанчук// Проблеми розвитку міського середовища: Наук.-техн. бірник / - К., НАУ, 2016. - Вип. 1(15). – С. 133-143.

## **ДОДАТКИ**

«Капітальний ремонт автомобільної дороги загального користування місцевого значення «050724 Криворіжжя – /на Костянтинівку/ на ділянці км 31+900 – км 36+600 із впровадженням заходів покращення умов безпеки руху автомобілів у зимовий період»

#### СМЕРТНІСТЬ НА ДОРОГАХ УКРАЇНИ У 2014-2021 РР.



#### Статистика смертності в ДТП

№	Вид зимової спількоєї, у тому числі	Атреативні стан опадів	Процес утворення	Черговісні обробки	Відсутність коливаючої осанки та схильність до засипання	Дії/інциденти
1	2	3	4	5	6	7
18	Океанічна (степовидобудівний)	Ріжкий	Замерзання допуду, води або мріїни	Замерзання допуду, на охочому замерзанні	Замерзання туману, основна профілактика	Смертність від відсутності та засипання
2*	Зернистий пакет пароподібний	шар	навколо пакета	загортачами	основна профілактика	Без засипання та засипання
3*	Зерниста пакет паровий	шар	перехопленою	перехопленою	основна профілактика	Без засипання та засипання
4	Пухкий сніг	тварин	впадіння снігу.	спідко замети під час	основна профілактика	Без засипання та засипання
5	Сіканий пакет	глазний	ущиплення пухкого снігу	спідко замети під час	основна профілактика	Без засипання та засипання
6	Сіканий-шовковий пакет	глазний	Замерзання переголоженої	спідко замети під час	основна профілактика	Без засипання та засипання

\* при первинних видах знищності сіканих пакетів об'ємом близько 1 л

#### Види зимової слизькості

Морозний	Лідова	Лідово-снігова	Лідово-снігова	Лідово-снігова
Лідово-снігова	Лідова	Лідово-снігова	Лідово-снігова	Лідово-снігова
Лідово-снігова	Лідова	Лідово-снігова	Лідово-снігова	Лідово-снігова
Лідово-снігова	Лідова	Лідово-снігова	Лідово-снігова	Лідово-снігова
Лідово-снігова	Лідова	Лідово-снігова	Лідово-снігова	Лідово-снігова

ІДВ 21-05-01-000-72  
Консервативна терапія лідеротерапією відповідно до  
діагностичного статусу пацієнта та відповідно до  
діагностичного статусу пацієнта та відповідно до  
діагностичного статусу пацієнта та відповідно до

#### Механізм гертя при ковзанні гуми по льоду

Дифораній елемент не змінив свій вигляд при постійних умовах ковзання. Лідова куля з дзерном елемента вільно відокремлюється при цій ситуації та втрачає здатність у залоговому просторі [19].

$$\tau = \frac{U}{F} \quad (2.1)$$

де  $U$  – абсолютна в якості і зовнішній шар.

Властивості елемента на ясні під зупинку наступним чином [19]:

$$z = G \cdot \bar{y} \quad (2.2)$$

де  $G$  – комплексним модулем течутих ум.

Врахувуючи, що  $y = \delta \cdot h$ , із рівнян. (2.1) та (2.2), одержуємо [19]:

$$\delta = \left( \frac{h}{f} \right) \left( \frac{U}{F} \right) \quad (2.3)$$

де  $h$  – висота схеми проектора, показана на рисунку.

Що ж зробити, щоб уникнути цих проблем та зберегти від них? Розглянемо рішення (2.3). Оскільки, по величині спільно заслання від гумовини автомобільного шини, не зуміємо підвищити якість покриття шини. Врахувавши це, можемо лише зменшити здфораній б від постійних пребуджаків, руки спасателя прокрука.

б) Схема видимого тепла  
а) Схема видимого тепла  
Мал. 2.6 - Демонстрація можливості (а) та складної (б) для гертя

складної прокрушки шин.

Вибудовані теплові системи в конструкції використовуються в прахонок

спин Г, які утворюють видимо-парові покришки та прикладаються до нижньої

поверхні схеми проектора.

Жендування, якщо зберегти якістю пакетів, функціона

річних параметрів системи, для схеми видимого тепла зображені на мал. 2.6 [21]:

$$\frac{M}{3} \delta + c\delta + k\delta = F \quad (2.4)$$

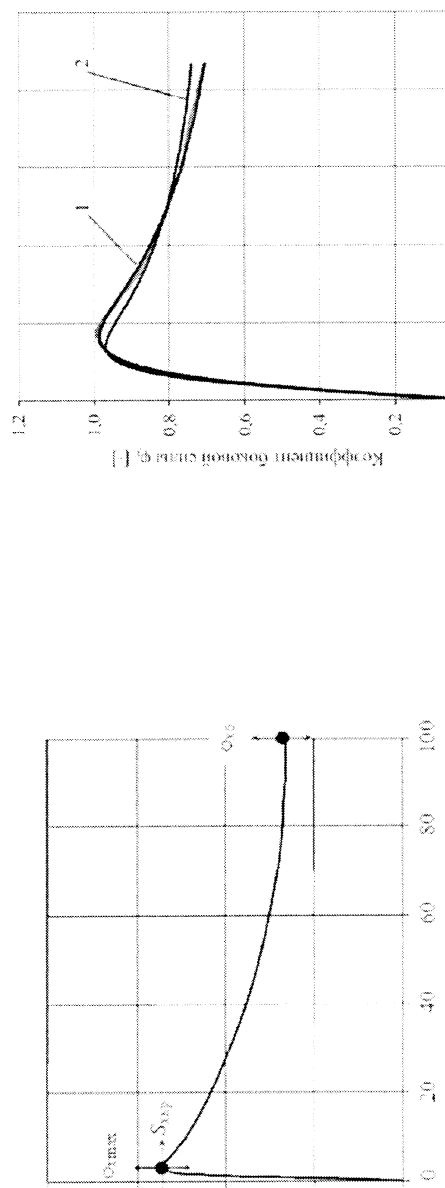
$$F = \frac{\mu \cdot LB}{t} [W - 8]; \quad (2.6)$$

$$c = \frac{LB}{h}, \quad (2.7)$$

$$k = \frac{GB}{h}, \quad (2.8)$$

Макроскопічний вид поверхні розрізу протектора - лід

\* при первинних видах знищності сіканих пакетів об'ємом близько 1 л



Масштабування типової характеристики поздовжнього прослизання

$$\Phi_y(\delta) = \tilde{\zeta}_y(\delta_i) \frac{\Phi_{\max}}{\Phi_{\min}}, \quad \Phi_y(S_y) = \tilde{\zeta}_y(S_{y*}) \frac{\Phi_{\max}}{\Phi_{\min}},$$

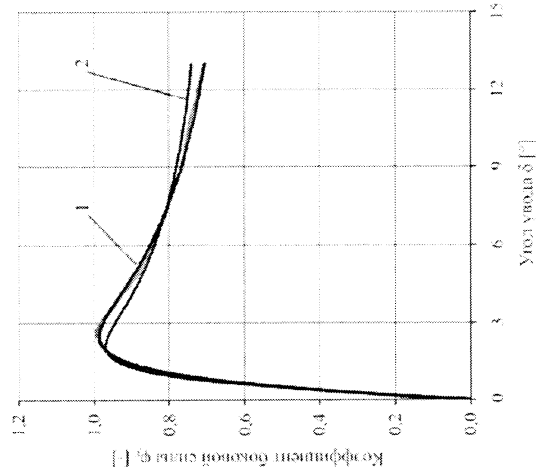
де  $\Phi_y(\delta)$ ,  $\Phi_y(S_y)$  - типові характеристики пливки;

$\tilde{\zeta}_y(\delta_i)$ ,  $S_{y*}$  - скориговані за формулами (3.1) кут відведення та поздовжнє прослизання;

$\delta_i$ ,  $S_{y*}$  - критичні значення параметрів для типової характеристики;

$\Phi_{\max}$ ,  $\Phi_{\min}$  - значення параметрів для типової характеристики.

$$\Phi_{\max} / \Phi_{\min} = \tilde{\zeta}_y(S_{y*})$$



Апроксимація усередненої характеристики бічного відведення функцією з роботи:

$$\Phi_y(\delta) = \tilde{\zeta}_y(\delta_i) \frac{\Phi_{\max}}{\Phi_{\min}}, \quad \Phi_y(S_y) = \tilde{\zeta}_y(S_{y*}) \frac{\Phi_{\max}}{\Phi_{\min}},$$

запропонованою в [28] методом коефіцієнтів Фурье, які обчислюють за формулою

коюм похідного спадку:

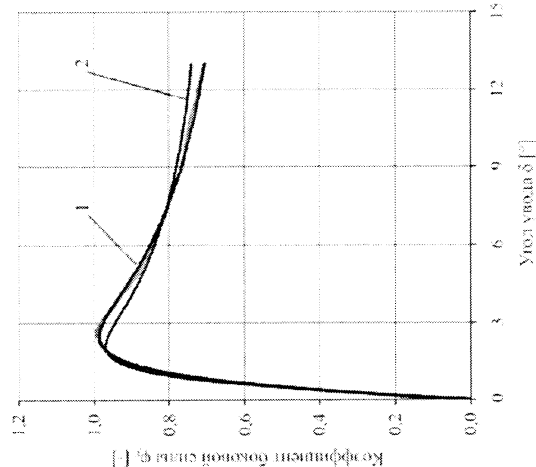
$B = -1.107$ ,  $C = 1.63434$ ,  $D = 0.983589$ ,  $E = 0.44367$ .

4) Динаміка керченської типової характеристики.

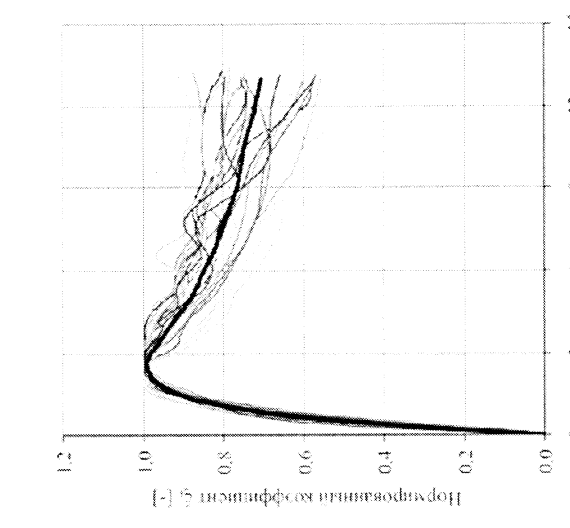
Графік керченської типової характеристики

5) Розрахунок оптимальних властивостей шини

Для розрахунку параметрів приведено програму в математичному пакеті Maple.



Розбиття покриття з льоду на елементи



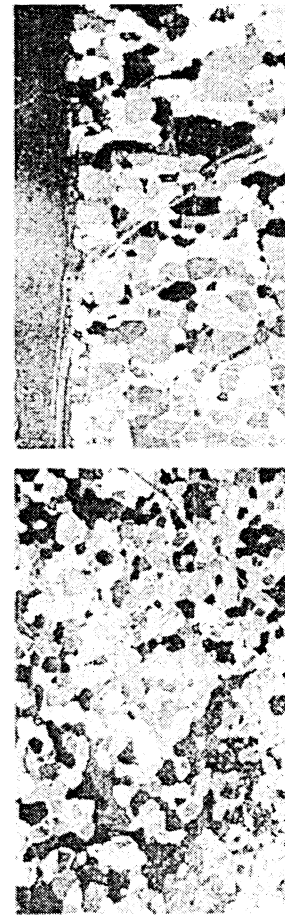
Усереднення нормованих характеристик бічного відведення

$$\overline{\zeta}_y(\delta_i) = D \sin[C \arctan((1 - E)\delta_i + (E/B)\arctan(B\delta_i))]$$

а) Горизонтальний згід

б) Вертикальний згід

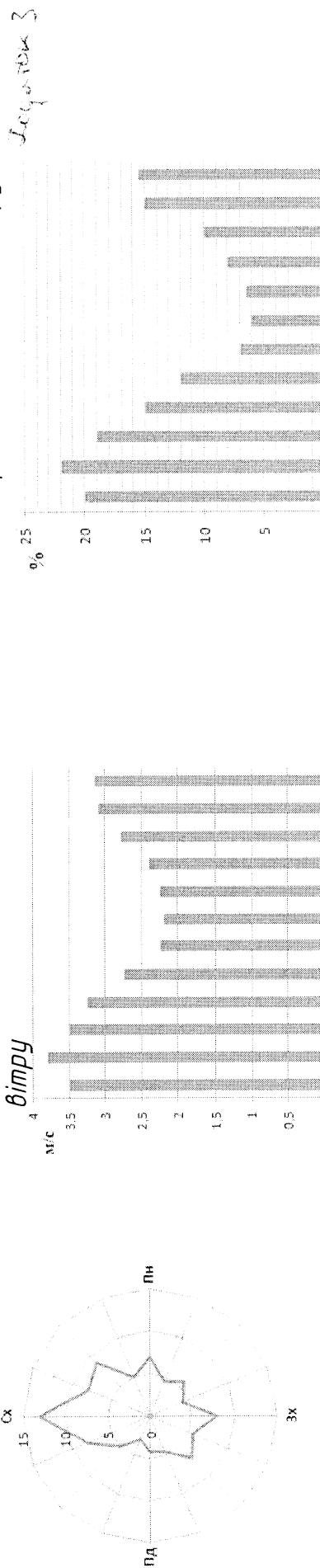
Мал. 2.4 Форми кристалів льоду, отримані на полігоні Shibeusu в Hokkaido



Параметр	Значення	Опис
$\delta_i$	10	Кут відведення
$E$	0.44367	Коефіцієнт згущення
$B$	-1.107	Коефіцієнт згущення
$C$	1.63434	Коефіцієнт згущення
$D$	0.983589	Коефіцієнт згущення
$\Phi_{\max}$	1.0	Максимальна нормована коефіцієнт згущення
$\Phi_{\min}$	0.2	Мінімальна нормована коефіцієнт згущення
$S_{y*}$	1.5	Критичне значення параметру
$S_y$	1.0	Критичне значення параметру
$\tilde{\zeta}_y(S_{y*})$	0.9	Значення коефіцієнта
$\tilde{\zeta}_y(S_y)$	0.8	Значення коефіцієнта

## Повторювальності напрямку

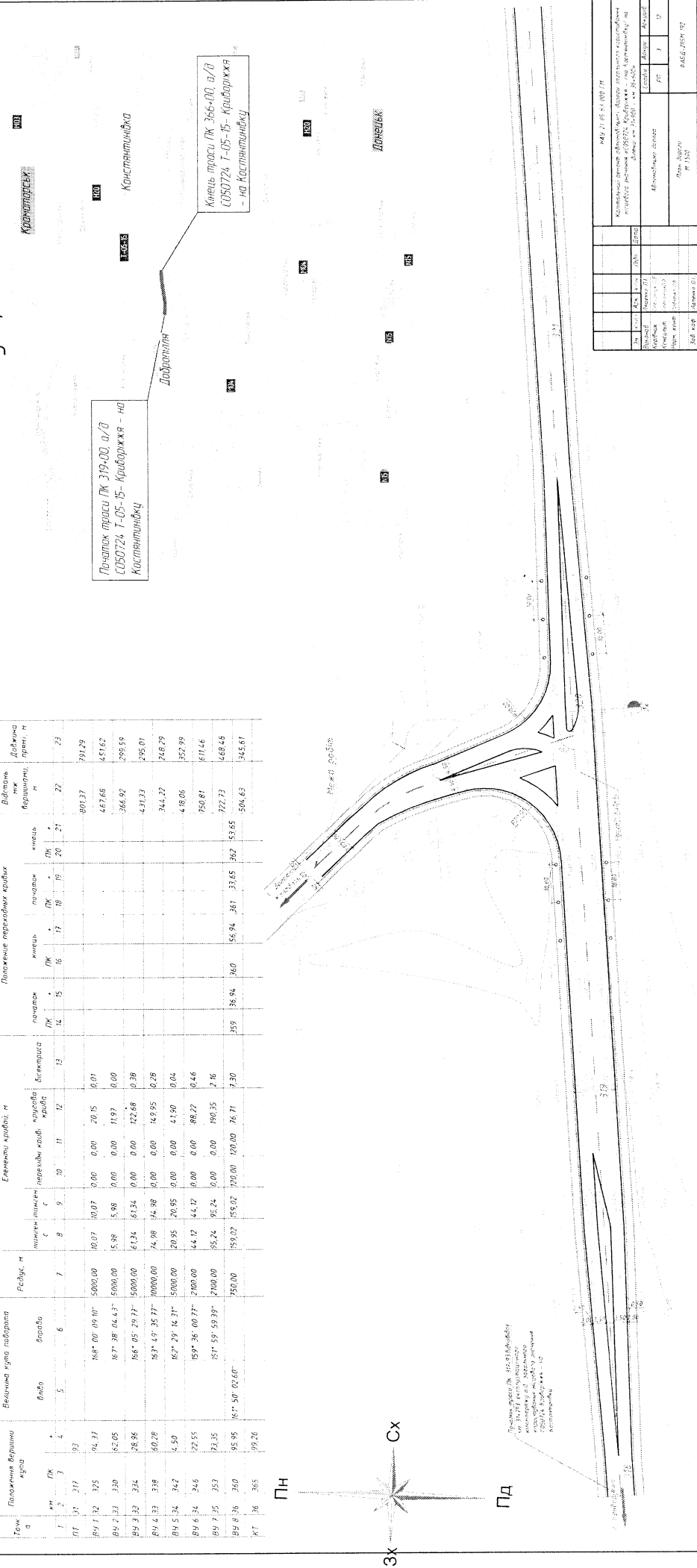
## Середня швидкість вітру



Елементи плаваючих трас

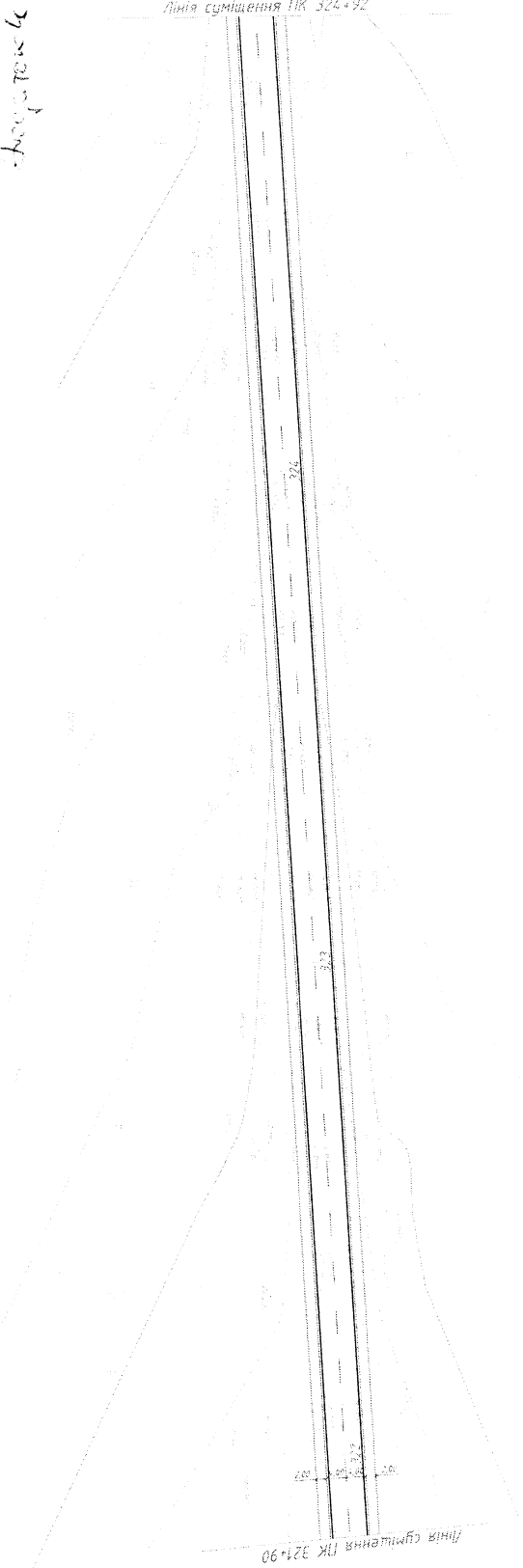
Знак	Позиція кінцевої кутило	Відстань кінцевої кутило від берега	Глибина	Позиції перехідних кутил			Відстань від берега	Довжина прям. м
				показник	напрямок	направлення кутил		
+	ΠД 311 93	4	6	7	9	9	12	13
-	ΠД 325 339	5	7	10,37	0,00	0,00	10,15	0,01
-	БУ 1 339 334	6	5	16,8° 00' 09''	5000,00	5000,00	10,99	0,00
-	БУ 2 334 334	7	6	16,7° 38' 04''	5000,00	5000,00	10,99	0,00
-	БУ 3 334 338	8	7	16,6° 05' 29''	5000,00	5000,00	10,99	0,00
-	БУ 4 338 342	9	8	16,5° 45' 55''	5000,00	5000,00	10,99	0,00
-	БУ 5 342 346	10	9	16,3° 20' 14''	5000,00	5000,00	10,99	0,00
-	БУ 6 346 235	11	10	15,9° 36' 00''	2000,00	44,12	10,66	0,46
-	БУ 7 235 216	12	11	15,1° 59' 50,3''	2000,00	55,24	9,24	0,00
-	БУ 8 216 360	13	12	16,1° 50' 22''	50,00	159,02	120,00	7,30
-	БУ 9 360 365	14	13	16,1° 50' 22''	50,00	159,02	120,00	7,30
-	БУ 10 365 99,26	15	14	16,1° 50' 22''	50,00	159,02	120,00	7,30

## Ситуаційна схема

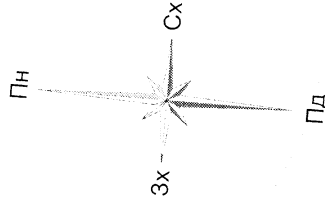


**ЧМОВНІ ПОЗНАЧЕННЯ**

Меха ділянку проведення робіт	Кромка проїзної частини
Забічя	Влаштування водопропускної споруди
— — — — —	Влаштування прикладівого потока
— — — — —	Влаштування бор ерого агародження
— — — — —	Влаштування кайдету (шебель, фр20-40)
— — — — —	Влаштування швидкостного лоток А-1,Л-2)



ПН

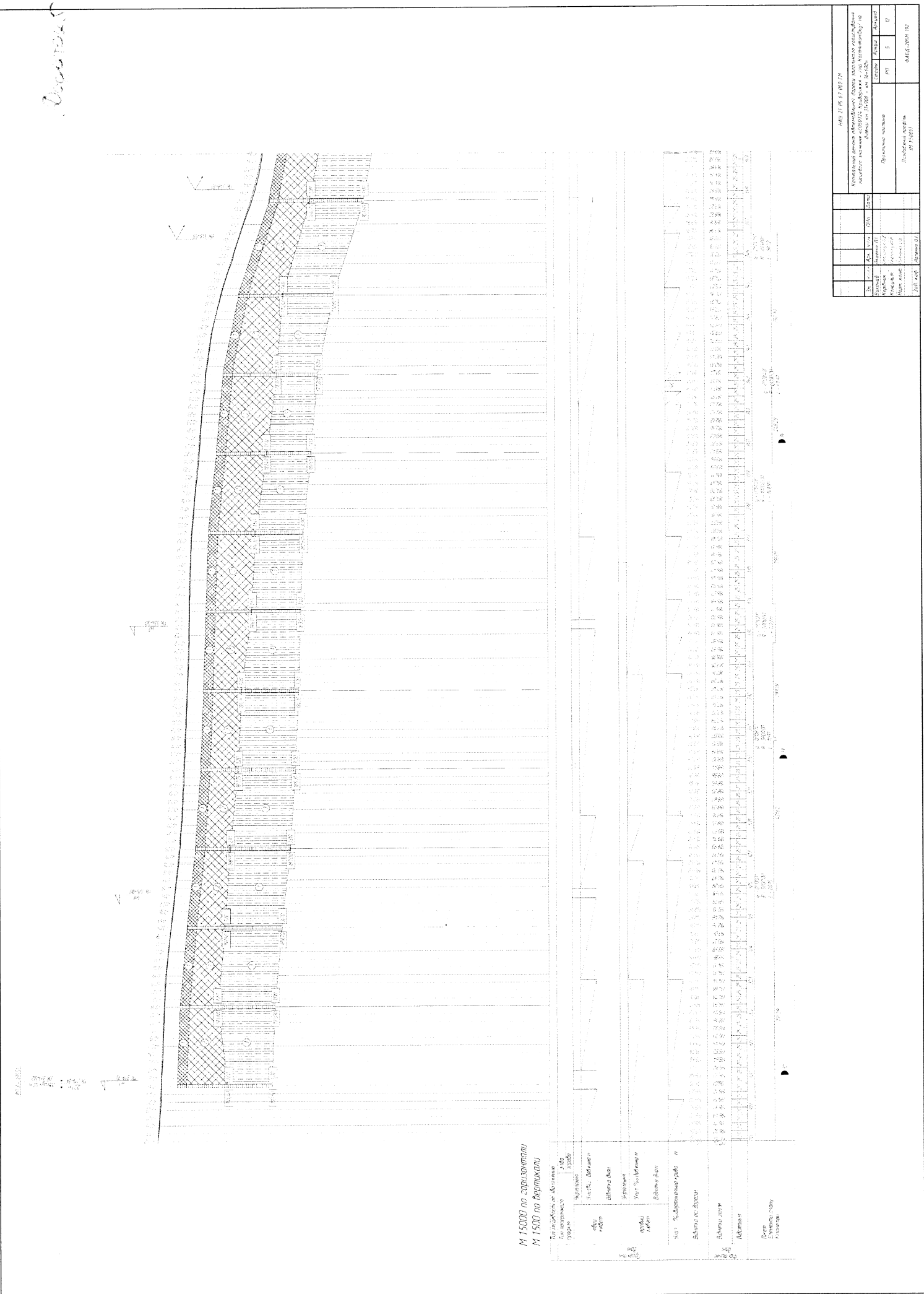


ПД

Лінія суміщення ПК 324+92

Конструкційний стовпчик (бетон) Абонентський залізобетонний	
№	Висота
1	2,5 м
2	2,5 м
3	2,5 м
4	2,5 м
5	2,5 м
6	2,5 м
7	2,5 м
8	2,5 м
9	2,5 м
10	2,5 м
11	2,5 м
12	2,5 м

Лінія суміщення ПК 324+92	
№	Висота
1	2,5 м
2	2,5 м
3	2,5 м
4	2,5 м
5	2,5 м
6	2,5 м
7	2,5 м
8	2,5 м
9	2,5 м
10	2,5 м
11	2,5 м
12	2,5 м



## ЧУВОВНИ ПОЗНАЧЕННЯ

Лінії

Асфальтобетонне покриття

H



Насипні гумко-зарубіжно-шебеневистинні гумко-макроміцесніх  
порошково-шебеневистинніх порів, з шириною-глибинами від 600 до 800 mm.

vt-II-III

Гумко-лекотарчний вакуум-поглинаний, стилос-карбонатний, піщано-кам'яний

Лінія автодороги Вінницька-Сирбада-Снідавна  
5140 040 150

Насипні гумко-зарубіжно-шебеневистинні, піщано-кам'яний, з дномішкою шебеню кам'янопіскових та кемперафонічних порів до 10%

Лінія Сіверського дінця

50 30 150

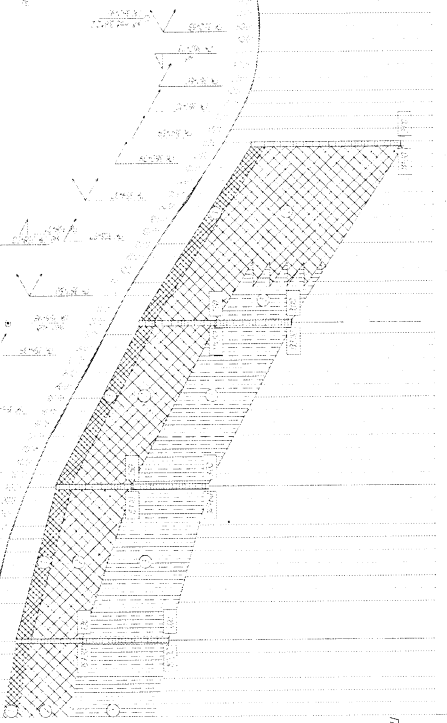
Лінія Сіверського дінця

Стріла сполученого зачепу  
за покривно-шебеневистинні  
пісок

пісок

нагрівачний

пластиковий



M 1500 по ширині підлоги

Довжина ділянки		Площа ділянки		Глибини	
Код	Номер	Площа	Глибина	І	ІІ
1	1	150	0	150	150
2	2	150	0	150	150
3	3	150	0	150	150
4	4	150	0	150	150
5	5	150	0	150	150
6	6	150	0	150	150
7	7	150	0	150	150
8	8	150	0	150	150
9	9	150	0	150	150
10	10	150	0	150	150

Код ділянки		Площа ділянки		Глибина		Формулі А1	
1	1						
2	2						
3	3						
4	4						
5	5						
6	6						
7	7						
8	8						
9	9						
10	10						

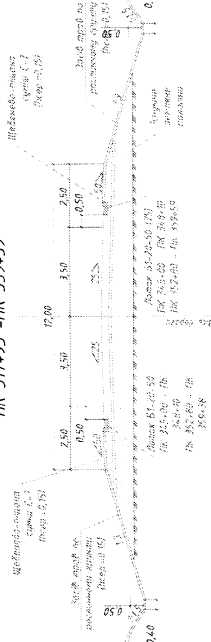
М 1500 по ширині ділянки  
Лінія Сіверського дінця

ІІ- Підлоги житлові, ж/б та розподільні  
з забороженою позначкою

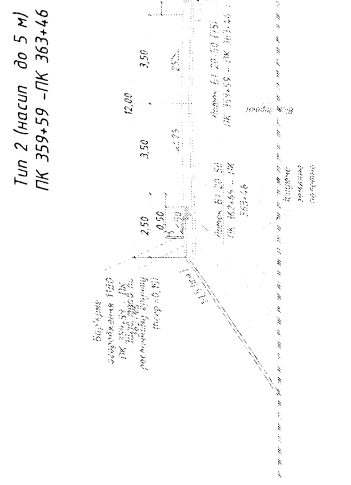


Б. Б. Голубев

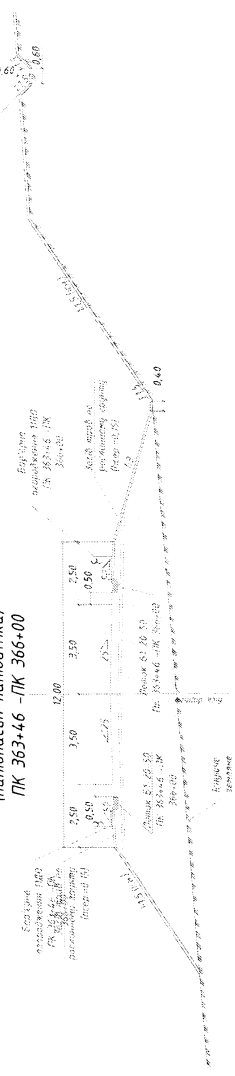
*Tun 1 (насып до 2 м)*



*Tun 2 (насып до 5 м)*



*Tun 3 (наплавная насыпь)*



Нагородка № 21 (25.07.1997 г.)					
Координаты пунктов обследования: № 1922 - № 1923 - № 1924 - № 1925 - № 1926 - № 1927					
№ п/п	Номер	Глубина	Длина	Ширина	Состав
1	1922	0.20	0.20	0.20	Песчано-гравийный
2	1923	0.20	0.20	0.20	Песчано-гравийный
3	1924	0.20	0.20	0.20	Песчано-гравийный
4	1925	0.20	0.20	0.20	Песчано-гравийный
5	1926	0.20	0.20	0.20	Песчано-гравийный
6	1927	0.20	0.20	0.20	Песчано-гравийный





**Зведення табличця дорожньої розмітки**

Номер згідно ДСТУ 2587:2010	Кількість місць, шт	Площа квадрату, м <sup>2</sup>	Горизонтальна розмітка	Відстань від обочини до краю розмітки	Номер згідно ДСТУ 4.100-2014	Тип розмітки	Номер згідно ДСТУ 4.100-2014	Тип розмітки
1	2	3	4	0	1	II	1	II
1.1 (0,10)	-	12105,00	1211,00	5	1	Горизонтальні знаки	1	І
1.5	-	250,00	85,00	1.23,1	-	5	5,16	-
1.6	-	75,00	47,00	1.23,2	-	5	5,53	-
1.7	-	265,00	15,00	1.31	-	3	5,60	-
1.8	-	150,00	10,00	1.41	-	8	Разом:	15
1.9	2	-	3,5	1.42	-	8	Габарити до дорожніх знаків	4
1.16,1	-	60,00	160,00	1.6	-	1,6	-	-
1.16,2	-	35,00	15,00	1.7	-	2	-	2
1.18	12	-	24,00	1.72	-	2,1	-	3
1.20	2	-	8,00	1.73	-	2,4	-	5
Розом:	16	16220,00	1578,50	Розом:	-	7	Розом:	7
						Заборонні знаки		
				3,25	-	2		
				3,29	-	9		
				3,42	-	1		
				Розом:	-	12		
						64		

**Зведення табличця огорожень та  
напрямних пристрояв**

Найменування згідно ДСТУ 8751:2017,	Кількість століків, м	Кількість стійок, м	Кількість стійок, м	Сполучники напрямні	Сполучення
ДСТУ Б. В.2.3-12:2004	-	51	-	11-ДО	1505

**УМОВИ ПОЗНАЧЕННЯ**

Межа ділянки протяженні розділ	Кромка проїзної частини	Червоний	Дорожній знаки	Дорожній розмітка
3,5	—	Протичільні	Будівельний об'єкт	—
○	—	Нагрівачі стійчиків	Прилади	—

ДСТУ 2115-3:2001 "Міжнародний стандарт. Дорожні знаки, додаток: методика вимірювання кількості та довжини вимірювань" від 29.01.2001 р.

17

